



ผลของสารป้องกันออกซิเดชันต่อการ vulcanization ของยางธรรมชาติที่รั่วสี  
Effect of Antioxidants on Radiated Vulcanization  
Natural Rubber Latex

ปรีดี เพรเม จงรักษ์  
Preprame Chongrak

วิทยานิพนธ์วิทยาศาสตร์มหาบัณฑิต สาขาวิชา เคมี เชิงพิสิกส์  
มหาวิทยาลัยสงขลานครินทร์

Master of Science Thesis in Physical Chemistry  
Prince of Songkla University

2537

A

เลขที่ TP ๖๘๔.๘๖ ว.๔๖ ๒๐๓๙	๑๖๗
Bib Key.....	019/A.C.
.....	

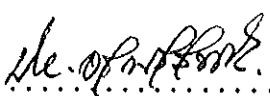
(1)

ชื่อวิทยานิพนธ์ ผลงานของสารบีองกันออกชีเดือนต่อเนี้ยงธรรมชาติทั่วโลกในช่วงรังสี  
ผู้เขียน นางสาวปรีดาเปรม จงรักษ์  
สาขาวิชา เคมีเชิงฟิสิกส์

คณะกรรมการที่ปรึกษา

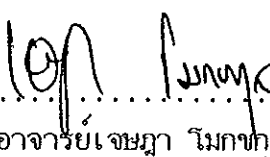
คณะกรรมการสอบ

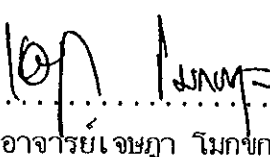
  
..... ประธานกรรมการ  
(ผู้ช่วยศาสตราจารย์ปรีญา อรุณวิสุทธิ์)

  
..... ประธานกรรมการ  
(ผู้ช่วยศาสตราจารย์ปรีญา อรุณวิสุทธิ์)

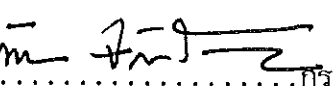
..... กรรมการ  
(รองศาสตราจารย์ ดร. ชัยวัฒน์ เจนนาณิชย์)

..... กรรมการ  
(รองศาสตราจารย์ ดร. ชัยวัฒน์ เจนนาณิชย์)

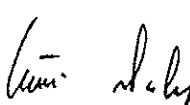
  
..... กรรมการ  
(อาจารย์เจณญา โนกขกุล)

  
..... กรรมการ  
(อาจารย์เจณญา โนกขกุล)

  
..... กรรมการ  
(รองศาสตราจารย์ ดร. วิชิต โลจนาภิวัฒน์)

  
..... กรรมการ  
(รองศาสตราจารย์ ดร. ก้าน จันทร์พรหมมา)

บังคับวิทยาลัย มหาวิทยาลัยสงขลานครินทร์ อนุมัติให้วิทยานิพนธ์ฉบับนี้เป็นส่วนหนึ่ง  
ของการศึกษา ตามหลักสูตรวิทยาศาสตร์มหาบัณฑิต สาขาวิชาเคมีเชิงฟิสิกส์

  
.....  
(ดร. ไพรีดา สวนไพร)  
คณบดีบังคับวิทยาลัย

ชื่อวิทยานิพนธ์ ผลของสารป้องกันออกซิเดชันต่อน้ำยาหั่นกระดาษที่วัลคาไนซ์ด้วยรังสี  
ผู้เขียน นางสาวปรีดีเปรม จงรักษ์  
สาขาวิชา เคมีเชิงพลิกส์  
ปีการศึกษา 2536

## บทคัดย่อ

ได้เลือกวิถีทางผลของสารป้องกันออกซิเดชันต่อน้ำยาหั่นกระดาษที่วัลคาไนซ์ด้วยรังสีน้ำยาหั่นกระดาษที่วัลคาไนซ์ด้วยรังสี (RVNRL) เตรียมจากน้ำยาหั่นกระดาษที่มีส่วนผสมของนอร์มอลบิวทิลอะไครเลต 0.5 ส่วนต่อ垟ร้อยส่วน กับ เทอฮิวี บิวทิว ไซโตรเบอร์ออกไซด์ 0.1 ส่วนต่อ垟ร้อยส่วน (ทำให้ที่เป็นเซนเซ่ไฮเซอร์) แล้วจ่ายรังสีแก่มากปริมาณ 8 กิโลเกรร์ พบร้าความหนาดองน้ำยาหั่นที่เตรียมได้ลดลง แต่ความทนแรงดึงของฟิล์มยางเพิ่มขึ้นตามอัตราการเก็บน้ำยาหั่น (RVNRL) สมบัติเชิงพลิกส์ของฟิล์มยางหลังอบดิน รวมทั้งความทนแรงดึงซึ่งเก็บเวลาการล้าง (0 - 60 นาที) วัลคานิออก เคเม่ เป็นสารป้องกันออกซิเดชันที่มีประสิทธิภาพมากที่สุด ที่ให้ความทนแรงดึงสูงสุดโดยใช้ความเข้มข้นต่ำ และใช้เวลาการล้างน้อย ตัวอย่างหนึ่งคือถุงมือยางหางการแพทย์เตรียมจากน้ำยาหั่น RVNRL ซึ่งเติม วัลคานิออก เคเม่ 0.5 ส่วนต่อ垟ร้อยส่วน หลังจากล้างด้วยน้ำ  $50^{\circ}\text{C}$  นาน 3 นาที ค่าความทนแรงดึงก่อนและหลังอบเทา กับ 21 และ 20 เมกะพาสคัล ตามลำดับ

**Thesis Title** Effect of Antioxidants on Radiated Vulcanization  
Natural Rubber Latex  
**Author** Miss Preprame Chongrak  
**Major Program** Physical Chemistry  
**Academic Year** 1993

### **Abstract**

The effect of antioxidants on the radiated vulcanization of natural rubber latex by radiation was chosen for this studies. Irradiation with gamma ray at 8 kGy of a mixture of natural rubber latex, 0.5 phr of *n*-butyl acrylate (*n*-BA), and 0.1 phr of *tert*-butyl hydroperoxide (sensitizer), yielded a radiated vulcanization natural rubber latex (RVNRL). It was found that the viscosity of this product decreased but tensile strength of its films increased with the storage time of the RVNRL. Various kinds of antioxidants were added to RVNRL, it revealed that the physical properties of the films after aging was improved, including the tensile strength which depended on the time of leaching (0 - 60 mintues). Vulcanox KB was the best effective antioxidant that gave the maximum tensile strength at low concentration and with a short time for leaching. One example is medical gloves prepared from RVNRL, in the presence of 0.5 phr of Vulcanox KB. After being leached with water at 50 °C for 3 min., the resulting products showed different tensile strength of 21 MPa and 20 MPa before and after aging condition respectively.

## กิตติกรรมประกาศ

ผู้จัดข้อบอพธ์คณชั่วบศสตราจารย์ ปริญญา อรุณวิสท์ ประธานกรรมการที่ปรึกษาวิทยานิพนธ์ ที่ได้ติดตามแก้ไขและให้แนวคิดอันเป็นประโยชน์แก่งานวิจัย ทำให้ผู้จัดฯได้รับประสมการณ์ ความรู้ จนสำเร็จตามจดประสงค์

ขอขอบคุณคณะกรรมการสอบวิทยานิพนธ์ทุกท่าน ที่ให้คำแนะนำและตรวจสอบแก้ไขหนบบร่างวิทยานิพนธ์จนเสร็จสมบูรณ์ เป็นเล่มดังปรากฏนี้

ขอขอบคุณ คุณจินดาวรรณ ชัวเจริญพันธ์ คณพิธีภาร สุวรรณมาลา สำนักงานพัฒางานประมาณเพื่อสังคม และคุณเจริญ คำล่า ศูนย์ฉะเชิงศึกษาและผลิตผลการเกษตร ที่ได้ให้เชื้อสถานที่เตรียมน้ำบางและน้ำมายางเข้าฉะเชิงซึ่งโดยสังคาก งานนวัจัยสำเร็จและบรรลุตามเป้าหมาย

ขอขอบคุณนายนิวจัยบางสังขลา และคุณเกียรติ บัวแก้ว หน่วยเครื่องมือกลางมหาวิทยาลัยสงขลานครินทร์ ที่อำนวยความสะดวกสถานที่ และได้ทำการทดสอบสมบัติทางกายภาพของแผ่นฟิล์มยางและผลิตภัณฑ์ให้

สุดท้ายผู้จัดข้อบอพธ์ ผู้ช่วยศาสตราจารย์ ดร.ธวัช ชิตตรากุล ที่ให้คำปรึกษางานวิจัย ตลอดจนคำแนะนำแก่ผู้จัดข้อบอพธ์ รวมถึงคณาจารย์ คณบุรุษ และพี่ ๆ ที่ได้ให้กำลังใจตั้งแต่เข้าศึกษาต่อ จนสำเร็จการศึกษาในหลักสูตรวิทยาศาสตร์มหาวิทยาลัย

ปรีดาเบรม วงศ์

## สารบัญ

	หน้า
บทคัดย่อ.....	(3)
Abstract.....	(4)
กิตติกรรมประกาศ.....	(5)
สารમัญ.....	(6)
รายการตาราง.....	(7)
รายการภาพประกอบ.....	(9)
ตัวย่อและสัญลักษณ์.....	(11)
บทที่	
1. บทนำ.....	1
บทนำชั้นเรื่อง.....	1
การตรวจเอกสาร.....	2
วัตถุประสงค์.....	23
2. วิธีการวิจัย.....	24
วัสดุ.....	24
อปกรณ์.....	25
วิธีดำเนินการ.....	25
3. ผล.....	33
4. บทวิจารณ์.....	67
5. บทสรุป.....	71
บรรณานุกรม.....	73
ภาคผนวก ก.....	77
ภาคผนวก ข.....	79
ภาคผนวก ค.....	84
ภาคผนวก ง.....	85
ประวัติผู้เขียน.....	91

## รายการตาราง

ตาราง	หน้า
1. แสดงผลลัพธ์งานของการทดสอบในสารประกอบชนิดต่าง ๆ สำหรับปริมาณรังสีเพียง 1 R ของรังสีเอกซ์ หรือรังสีแกมมา ที่มีพลังงานในช่วง 0.2-2.0 MeV.....	7
2. แสดงค่าของ พ <sub>r</sub> .....	8
3. แสดงผลผลิตจากการทดสอบสิ่งของพอลิเมอร์บ่างชนิด.....	13
4. แสดงผลการทดสอบสมบัติทางน้ำยาหางน้ำตามมาตรฐาน ISO 2004-1979(E) ก่อนฉาย รังสี และหลังฉายรังสี ปริมาณ 8 kGy จากบริษัทผลิตน้ำยาหางน้ำ 3 บริษัท.....	35
5. แสดงค่าความหนาแรงดึงของแผ่นฟิล์มยางในหน่วย เมกกะพาสคัล (MPa) โดยใช้ <i>n</i> -Ba 5 phr และ <i>n</i> -Ba 5 phr ร่วมกับ HPO 0.1 phr.....	36
6. แสดงความล้มเหลวระหว่างค่า pH และความหนืดกับเวลาการเก็บอย่างน้ำยาหางน้ำยะ เวลาต่าง ๆ กัน จากน้ำยาหางน้ำรังสีปริมาณ 8 kGy จากบริษัทเสริมฟันธ์ จำกัด....	38
7. แสดงผลการทดสอบสมบัติทางกายภาพของแผ่นฟิล์มยางหลังจากการเก็บอย่างน้ำยาหาง (storage time) ที่ระยะเวลาต่าง ๆ กัน จากแหล่งผลิตน้ำยาหางน้ำ 3 บริษัท.....	40
8. แสดงผลการทดสอบสมบัติทางกายภาพของแผ่นฟิล์มยาง ที่เติมสารป้องกันออกซิเดชัน ชนิด แอนติออกซิเดนต์ 2246 เข้มข้น 0, 0.5, 1.0 และ 1.5 phr ทำการล้าง ด้วยน้ำกลั่นที่เวลาต่าง ๆ กัน.....	42
9. แสดงผลการทดสอบสมบัติทางกายภาพของแผ่นฟิล์มยาง ที่เติมสารป้องกันออกซิเดชัน ชนิด เพอร์มาเน็กซ์ ดับบลิวเอสพี เข้มข้น 0, 0.5, 1.0 และ 1.5 phr ทำการ ล้างด้วยน้ำกลั่นที่เวลาต่าง ๆ กัน.....	45
10. แสดงผลการทดสอบสมบัติทางกายภาพของแผ่นฟิล์มยาง ที่เติมสารป้องกันออกซิเดชัน ชนิด วิงสเตต แอล เข้มข้น 0, 0.5, 1.0 และ 1.5 phr ทำการล้างด้วยน้ำกลั่น ที่เวลาต่าง ๆ กัน.....	48
11. แสดงผลการทดสอบสมบัติทางกายภาพของแผ่นฟิล์มยาง ที่เติมสารป้องกันออกซิเดชัน ชนิด นาโนแฟล็กซ์ ทีเอ็นพี เข้มข้น 0, 0.5, 1.0 และ 1.5 phr ทำการล้างด้วย น้ำกลั่นที่เวลาต่าง ๆ กัน.....	51
12. แสดงผลการทดสอบสมบัติทางกายภาพของแผ่นฟิล์มยาง ที่เติมสารป้องกันออกซิเดชัน ชนิด นาโนออก ดับบลิวเอสแอล เข้มข้น 0, 0.5, 1.0 และ 1.5 phr ทำการล้าง ด้วยน้ำกลั่นที่เวลาต่าง ๆ กัน.....	54
13. แสดงผลการทดสอบสมบัติทางกายภาพของแผ่นฟิล์มยาง ที่เติมสารป้องกันออกซิเดชัน ชนิด วัลคานิออก เคบี เข้มข้น 0, 0.5, 1.0 และ 1.5 phr ทำการล้างด้วยน้ำกลั่น ที่เวลาต่าง ๆ กัน.....	57
14. แสดงผลการทดสอบสมบัติทางกายภาพของแผ่นฟิล์มยาง ที่เติมสารป้องกันออกซิเดชัน	

## รายการตาราง (ต่อ)

ตาราง	หน้า
ชนิด วัลคานีออก เอ็มบีส่องทับเบิมจี เข้มข้น 0, 0.5, 1.0 และ 1.5 phr ทำการล้างด้วยน้ำกลันที่เวลาต่าง ๆ กัน.....	60
15. ทดสอบสมบัติทางกายภาพของแผ่นฟิล์มยางที่เติมสารป้องกันออกซิเดชัน ความเข้มข้น 0.5 phr ลงในน้ำยาหงัววัลคานาช์ด้วยรังสี ที่มีอายุการเก็บ 45 วัน ทำการล้างแผ่นฟิล์มยาง ด้วยน้ำกลันที่อุณหภูมิห้องเป็นเวลา 1 ชั่วโมง.....	63
16. ทดสอบสมบัติทางกายภาพของแผ่นฟิล์มยางที่เติมสารป้องกันออกซิเดชันที่เหมาะสมที่สุด ทำการล้างด้วยน้ำกลันที่อุณหภูมิห้อง เป็นเวลา 1 ชั่วโมง.....	64
17. ทดสอบสมบัติทางกายภาพของถุงมือยางทางการแพทย์ที่เติมสารป้องกันออกซิเดชันที่เหมาะสมที่สุด เข้มข้น 0.5 phr ทำการล้างด้วยน้ำอุ่น 50 °C เป็นเวลา 3 นาที.....	65
18. ทดสอบสมบัติทางกายภาพของแผ่นฟิล์มยางที่เติมสารป้องกันออกซิเดชันชนิดวัลคานีอิก เคบี เข้มข้น 0.5 phr ทำการล้างด้วยน้ำอุ่น 50 °C เป็นเวลา ต่าง ๆ กัน.....	66
19. ทดสอบชนิดของสารป้องกันออกซิเดชันที่ใช้ในการวิจัย.....	81
20. ทดสอบค่าความหนาแรงดึงของแผ่นฟิล์มยางเมื่อใช้ <i>n</i> -Ba 5 phr ร่วมกับ HPO ในระดับความเข้มข้นต่าง ๆ กัน ทำการฉายรังสีในปริมาณ 4, 8 และ 12 kGy.....	84
21. ทดสอบสมบัติทางกายภาพของถุงมือยางทางการแพทย์ชนิดถุงมือตรวจโรค (examination glove) เกณฑ์ที่ต้องการทางกายภาพ.....	84

## รายการภาพประกอบ

ภาพประกอบ	หน้า
1. แสดงความสัมพันธ์ระหว่างพลังงานของสำอิเล็กตรอนกับการใช้ประโยชน์.....	4
2. แสดงสเปกตรัมพลังงานของนิวตรอนจากต้นกำเนิดชนิด Be [ $\alpha, n$ ].....	5
3. แสดงความสัมพันธ์ระหว่างความหนาแรงดึง (MPa) ของแผ่นพิล์มยางที่เตรียมจากน้ำยาบูรังสีด้วยปริมาณต่าง ๆ กัน.....	37
4. ความสัมพันธ์ระหว่างการเก็บอาบุน้ำยาบูรังสีกับค่า pH และความหนืด จากบริษัท เสริมพันธ์ จำกัด.....	39
5. แสดงสมบัติความหนาแรงดึงของแผ่นพิล์มยาง จากการฉายรังสีที่ระยะเวลาต่าง ๆ กัน.41	
6. แสดงความสัมพันธ์ระหว่างเวลาที่ใช้ล้างแผ่นพิล์มยาง กับความหนาแรงดึง เตรียมจากน้ำยาบูรังสีด้วยรังสี ด้วยการเติมสารป้องกันออกซิเดชัน ชนิดแมกโนออกไซด์ 2246 ความเข้มข้นต่าง ๆ กัน.....	44
7. แสดงความสัมพันธ์ระหว่างเวลาที่ใช้ล้างแผ่นพิล์มยาง กับความหนาแรงดึง เตรียมจากน้ำยาบูรังสีด้วยรังสี ด้วยการเติมสารป้องกันออกซิเดชัน ชนิดเพอร์มาเน็กซ์ ดับบลิวเอสที ความเข้มข้นต่าง ๆ กัน.....	47
8. แสดงความสัมพันธ์ระหว่างเวลาที่ใช้ล้างแผ่นพิล์มยาง กับความหนาแรงดึง เตรียมจากน้ำยาบูรังสีด้วยรังสี ด้วยการเติมสารป้องกันออกซิเดชัน ชนิดวิงสเต แอล ความเข้มข้นต่าง ๆ กัน.....	50
9. แสดงความสัมพันธ์ระหว่างเวลาที่ใช้ล้างแผ่นพิล์มยาง กับความหนาแรงดึง เตรียมจากน้ำยาบูรังสีด้วยรังสี ด้วยการเติมสารป้องกันออกซิเดชัน ชนิดนอนแพล็กซ์ ทีเอ็นพี ความเข้มข้นต่าง ๆ กัน.....	53
10. แสดงความสัมพันธ์ระหว่างเวลาที่ใช้ล้างแผ่นพิล์มยาง กับความหนาแรงดึง เตรียมจากน้ำยาบูรังสีด้วยรังสี ด้วยการเติมสารป้องกันออกซิเดชัน ชนิดนอนออก ดับบลิวเอสแอล ความเข้มข้นต่าง ๆ กัน.....	56
11. แสดงความสัมพันธ์ระหว่างเวลาที่ใช้ล้างแผ่นพิล์มยาง กับความหนาแรงดึง เตรียมจากน้ำยาบูรังสีด้วยรังสี ด้วยการเติมสารป้องกันออกซิเดชัน ชนิดวัลคานีออก เคบี ความเข้มข้นต่าง ๆ กัน.....	59
12. แสดงความสัมพันธ์ระหว่างเวลาที่ใช้ล้างแผ่นพิล์มยาง กับความหนาแรงดึง เตรียมจากน้ำยาบูรังสีด้วยรังสี ด้วยการเติมสารป้องกันออกซิเดชัน ชนิดวัลคานีออก เอ็มบีส่องฟ้าเอ็มจี ความเข้มข้นต่าง ๆ กัน.....	62
13. แสดงเครื่องเร่งลำอิเล็กตรอนแบบม่านลำไส้.....	77
14. แสดงเครื่องเร่งลำอิเล็กตรอนแบบภาด.....	78
15. แสดงเครื่องฉายรังสี Carrier Type JS-8900 บริษัท Nordian In.t.....	85
16. แสดงเครื่องฉายรังสี Gamma Beam-650 บริษัท AECL.....	86

## รายการภาพประกอบ (ต่อ)

ภาพประกอบ	หน้า
17. แสดงเครื่องทดสอบความแห้งรังดิ้ง ยี่ห้อ Lloyd รุ่น 1000 S ประเทศ อังกฤษ.....	87
18. แสดงเครื่องตัดแผ่นพีล์เมย়.....	88
19. แสดงตู้อบไฟฟ้าชนิด Geer Oven ยี่ห้อ Tabai.....	88
20. แสดงแบบพิน์เพ็มอสำหรับถุงมือยางทางการแพทย์.....	89
21. แสดงเครื่องวัดความหนืด รุ่น DV-II.....	89
22. แสดงเครื่องวัดความเสถียรของน้ำยา.....	90
23. แสดงเครื่องวัดการคงตัวของยางหลังจากถูกยืด.....	90

## ຕັວຢ່ອ ແລະ ສັງລັກນົມ

ASTM	American Society for Testing and Materials
Bq	Becquerel, ໜ່າຍຄວາມແຮງຮັງສື
CCl <sub>4</sub>	Carbon Tetrachloride
Ci	Curie, ໜ່າຍຄວາມແຮງຮັງສື
Gy	Gray, ໜ່າຍເກີນາຮັງສື
HPO	<i>tert</i> -butyl hydroperoxide
<i>n</i> -BA	<i>n</i> -butyl acrylate
Pa	Pascal, ໜ່າຍຄວາມພິບປົງ
	Pa = Newton/m <sup>2</sup>
	1 MPa = 10.197 kg/cm <sup>2</sup>
phr	parts per hundred of rubber

## บทที่ 1

### บทนำ

#### บทนำต้นเรื่อง

ผลผลิตยางของประเทศไทยเพิ่มขึ้นจาก 1.20 ล้านตันในปี พ.ศ. 2533 เป็น 1.34 ล้านตันในปี พ.ศ. 2534 ผลค่าเพิ่มขึ้นประมาณ 3,000 ล้านบาท เป็น 26,000 ล้านบาท ทำให้ประเทศไทยเป็นผลิตอันดับหนึ่งของโลกเป็นปีแรก โดยผลิตยางแผ่นรุ่นคุณภาพที่สุดประมาณ 75.7% รองลงมาคือ ยางแท่งท่ออาร์ น้ำยางหิน ยางเครป ยางแผ่นฟังแฟงและอัน ๆ ตามลำดับ จากการพัฒนาทางด้านอุตสาหกรรมยางทำให้โรงงานอุตสาหกรรมยางขนาดต่าง ๆ เพิ่มขึ้นจาก 132 โรงงานในปี พ.ศ. 2530 เป็น 167 โรงงาน ในปี พ.ศ. 2531 หรือประมาณ 27% ในระยะ 4 ปี ที่ผ่านมาคือ ตั้งแต่ปี พ.ศ. 2532 ปริมาณน้ำยางหินเพลิตได้ 14,334 เมตรตริกตัน เป็น 21,743 เมตรตริกตันในปี พ.ศ. 2534 ทำให้ผลิตภัณฑ์ที่ทำจากน้ำยางหินโดยเฉพาะถุงมือยางเพิ่มขึ้นจาก 11,825 เมตรตริกตัน ในปี พ.ศ. 2532 เป็น 15,342 เมตรตริกตัน ในปี พ.ศ. 2534 หรือเพิ่มประมาณ 29.74% (สถิติยางประเทศไทย, 1993 : 17-45) หรืออาจกล่าวได้ว่าผลิตภัณฑ์แบบจุ่ม (dipping) ประมาณ 70% ของน้ำยางหินใช้ผลิตถุงมือผ่าตัด (surgical glove) ถุงมือหัวและถุงมือชนิดอ่อน ที่เหลือใช้ผลิตถุงยางอนามัย ผลิตภัณฑ์ที่ใช้ทางการแพทย์สายยาง (catheter) และผลิตภัณฑ์ปลอดเชื้อต่าง ๆ รวมทั้งผลิตภัณฑ์ที่ต้องสัมผัสทางปาก เช่น ลูกปุ่ง จุกนมเด็ก เป็นต้น และคาดว่าผลิตภัณฑ์ที่ทำจากน้ำยางหินมีแนวโน้มในการผลิตสูงขึ้น

ผลิตภัณฑ์ยางที่ได้จากน้ำยางธรรมชาติในอุตสาหกรรมทั่วไป ได้จากการวัลคาไนซ์ ด้วยกำมะถัน ซึ่งมีการเติมสารเร่งปฏิกิริยา (accelerator) ซิงค์ออกไซด์ (ZnO) เพื่อทำให้เกิดการวัลคาไนซ์ได้เร็วขึ้น สารที่ตกค้างอยู่ในผลิตภัณฑ์ยาง ซึ่งอาจเป็นสารก่อมะเร็ง จำพวกสารประกอบในไตรชามีนี (nitrosamine) และก่อให้เกิดการระคายเคืองต่อผิวหนัง บางรายอาจเกิดอาการแพ้ได้ (Nakamura, A et al., 1989 : 1) ไม่มีทำการวิจัยและพัฒนาผลิตภัณฑ์จากน้ำยางวัลคาไนซ์ด้วยรังสี (Chapiro, A., 1987 : 65) เพื่อทำให้ไม่เกิดยางเกิดการครอบคลุม (crosslink) แผนการใช้กำมะถันโดยมีเซนเซอร์ (sensitizer) ชนิดต่าง ๆ เป็นตัวลดปริมาณรังสีให้ต่ำลงผลิตภัณฑ์ยางจากน้ำยางทั่วโลกไนซ์ ด้วยรังสีจะมีสมบัติทางประการที่ดีกว่าผลิตภัณฑ์ยางที่ได้จากน้ำยางทั่วโลกไนซ์ด้วยกำมะถัน เช่น ปลดออกฤทธิ์สารก่อมะเร็งไม่ระคายเคืองต่อผิวหนัง ไปร่วงใส่กว่า และมีโมดูลัส (modulus) ต่ำกว่า เป็นต้น อย่างไรก็ตามการใช้รังสีจะมีผลต่อสมบัติทางประการของผลิตภัณฑ์ยาง เช่น สมบัติความหนาแนรดึงหักบ่อมีแรงคล่อง

## การตรวจสอบสารเคมี

### 1. ทฤษฎีเกี่ยวกับเคมีรังสี

#### 1.1 แหล่งกำเนิดรังสีและชนิดของรังสี

รังสี (Radiation) หมายถึงอนุภาคหรือคลื่นแม่เหล็กไฟฟ้าที่ปล่อยออกจากไอโซโทปกัมมันตรังสี หรือมาจากการหล่อทำให้เกิดรังสี ฯ รังสีที่ใช้ประโยชน์ในการอุตสาหกรรมจะเป็นรังสีหลังงานสัง หรือรังสีที่ทำให้เกิดการแตกตัวเป็นไอออนได้ ซึ่งอาจเป็นอนุภาคที่เคลื่อนที่เร็วโดยมีพลังงานเพียงพอที่ทำให้ออนิคอนแทคตัวเป็นไอออนได้ โดยทั่วไปแล้วรังสีหลังงานสูงที่ใช้ในทางอุตสาหกรรมได้แก่ รังสีเอกซ์ รังสีแกนนา อิเล็กตรอนที่ถูกเร่ง และนิวตรอน

1.1.1 รังสีเอกซ์ รังสีเอกซ์เป็นคลื่นแม่เหล็กไฟฟ้าที่มีความยาวคลื่นสั้นกว่าแสงที่มองเห็นได้ รังสีเอกซ์อาจเกิดจาก

1.1.1.1 ไอโซโทปกัมมันตรังสี เป็นไอโซโทปกัมมันตรังสีของธาตุใดธาตุหนึ่งและมีการสลายตัวอย่างต่อเนื่องตลอดเวลา ในการสลายตัวอาจมีหลายขั้นตอน และมีบางขั้นตอนที่คายพลังงานออกมากในรูปของไฟต่อนที่มีพลังงานในช่วงรังสีเอกซ์ ซึ่งสามารถนำไปใช้กราฟต์การตัวอย่างได้ ตัวอย่างเช่น  $^{55}\text{Fe}$  ซึ่งเป็นสารกัมมันตรังสีจะสลายตัวเป็น Mn โดยผ่านการสลายตัวที่เรียกว่า การจับอิเล็กตรอน (electron capture, EC) และมีการคายพลังงานออกมากในรูปของรังสีเอกซ์ที่มีพลังงาน 5.9 keV

<sup>1</sup> ครอสลิงค์ คือการเชื่อมโยงโมเลกุลของสารที่มีกลไก metabolism หรือ อิลาสโตเมอร์ (elastomer) จะอยู่ในรูปของการวัลคาไนซ์ ในความหมายของน้ำยางวัลคาไนซ์ด้วยรังสี หมายถึงการเชื่อมโยงโมเลกุลของยางธรรมชาติ (cis 1, 4-polyisoprene) ที่กระเจาอยู่ในตัวกลางที่เป็นน้ำ

<sup>2</sup> เช่นวิไชเออร์ สำหรับความหมายของน้ำยางธรรมชาติที่วัลคาไนซ์ด้วยรังสี หมายถึง สารเคมีที่สามารถลดปริมาณรังสีที่ใช้ในการวัลคาไนซ์

<sup>3</sup> โนดูลัส หมายถึงแรงที่ดึงยางออกໄน์สูงสุดที่กำหนด เช่น โนดูลัส 300% หมายถึงแรงที่ดึงยางออกໄน์ 300 เท่าของความยาวเดิม

ส่วนกรณีที่นิวเคลียร์คลายพลังงานออกมานี่ย่านรังสีแกมมา รังสีแกมมาก็อาจไม่ผ่านออกมานะยกเว้นก็ต้องได้ โดยจะเกิดปรากฏการณ์ใหม่อีกถ้าอย่างหนึ่งคือ รังสีแกมมาก็ถูกปล่อยออกมานานาที่นิวเคลียร์สันนี้ไปชนหรือกระแทกอีกครั้งหนึ่ง แต่ถ้าหากไม่ได้ ก็จะไม่สามารถทำให้อีกครั้ง แต่ถ้าหากนี่ก็จะมีพลังงานสูงทันที จนสามารถหลุดออกเป็นอิสระออกจากอะตอมพร้อมกับมีพลังงานจลน์ติดไปด้วยจำนวนหนึ่ง ปรากฏการณ์นี้เรียกว่า การสลายตัวแบบการเปลี่ยนแปลงภายใน (Internal conversion, IC)

1.1.1.2 หลอดกำเนิดรังสีเอ็คซ์ รังสีเอ็คซ์ที่เกิดจากหลอดกำเนิดนี้ ได้จากการเร่งอีเล็กตรอน (จากขั้วคาโนด) ที่มีความเร็วสูงมากวิ่งเข้าชนเป้า (หรือขั้วอาโนด) ทำให้เกิดปรากฏการณ์ 2 ชนิดคือ

ก. อีเล็กตรอนสูญเสียความเร็วขณะที่ชนเป้า เนื่องจากมีปฏิกริยาในเชิงพลักกันระหว่างอีเล็กตรอนที่กำลังเคลื่อนที่กับอีเล็กตรอนที่อยู่ในอะตอมของธาตุที่ใช้ทำเป้า จึงมีการปลดปล่อยพลังงานบางส่วนออกไประบในช่วงรังสีเอ็คซ์ที่มีพลังงานต่ำเนื่อง

ข. เมื่ออีเล็กตรอนชนขั้วอาโนดจะไปชนอีเล็กตรอนในอะตอมของธาตุที่ใช้ทำขั้วอาโนดด้วย ถ้าอีเล็กตรอนที่ชนเมื่อพลังงานมากพอและหลุดออกไปจากอะตอมทำให้เกิดที่วางซึ่งอีเล็กตรอนในออร์บิทัลต่ำ ๆ (ของอะตอมเดียวกัน) จะลงมาแทนที่โดยมีการคายพลังงานออกมาร่วมกับเบนรังสีเอ็คซ์ ที่มีพลังงานเฉพาะตัวค่าใดค่าหนึ่ง ที่นับกันชนิดของธาตุที่นำมาใช้ทำเป้า

1.1.2 รังสีแกมมาเป็นคลื่นแม่เหล็กไฟฟ้าที่มีความยาวคลื่นสั้นมาก ปกติจะมีในธรรมชาติเหมือนรังสีเอ็คซ์ ใช้กันอย่างกว้างขวางในด้านพอลิเมอร์ กิจการฉายรังสีอาหาร และกระบวนการผลิตเครื่องมือแพทย์ปลอดเชื้อ เป็นต้น รังสีแกมมาก็จากการแพร่รังสีออกจาคนิวเคลียร์ของไอโซโทปรังสีที่มีในธรรมชาติ หรือไอโซโทปที่สังเคราะห์ขึ้นได้โดยมีอำนาจทำให้เกิดการแตกตัวอย่างมาก แต่มีอำนาจทำลายลวงสูง

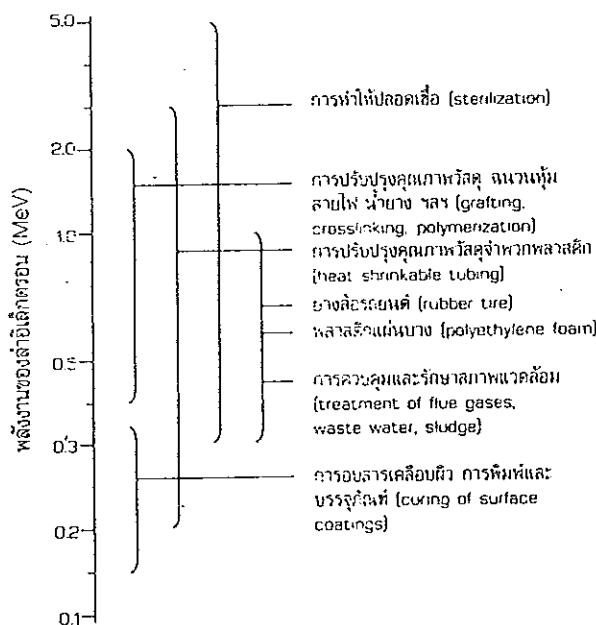
การสลายตัวโดยการคายรังสีแกมมา นิวเคลียร์บางชนิดอาจมีจำนวนนิปรตุและนิวตรอนเพื่อเหมาะสมแล้ว แต่นิวเคลียร์สอยู่ในสภาวะกระตัน ซึ่งต้องปรับตัวลงมาสู่สภาวะหนึ่งโดยการคายพลังงานส่วนที่เกินออกมานานาที่นิวเคลียร์ พลังงานที่คายออกมานี้จะมีค่าสูงมากอยู่ในย่านรังสีแกมมา การสลายตัวโดยวิธีนี้จะไม่มีการเปลี่ยนแปลงจำนวนนิปรตุ นิวตรอน หรืออีเล็กตรอนแต่อย่างใด

การคายรังสีแกมนานี้อาจเป็นเชิงเดี่ยวหรือหลายช่วงก็ได้ ถ้าเป็นแบบหลายช่วงแสดงว่าจะต้องผ่านสภาวะกระตันอ่อน ๆ อีกหลายสภาวะ ถ้าสภาวะกระตันเหล่านี้มีช่วงชีวิตยาวนานที่จะวัดได้การคายรังสีแกมมาระหว่างช่วงบ่อยเหล่านี้เรียกว่า ไอโซเมอริก ทรานซิชัน (isomeric transition)

ปกติไอโซโทปรังสีจะสลายตัวให้รังสีแกมมาก็มีพลังงานเฉพาะตัวที่แน่นอน ซึ่งขึ้นกับชนิดของไอโซโทปนั้น ๆ เช่น  $^{60}\text{Co}$  มีครึ่งชีวิต 5.3 ปี จะให้พลังงานออกมานิปรตุ 2 ค่าคือ 1.17 และ 1.13 MeV เป็นต้น

1.1.3 อีเล็กตรอนที่ถูกเร่ง อีเล็กตรอนมีพลังงานสูงจากเครื่องเร่งลำ

อิเล็กตรอน ให้มีพลังงานสูงตั้งแต่ 0.5-10 MeV หรือมากกว่า นิยมใช้กันอย่างกว้าง  
ขวางทั่วในอุตสาหกรรมและการแพทย์ ดังแสดงในภาพประกอบ 1



ภาพประกอบ 1 ความสัมพันธ์ระหว่างพลังงานของลำอิเล็กตรอนกับการใช้ประโยชน์

ที่มา : จินดารัมย์ ชาเจริญทัศ, 2535 : 3

เครื่องเร่งลำอิเล็กตรอนมีหลายแบบ แต่แบบที่นิยมใช้ทางอุตสาหกรรมมีเพียง 2  
แบบ คือ แบบกระแสตรง (DC-accelerator) และแบบแนวตรง (linear electron  
accelerator, LINAC) (ภาคผนวก ก)

1.1.3.1 แบบกระแสตรงให้พลังงานต่ำระหว่าง 0.1 – 0.5 MeV  
เหมาะสมสำหรับใช้งานที่ผิวสัมผัส เนื่องจากมีอำนาจทะลุวงต่ำมากเพียงไม่เกิน 3 mm.  
เช่น ตัวอย่าง เช่น การอบสารเคลือบผิวสัมผัสและการพิมพ์ เป็นต้น กรณีที่ให้พลังงาน  
ปานกลางระหว่าง 0.5-5 MeV ตัวเครื่องจะมีขนาดใหญ่ขึ้น เหมาะสำหรับปรับปรุงคุณภาพ  
วัสดุ เช่นการครอบคลุมคงพลาสติก จำนวนหนึ่มสายไฟฟ้า การรักษาไนโตรเจน液า เป็นต้น

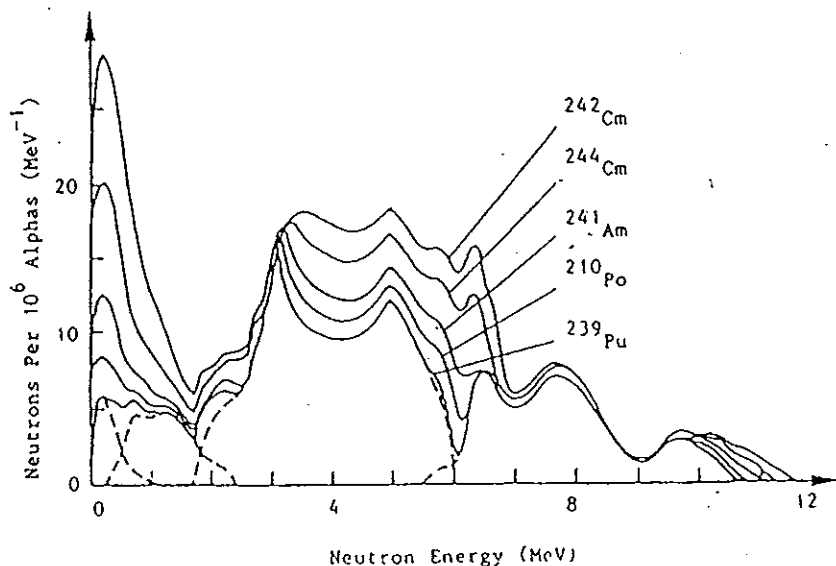
1.1.3.2 แบบแนวตรง ให้อิเล็กตรอนหลังงานสูงในระดับ 5 – 10  
MeV สามารถใช้ได้กับงานพอลิเมอร์ที่ต้องใช้อำนวยทะลุวงสูง และงานวิจัย  
ทางนิวเคลียร์ฟิสิกส์ เช่นการศึกษาการเปลี่ยนแปลงสีของอัญมณี เป็นต้น แต่ไม่นิยมใช้ในทาง  
อุตสาหกรรม เพราะค่าใช้จ่ายสูง

1.1.4 นิวตรอน อนุภาคนิวตรอนเป็นส่วนประกอบที่อยู่ในนิวเคลียสของอะตอมของธาตุต่าง ๆ จากปฏิกิริยานิวเคลียร์ที่เกิดจากอนุภาคนิวตรอนสามารถนำมาใช้ประโยชน์ได้หลายทาง เช่น การผลิตไอโซโทปรังสีเพื่อใช้ในโรงพยาบาล หรือโรงงานอุตสาหกรรม ที่นักวิเคราะห์นิวตรอนแบ่งเป็น 3 ชนิดคือ

1.1.4.1 ไอโซโทปที่เกิดจากการแตกตัวของนิวเคลียสตามธรรมชาติพร้อมกับนิวตรอนออกมา เช่น  $^{252}\text{Cf}$  ในนิวตรอนออกมาร้อยละ 3.76 ตัวต่อการแตกตัวของนิวเคลียส 1 ครั้ง มีอัตราการส่งออกนิวตรอนเป็นจำนวน  $2.34 \times 10^{12}$  นิวตรอน/วินาที/กรัม พลังงานเฉลี่ยของนิวตรอนที่ออกมานี้เป็น 2.14 MeV

1.1.4.2 ไอโซโทปที่ถูกแยกตัวให้รังสีแกมมา มีเพียงชนิดเดียวคือ  $^{124}\text{Sb}$  ซึ่งจะถูกแยกตัวให้รังสีแกมมาที่มีพลังงาน 1.691 MeV และ 2.091 MeV รังสีแกมมาก็ถูกกำหนดไว้ในปฏิกิริยานิวเคลียร์  $[\alpha, n]$  กับนิวเคลียสของธาตุเบอร์เลียม (Be) จะให้นิวตรอนออกมาร่วมกับพลังงาน 24 MeV

1.1.4.3 ไอโซโทปที่ถูกแยกตัวให้อ่อนนุ力และพ่าย ให้นิวตรอนออกมามีอัตราการส่งออกมาน้ำหนักตัว  $[\alpha, n]$  โดยมากใช้นิวเคลียสของธาตุเบอร์เลียม เป็นเบ้าเนื่องจากให้ปริมาณนิวตรอนออกมาน้ำหนักตัว  $n$  ที่สูงถึง 80 นิวตรอนต่อจำนวนทั่วไป 1 ล้านตัว ดังแสดงในภาพประกอบ 2



ภาพประกอบ 2 สเปกตรัมของการปล่อยรังสีของนิวตรอนจากต้นกำเนิดชนิด Be  $[\alpha, n]$

ที่มา : วันชัย ธรรมวนิช, ชาญชัย อัศวินเจกุลชัย และ สมพร จ่องคำ.

2535 : 3

## 1.2 หน่วยทางรังสี

โดส (dose) หมายถึงปริมาณพลังงานที่รังสีคายให้กับสสารใด ๆ หรือคือปริมาณพลังงานที่รังสีให้กับสสาร เนื่องจากรังสีคือพลังงานเมื่อผ่านหรือถูกวัตถุใด ๆ อาจหายหรือฝ่ากพลังงานให้กับวัตถุนั้น

หน่วยของรังสีแบ่งออกเป็นชนิดต่าง ๆ ได้ดังต่อไปนี้

### 1.2.1 กัมมันตภาพรังสี (radioactivity)

ครี (Curie, Ci) เป็นหน่วยที่ใช้อธิบายความเข้มของกัมมันตภาพรังสีของสารกัมมันตรังสี โดยที่ 1 ครี คือปริมาณสารรังสีที่มีการสลายตัว  $3 \times 10^{10}$  ครั้งต่อวินาที (disintegrations per second, dps) ซึ่งเท่ากับอัตราการสลายตัวของชาตุเรเดียม 1 กรัม ปัจจุบันตามหน่วยสากล (SI-unit) มีหน่วยเป็นเบคเคลเรล (Bq) โดยที่ 1 Bq มีค่าเท่ากับ 1 dps

$$\text{ดังนั้น} \quad 1 \text{ Ci} = 3.7 \times 10^{10} \text{ Bq}$$

### 1.2.2 ปริมาณรังสีเผยแพร่ (Exposure dose)

เป็นหน่วยที่ใช้กับรังสีเอกซ์เป็นหลัก มีหน่วยเป็นเรนต์เกน (Roentgen, R) โดยที่ 1 R คือ ปริมาณของรังสีเอกซ์หรือรังสีแกมมาที่ผ่านไปยังอากาศ แห้ง  $1 \text{ cm}^3$  ที่ STP แตกตัวให้ประจุไฟฟ้ามีค่า  $1 \text{ esu}$  ( $1 \text{ esu}$  อิเล็กตรอน ประจุเท่ากับ  $4.8 \times 10^{-10} \text{ esu}$ ) หรือ 1 R จะให้ประจุเท่ากับ  $2.083 \times 10^9$  คูลโอน ต่อ  $\text{cm}^3$  ดังแสดงในตาราง 1

### 1.2.3 ปริมาณรังสีดักลิน (absorption dose)

เป็นหน่วยที่แสดงถึงการดักลินพลังงานของรังสี มีหน่วยเป็น烈ด (Rad) โดยที่

$$1 \text{ Rad} = 100 \text{ ergs/g}$$

ในหน่วยเอสไอ ใช้หน่วย เกรย์ (Grays, Gy) โดยที่

$$\begin{aligned} 1 \text{ Gy} &= 100 \text{ Rad} \\ &= 1 \text{ J/kg} \end{aligned}$$

ตาราง 1 พลังงานของการดูดกลืนในสารประกอบชนิดต่าง ๆ สำหรับปริมาณรังสีเผยแพร่ 1 R ของรังสีเอกซ์ หรือรังสีแกมมาที่มีพลังงานในช่วง 0.2-2.0 MeV

สารประกอบ	การดูดกลืนพลังงาน (erg/g)
อากาศ	98
น้ำ	97
D <sub>2</sub> O	88
มีโซน, CH <sub>4</sub>	110
อีโซน, C <sub>2</sub> H <sub>6</sub>	106
เบนซิน, C <sub>6</sub> H <sub>6</sub>	95
สไตรีน, C <sub>6</sub> H <sub>5</sub> CH=CH <sub>2</sub>	95
เมทานอล, CH <sub>3</sub> OH	98
คาร์บอนเตตตรัคโลไฮด์, CCl <sub>4</sub>	86

ที่มา : Chapiro, A., 1969 : 702

#### 1.2.4 ปริมาณรังสีสมมูล (Dose equivalent)

ปริมาณรังสีสมมูล เป็นหน่วยของปริมาณรังสีของรังสีใด ๆ ซึ่งให้ผลทางชีวภาพเหมือนกันที่ได้รับจากการดูดกลืนปริมาณรังสีเอกซ์ 1 แรด หน่วยของปริมาณรังสีสมมูลคือ เรม (rem)

โดยที่เรมมีความสัมพันธ์กับแรดดังสมการ

$$D(\text{rem}) = D(\text{rad}) \cdot W_R$$

เมื่อ W<sub>R</sub> คือ แฟคเตอร์ที่มีค่าเฉพาะของรังสี ดังแสดงในตาราง 2 ในหน่วยเอสไอ ใช้หน่วยซีเวิร์ต (Sievert, Sv) โดยที่

$$\begin{aligned} 1 \text{ Sv} &= 100 \text{ rem} \\ D(\text{Sv}) &= D(\text{Gy}) \cdot W_R \end{aligned}$$

ตาราง 2 ค่าของ  $W_R$ 

ชนิดของรังสี	$W_R$
โพแทตอนทกชนิด	1
อิเล็กตรอนและวิวอ่อนทกหลังงาน	1
นิวตรอนหลังงานต่ำกว่า 10 keV	5
10 keV ถึง 100 keV	10
> 100 keV ถึง 2 MeV	20
> 2 MeV ถึง 20 MeV	10
> 20 MeV	5
โพแทตอนหลังงานสูงกว่า 2 MeV	5

ที่มา : International Comission on Radiological Protection (ICRP),  
1990.)

### 1.3 อันตราริบາของรังสีกับสาร

เมื่อรังสีผ่านเข้าไปในสารจะถ่ายเทหลังงานให้กับอะตอม หรือโนเลกูลในตัว กลางนั้น และเป็นผลให้อะตอมหรือโนเลกูลของตัวกลางดังกล่าวเกิดการแตกตัวเป็นไอออน หรืออุตุกระทันให้มีหลังงานสูงนั้น เมื่ออะตอมหรือโนเลกูลที่อยู่ในสภาพแวดล้อมกล่าวเกิดขึ้นอะตอม หรือโนเลกูลเหล่านั้นอาจรวมตัวกันเอง หรือไม่ทำปฏิกิริยากับอะตอมหรือโนเลกูลข้างเคียง ทำให้เกิดการเปลี่ยนแปลงภายในอะตอมหรือโนเลกูลนั้น ปฏิกิริยาต่าง ๆ ที่เกิดขึ้นอาจสรุปได้ ดังนี้

#### 1.3.1 การแตกตัวเป็นไอออน

การแตกตัวเป็นไอออนจะเกิดขึ้นเมื่ออิเล็กตรอนหรือรังสีที่มีหลังงานสูง ผ่านโนเลกูลและถ่ายทอดหลังงานให้แก่อิเล็กตรอนที่อยู่ในออบิทัล ทำให้อิเล็กตรอนหลุด ออกจากออบิทัล และเกิดเป็นไอออนดังแสดงในสมการ (1)



#### 1.3.2 การกระศูนย์

การกระศูนย์จะเกิดขึ้นเมื่ออิเล็กตรอนหรือรังสีที่ผ่านโนเลกูลมีหลังงานสูง ไม่พอที่จะทำให้เกิดการแตกตัวเป็นไอออนได้ จะทำให้อิเล็กตรอนที่อยู่ในออบิทัลรับหลังงาน และเคลื่อนตัวจากสภาวะหนึ่ง สู่สภาวะที่มีหลังงานสูงกว่าเกิดเป็นโนเลกูลที่อยู่ในสภาวะ

กราดตุน คั่งแสดงในสมการ (2)



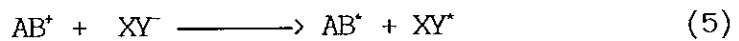
1.3.3 การรวมตัวของไอออนกับอิเล็กตรอน  
ไอออนมากที่เกิดจากสมการ (1) เกิดรวมตัวกับอิเล็กตรอนกลับคืนแล้ว  
เกิดเป็นเนมเลกุลที่อยู่ในสภาวะกราดตุนดังแสดงในสมการ (3)



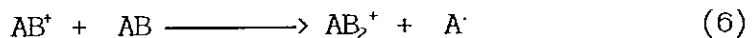
1.3.4 การรวมตัวของโนเมเลกอกับอิเล็กตรอน  
อิเล็กตรอนไฟฟ์ซึ่งเสียพลังงานอาจรวมตัวกับโนเมเลกุล แล้วเกิดเป็นไอออนลบดังแสดงในสมการ (4)



1.3.5 อันตรกิริยาระหว่างไอออนมากกับไอออนลบ  
ไอออนมากและไอออนลบที่เกิดขึ้น อาจรวมตัวกันเป็นเนมเลกุลที่อยู่ใน  
สภาวะกราดตุนหลายชนิด ดังแสดงในสมการ (5)



1.3.6 ปฏิกิริยาระหว่างไอออนกับโนเมเลกอก  
ไอออนมากที่เกิดขึ้นอาจเกิดปฏิกิริยากับโนเมเลกุล แล้วเกิดไอออนมาก  
ชนิดใหม่และอนุมูลอิสระ (free radical) ดังแสดงในสมการ (6)

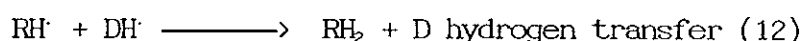
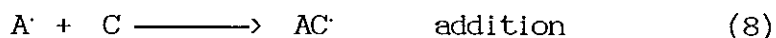


1.3.7 การแตกตัวของโนเมเลกอก  
เมื่อโนเมเลกุลที่อยู่ในสภาวะกราดตุนกลับสู่สภาวะที่นิ่ง อาจมีการแตกตัวเป็น  
อนุมูลอิสระได้ดังแสดงในสมการ (7)



### 1.3.8 ปฏิกิริยาของอนมลอสระ

อนมลอสระที่เกิดขึ้นจากสมการ (6) และ (7) อาจทำให้เกิดปฏิกิริยาต่าง ๆ ได้ดังสูตรต่อไปนี้คือ

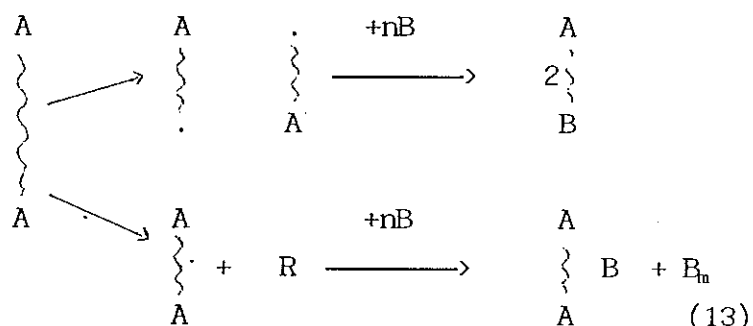


## 1.4 ผลของรังสีในพอลิเมอร์

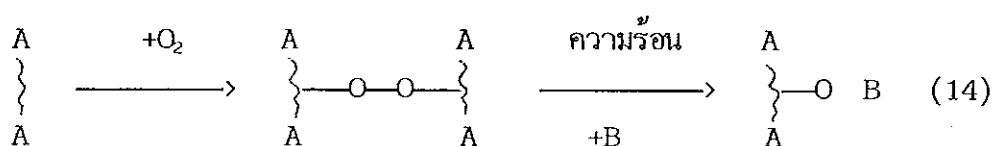
### 1.4.1 กร้าฟ์ (graft)

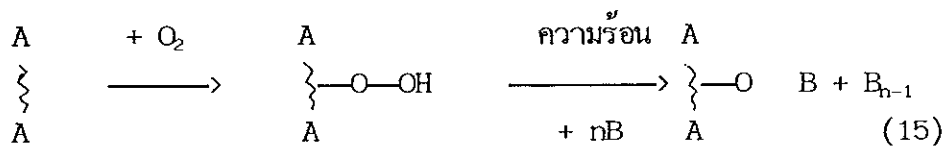
การฉายรังสีในยังพอลิเมอร์จะเกิดกร้าฟ์โพลิเมอไรเซชันได้ดังนี้

1.4.1.1 โดยทางตรง วิธีนี้มีโอกาสเกิดได้มากที่สุด ถ้าฉายรังสีในยังพอลิเมอร์ A<sub>n</sub> กับบโนเมอร์ B ในกระบวนการเกิดแบบนี้ พอลิเมอร์ A<sub>n</sub> จะแตกตัวเป็นอนุญล และใช้เป็นตัวเริ่มตนทำให้เกิดการพอลิเมอไรซ์กับ B ได้ต่อไปดังสูตร (13)



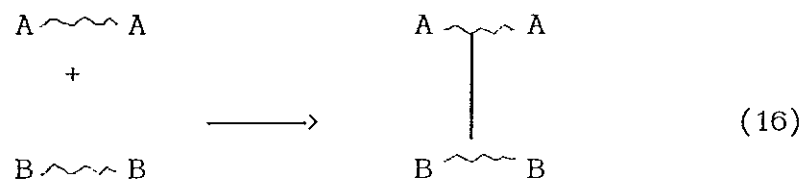
1.4.1.2 วิธีเพ้อออกซิเดชัน (peroxidation method) แผนที่จะใช้อนมลพอลิเมอร์โดยตรงในการทำให้เกิดลักษณะกร้าฟ์ ในวิธีนี้จะทำการฉายรังสีภายใต้บรรยายการที่มีออกซิเจน ผลผลิตอาจเกิดได้ทั้ง ไดเปอร์ออกไซด์ (diperoxides) หรือไฮโดรเปอโรออกไซด์ (hydroperoxides) ตามสูตร (14) และ (15) (Chapiro, A., 1987 : 747)





1.4.1.3 โดยการดักจับอนุมูล (trapped radical) เมื่อ พอลิเมอร์ที่อยู่ในสถานะผลึกหรือเป็นของแข็งคล้ายแก้วได้รับรังสี จะเกิดเป็นอนุมูลพอลิเมอร์ ซึ่งอนุมูลนี้เกิดขึ้นจะดักจับอย่างไม่ต่อเนื่องสารได้ และอาจทำให้มีช่วงชีวิตอยู่ได้นานเท่านั้น การดักจับอนุมูลแบบนี้เมื่อนอนโนนเมอร์ถูกไฟร้าเจ้ายังไงในพอลิเมอร์วนน์ การเกิดกราฟท์จะเกิดขึ้นระหว่างกระบวนการที่โนนโนนเมอร์ไฟร้าเจาย์ไป ทำให้พอลิเมอร์ห้องหรือบวนตัวหัน การพองตัวหันนี้มีอิทธิพลต่อความสามารถในการท่ออนุมูลจะเคลื่อนที่เข้าไปปะรวนตัวกับโนนโนนเมอร์ การเกิดปฏิกิริยาแบบนี้จะไม่เกิดเป็นโซโนพอลิเมอร์ นอกจากมีการบ่ายเบื้องโนนโนนเมอร์เท่านั้น

1.4.1.4 การครอบคลุมระหว่างพอลิเมอร์ 2 ชนิด การฉายรังสี ไปยังพอลิเมอร์ 2 ชนิดคือ พอลิเมอร์  $A_n$  และ  $B_n$  อาจจะเกิดกราฟท์โคพอลิเมอร์ได้ดังสมการ (16)



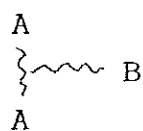
นอกจากพอลิเมอร์ทั้ง 2 ชนิด อาจเกิดการครอบคลุมกันเองได้



(1)

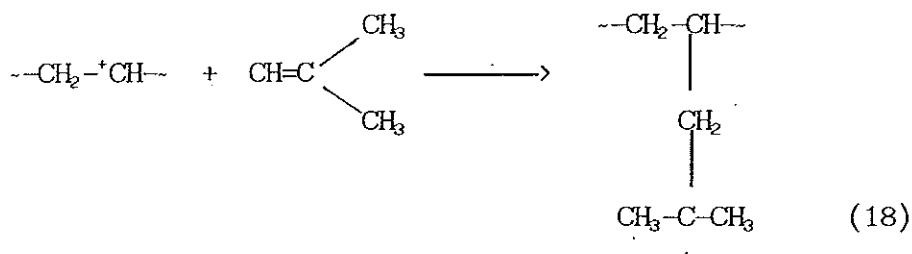
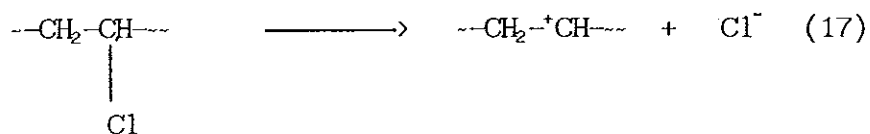
(2)

ถ้าพอลิเมอร์  $B_n$  เป็นชนิดที่แตกหักได้ง่ายลักษณะกราฟท์จะเกิดตามโครงสร้าง (3)



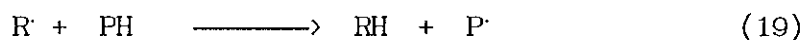
(3)

1.4.1.5 ไออันิกกร้าฟท์ (ionic grafting) เกิดขึ้นได้เมื่อทำ การฉายรังสีไวปั๊ง พอลิเมอร์-โนโนเมอร์ ที่รวมตัวอย่างเหมาะสมแล้วท่อถุงหูมิค่า (-78 หรือ -196 °C) ให้ลักษณะเกิดไออันิกกร้าฟท์โพลิเมอร์ ตามสมการ



#### 1.4.2 ครอบคลุม

การครอบคลุมของพอลิเมอร์จะใช้ออนุพลอิสระ เป็นตัวเริ่มต้นมีผลทำให้ ไซโตรเจนหลุดออกไปจากการรับอนุตอนและเกิดโมเลกุลของอนุพลพอลิเมอร์ที่ ดังสมการ (19)

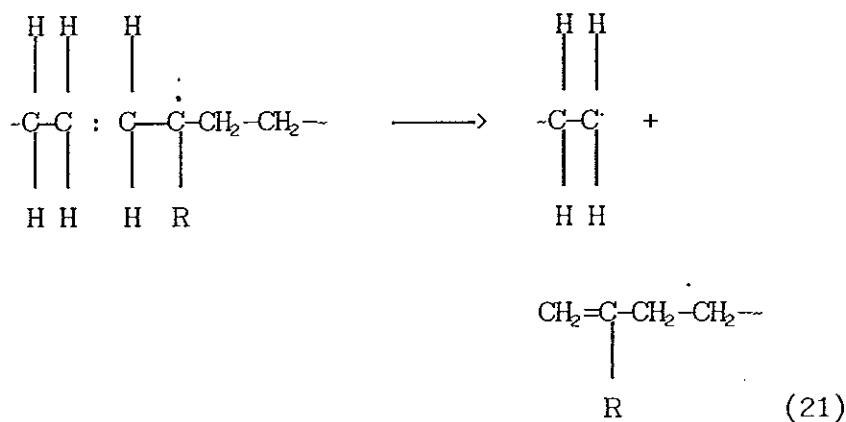


จากนั้นโนโนเลกุลของพอลิเมอร์แพรคิดิคอล 2 โนโนเลกุล รวมตัวกันเกิดการครอบคลุมขึ้น



#### 1.4.3 การแตกหักของสายโซ่

ไซโตรเจนจะถูกดึงออกที่ตำแหน่งใด ๆ ก็ได้ในสายโซ่ แต่ตำแหน่งที่เกิดขึ้นได้คือตำแหน่งเทอเทิร์ตีเรียร์บอน (tertiary carbon) เป็นผลทำให้เกิดการแตกหักของสายโซ่ ดังสมการ (21)



อย่างไรก็ตามพอลิเมอร์ที่เป็นลักษณะ เส้นตรงจะ เกิดการクロสลิงค์ หรือเกิดการแตกหักของสายโซ่ได้หรือไม่นั้น ขึ้นอยู่กับธรรมชาติทางเคมีของพอลิเมอร์เอง และสภาวะของ การฉายรังสี ดังแสดงในตาราง 3

ตาราง 3 แสดงผลผลิตจากการクロสลิงค์ (c1) และการแตกหักของสายโซ่ (cs) ของ พอลิเมอร์บางชนิด

พอลิเมอร์	G (c1) ที่ 20 °C	G (cs)
พอลิไธลีน, PE	0.6	0.8-1.0
พอลิสไตรีน, PS	0.04-0.06	0-0.2
ยางธรรมชาติ, NR	1.3	0.14
พอลิบิวทาไดอิน, PB	2.0	
พอลิอะไครโลไนไตรอล,	1.4	
พอลิเมทธิลอะไครเลต, PMC	0.5-1.1	0.17
พอลิไวนิลคลอร์ไรด์, PVC	0.2-0.5	
พอลิไวนิลอะซีเตต, PVA	0.28	0.1
พอลิเอมีน, PA	0.3	

ที่มา : Chapiro, A., 1969 : 737

ค่า G หมายถึง จำนวนผลผลิตใด ๆ ที่เกิดขึ้นจากการดูดกลืนพลังงานรังสีขนาด 100 eV

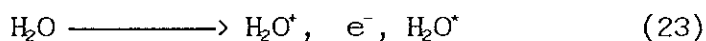
G (crosslinked) หรือ G(c1) หมายถึงปริมาณการครอสลิงค์ต่อ 100 eV  
 G (chain scission) หรือ G(cs) หมายถึงปริมาณการแตกหักของสาย  
 ไฟฟ้า 100 eV  
 G (C=C) หรือ G(db) หมายถึงจำนวนหัวเขี้ยว C-C ต่อ 100 eV  
 ค่า G สัมพันธ์กับค่าผลได้ไอออนิก โดยสมการ

$$G = \frac{M}{N} \times \frac{100}{W} \quad (22)$$

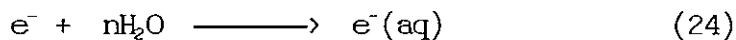
เมื่อ M หมายถึง การเปลี่ยนแปลงจำนวนโน้มเลกูล  
 N หมายถึง จำนวนไอออนที่เกิดขึ้น  
 W หมายถึง พลังงานเฉลี่ยในการเกิดคู่ไอออน มีหน่วยเป็นอิเล็กตรอนโวลต์  
 (eV)  
 โดยที่ 1 eV คือหน่วยของพลังงานที่อิเล็กตรอนได้รับเมื่อวิ่งผ่านความต่างศักย์  
 ไฟฟ้า 1 โวลต์

### 1.5 ผลของรังสีที่มีต่อไฟฟ้า

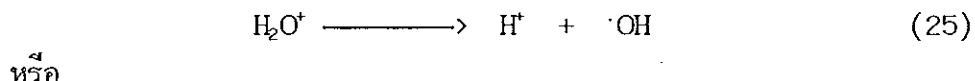
เมื่อรังสีผ่านเข้าไปในน้ำจะทำให้โน้มเลกูลของน้ำเกิดการแตกตัวเป็นไอออน หรือ  
 โน้มเลกูลที่อยู่ในสภาวะกระตุน ซึ่งจะเกิดขึ้นภายในช่วงเวลาประมาณ  $10^{-16}$  ถึง  $10^{-13}$   
 วินาที ภายหลังท้องส่วนผ่าน สามารถเขียนในรูปสมการดังนี้

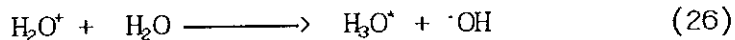


อิเล็กตรอนที่เกิดขึ้นจะสูญเสียพลังงานโดยการชนกับอะตอม หรือโน้มเลกูลรอบ ๆ จน  
 กระทบพลังงานถึงระดับที่เรียกว่า พลังงานความร้อน (thermal energy) ให้พลังงานเมื่อ  
 ค่า 0.025 eV อิเล็กตรอนจะถูกครอบคลุมด้วยโน้มเลกูลของน้ำ ใช้สัญลักษณ์ว่า  $\text{e}^- (\text{aq})$   
 ปรากฏการณ์เกิดขึ้นประมาณ  $10^{-11}$  วินาที หลังจากท้องส่วนผ่านอาจเขียนในรูปสมการได้ดังนี้

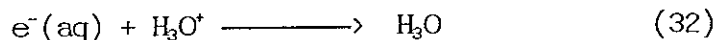
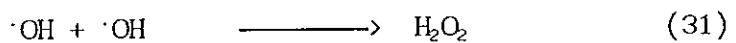
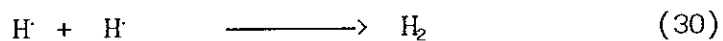
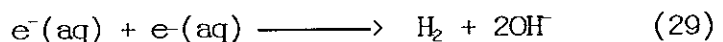
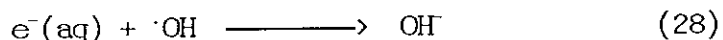
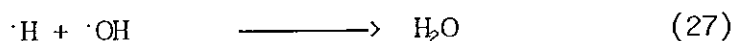


ไอออนบวก ( $\text{H}_2\text{O}^+$ ) ที่เกิดขึ้นจะไม่อยู่ตัว จะสลายตัวกลับเป็น  $\text{H}^+$  และ  $\cdot\text{OH}$   
 ภายในเวลา  $10^{-13}$  วินาที หลังจากการรังสีผ่าน ซึ่งอาจเขียนในรูปสมการได้ดังนี้

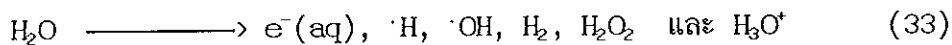




$\text{H}_3\text{O}^+$  เป็นอนิโกลที่อยู่ในสภาวะกรดตื้น  
ถ้าพิจารณาถึง  $e^-$  (aq),  $\cdot\text{H}$ ,  $\cdot\text{OH}$  และ  $\text{H}_3\text{O}^+$  จะเกิดขึ้น ณ บริเวณทึบสี  
ผ่าน ดังนี้จะมีโอกาสที่สามารถจะทำปฏิกิริยาซึ่งกันและกันได้มาก และสามารถเขียนปฏิกิริยา  
ที่เกิดขึ้นได้ดังนี้



ปฏิกิริยาทั้งหมดที่เกิดขึ้นประมาณ  $10^{-8}$  วินาที หลังจากทั้งสิ่งผ่านเข้าไปในเม็ด  
หลังจาก  $10^{-8}$  วินาที จะเกิดผลิตผลหลายชนิด ซึ่งอาจกล่าวโดยสรุปได้ว่าไปในสี

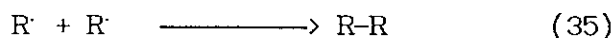


## 2. การวิจัยเกี่ยวกับการวัลคาไนซ์นำทางธรรมชาติคิวบ์รังสี

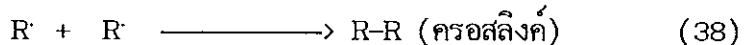
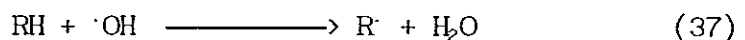
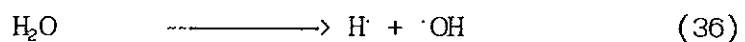
ยางพารา เป็นพืชที่ให้น้ำยาง มีลักษณะ เป็นของเหลวสีขาว อยู่ในสภาพคลออลอยด์ (collod) มีรูปร่างยาวเป็นแท่งและกลมรีเหมือนลูกแพะ ขนาดกว้าง 0.5–3 มม ยาว 4–6 มม อนุภาคยางประมาณครึ่ง 3 ส่วน ส่วนในสุดเป็นเนื้อยางล้วน เรียกว่ารัตนเนอร์ ไฮโดรคาร์บอน (rubber hydrocarbon) มีประมาณร้อยละ 86 ของอนุภาคทั้งหมด เชื่อมต่อกันด้วยหน่วยไอกโซฟิลิน 2,000–5,000 หน่วย น้ำหนักโมเลกุลประมาณ 200,000–3,000,000 หน่วยออกามานีโน้ติก (lipid) ส่วนหนึ่นนอกสุดเป็นชั้นของโปรตีน น้ำยางเป็นคลออลอยด์ชนิดไฮโดรโซล (hydrosol) ที่มีความพิเศษกว่าไฮโดรโซล ทั่ว ๆ ไป คือมีสมบัติกำกั่งระหว่างไฮdroฟิลิก (hydrophilic) จึงเกิดเป็นสารละลายได้มาก เมื่อนำมาเป็นตัวทำละลาย แต่ลักษณะไฮโดรฟิลิกจะเด่นชัดกว่า (วรรณภูมิ ขาวัยเบกุล, 1982 : 1)

การศึกษาการวัลคาไนซ์นำทางธรรมชาติคิวบ์รังสีแคมมา จาก Co-60 เริ่มต้น  
แต่ปี ค.ศ. 1960 โดยพบว่าปริมาณรังสีที่ใช้ในการวัลคาไนซ์นำทางธรรมชาติมากกว่า 300  
kGy ซึ่งถือว่าสูงเกินไปในระดับอุตสาหกรรม และได้เสนอต่อสภากฎหมายไทย

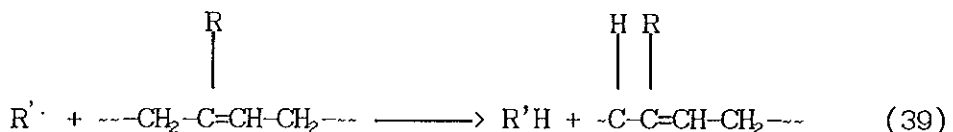
## ผลทางตรง



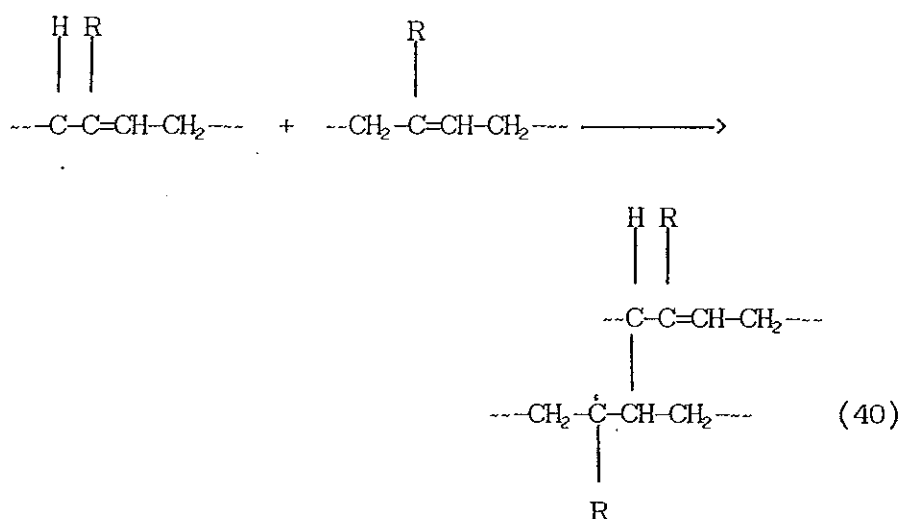
## ผลทางอ้อม



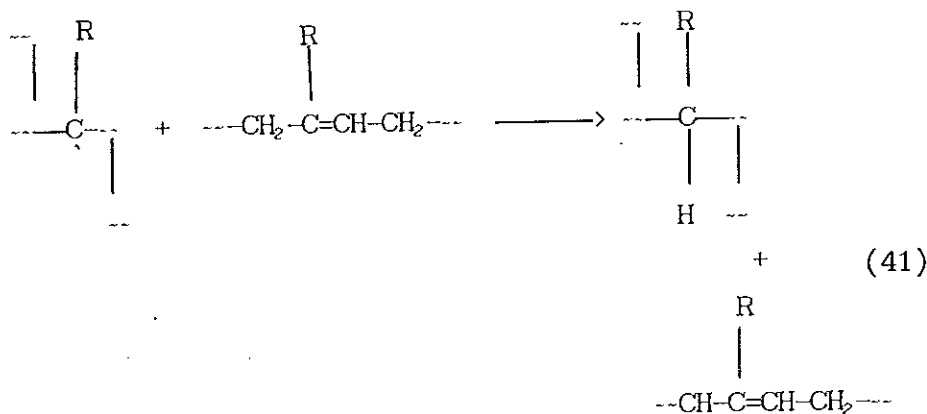
กรณีผลทางตรงอธิบายได้ว่า อนุมูลตัวแรกจะดึงไฮโดรเจนที่ตำแหน่งแอลฟ่า



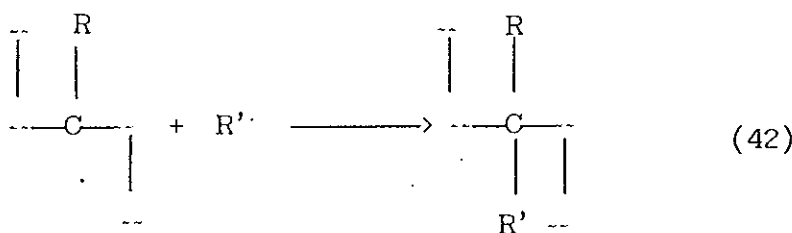
จากนั้นอนุมูลพอลิเมอร์จะเข้าตรึงตำแหน่งพันธะคู่ในสายพอลิเมอร์ทว่าส่องจะทำให้เกิดการครอสลิงค์ และได้ออนุมูลพอลิเมอร์ตัวใหม่เกิดขึ้นตามสมการ (40)



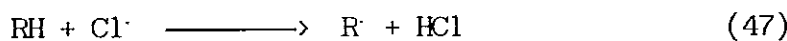
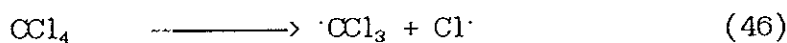
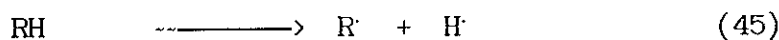
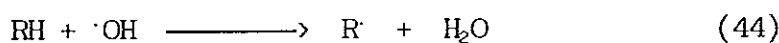
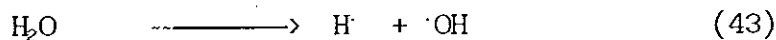
การครอสลิงค์จะดำเนินต่อไปเช่นนี้ ๆ กันในกระบวนการที่การแพร่ (propagation) และอาจเกิดการย้ายโซ่ (chain transfer) ผลการย้ายของอนุมูลอิสระไปยังอีกโน๊ตเล็ก ๆ หนึ่ง อาจทำให้เกิดโน๊ตเล็ก ๆ ที่เป็นเล็กน้อย ดังสมการ (41)



อาจเนื่องมาจากการที่ไม่สามารถเคลื่อนที่ได้ จึงเชื่อว่าในพื้นสูตรท้าย (termination) เกิดขึ้นจากอนุมูลพอลิเมอร์ทำปฏิกิริยากับอนุมูลเริ่มต้น



อย่างไรก็ตามการวัดค่าในช่องในส่วนหน้ายางจะใช้ปริมาณรังสีต่ำลงได้โดยเฉพาะถ้าเติมเซนเซอร์ที่เหมาะสมลงไป เช่น เมื่อเติม  $\text{CCl}_4$  4 phr จะใช้ปริมาณรังสีต่ำกว่า 50 kGy (Minoura and Asao, 1961: 401; Laizier et al, 1969; Sumarno and Sundardi, 1977: 24) และเสนอผลไกปฏิกิริยาต่อไปนี้

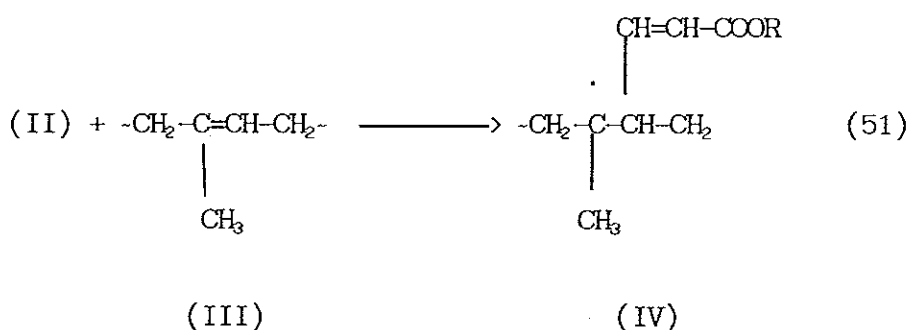
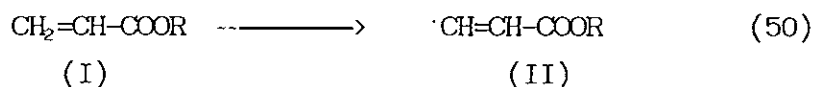


ต่อมานากุชิ และ ยากิวารา (Makuuchi and Hagiwara, 1984: 203) ได้ใช้อิโคคริลิกมอนามีเนอร์ (acrylic monomer) และ  $\text{CCl}_4$  โดยใช้เซนเซอร์ที่เป็นพอลิฟังก์ชันเนลโนนามีเนอร์ (polyfunctional monomer) เป็นตัวช่วยให้เกิดการクロสลิงค์

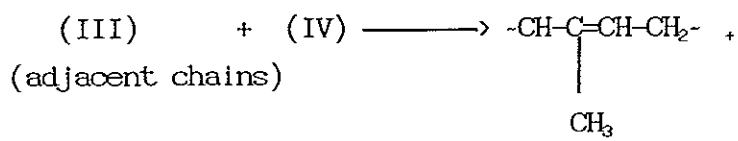
โนเมลอกลของพอลิเมอร์ไดเรชัน แต่เนื่องจากมีคำแห่งที่แทกตัวแล้วให้อเมลได้คลายคำแห่งโดยปริมาณรังสีที่ใช้ในการรักษาในนี้อยู่กว่า 10 kGy อย่างไรก็ตามพอลิฟังก์ชันลูโนโนเมอร์ที่ใช้ทำให้เกิดการแตกตะกอนหลังจากทั่งไว้ค้างคืนเพื่อทดสอบห้องทึ่นเพื่อการกระจายของไครเลต (diacrylate) ไปบนพื้นผิวของอนุภาคย่างมีเสถียรภาพพอสมควร เนื่องจากตัวมันมีความสามารถในการละลายกับยางธรรมชาติได้น้อยมาก และการกำจัดพอลิฟังก์ชันลูโนโนเมอร์ออกจากผลิตภัณฑ์ยางทำได้ยาก เพราะความคันไoit มาก เนื่องจากมีน้ำหนักโนเมลสูง

ต่อมากะซึ และ เดเวนดรา (Makuuchi and Devendra, 1986) ใช้อะไครลิกโนโนเมอร์ที่เป็นโนโนฟังก์ชันนิล (monofunctional) โดยพบว่า การใช้โนโนฟังก์ชันนิลโนโนเมอร์ เป็นเช่นชีไทเซอร์มาร์คิดก้าวพอลิฟังก์ชันนิลที่ราคาก็ถูกกว่า และมีความดันไอสูงพอที่สามารถถักจำกัดออกได้โดยการให้ความร้อน จากการใช้ 2-เอธิล เอคิลอะไครเลต (2-ethylhexyl acrylate, 2-EHA) เป็นเช่นชีไทเซอร์มาร์คิดก้าวพอลิมาร์รั่งสีลงเหลือง 30 kGy และ เมื่อใช้ 2-EHA ร่วมกับ  $\text{CCl}_4$  ปริมาณรั่งสีที่ใช้เท่ากับ 15 kGy อย่างไรก็ตามแผ่นฟิล์มบางที่เตรียมจากการใช้ 2-EHA มีกลิ่นเหม็น เนื่องจากมีสารตกค้างของ 2-EHA

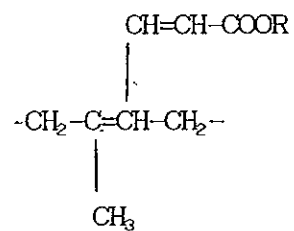
ชัยกริต และคณะ (Chayagrit, et al. 1990:336) ได้ศึกษากลไกปฏิกิริยา การวัดค่าไนโตรเจนด้วยรังสี โดยมี 2-EHA เป็นเซนเซอร์ควบคุมเทคนิค  $^{13}\text{C-NMR}$  และ FT-IR ได้ดังนี้



อนุมูลิสระ (IV) ที่เกิดนี้จะไปดึงไยโครเจนอะตอมของกลุ่มเมธิลลีนในสาย  
ไฮเพอโลไมร์ทอยไกลฟ์สุดคล้ายเป็นอนุมูลิสระบางใหม่ (V)



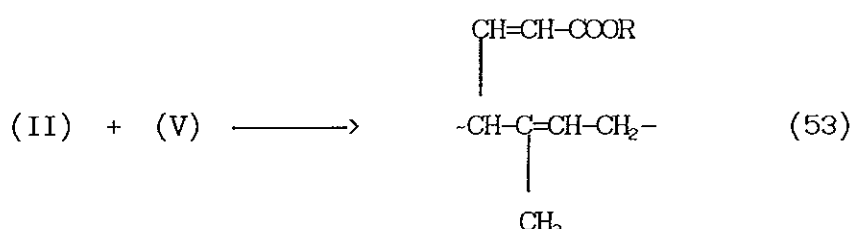
(V)



(VI)

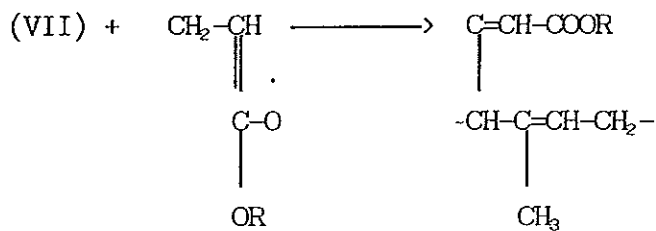
(52)

อนุผลอิสระที่เกิดขึ้นอาจจะรวมตัวกันเองได้ผลผลิตที่เป็นสารมัธบันฑ์  
(intermediate)

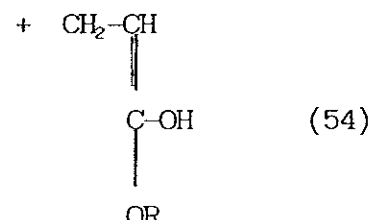


(VII)

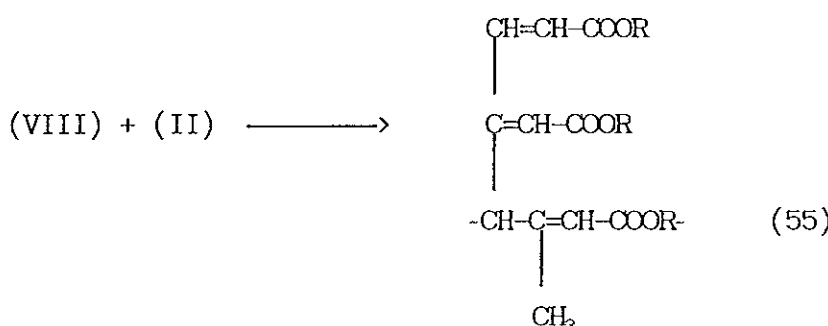
2-EHA อาจจับกับสารมัธบันฑ์ทางไป



(VIII)



หรือ



การวิจัยของไครลิกโนเบอร์ตัวใหม่คือ นอร์มอลบิวทิล อัลไครเลต (*n*-butyl acrylate, *n*-BA) ร่วมกับ  $\text{CCl}_4$  ในสัดส่วน 1:1 phr เป็นเช่นชีไทเซอร์นิ พนิว่า ปริมาณรังสีที่เหมาะสมที่สุดอยู่ที่ระดับ 20 kGy ให้ค่าความหนาแรงดึง 20 MPa (Sabarinah, et al. 1990: 815-818) ทั้งนี้ไม่อาจหลีกเลี่ยงการใช้  $\text{CCl}_4$  ที่เต็มลงเป็นได้ การวิจัยถึงผลของไฮโดรเจน Peroxide (hydrogen peroxide,  $\text{H}_2\text{O}_2$ ) ในการวัลคาไนซ์น้ำยาหง่าน ธรรมชาติตัวรังสีโดยใช้  $\text{CCl}_4$  และ *n*-BA ในสัดส่วน 1:1 phr เช่นเดียวกันเป็น เช่นชีไทเซอร์ที่ช่วยลดปริมาณรังสีให้ต่ำลง พนิว่าการเติม  $\text{H}_2\text{O}_2$  30% ในปริมาณ 2.5 phr ปริมาณรังสีที่ใช้ในการวัลคาไนซ์เท่ากับ 14 kGy ที่ให้ความหนาแรงดึงสูงสุด 18 MPa (Sabarinah and Sundari, 1990:815)

กรณีที่ใช้ *n*-BA จะต้องใช้โพแทสเซียมไฮดรอกไซด์ (potassium hydroxide, KOH) 0.2 phr เพิ่มความคงตัวของน้ำยาหง่าน และเมื่อใช้ *n*-BA 5 phr พนิว่า ปริมาณรังสีที่ใช้ในการวัลคาไนซ์อยู่ที่ระดับ 15 kGy ให้ค่าความหนาแรงดึง 30 MPa ความ

ยางคีเดเมื่อขาด 98% ซึ่งถือว่ามีค่าเกินกำหนดมาตรฐานคงมือยางทางการแพทย์ (ASTM D3578) และน้ำยางที่ได้จากการวัดค่าในช่วงสัมารรถเก็บไว้ได้นานกว่า 90 วัน (Zhonghai and Makuuchi, 1990 : 326)

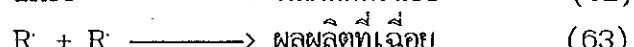
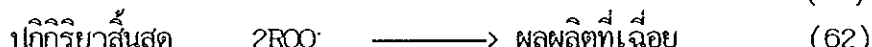
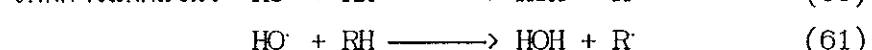
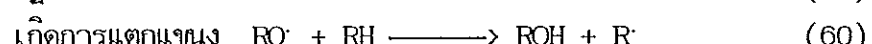
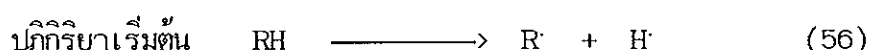
จากการวิจัยพบว่า n-BA เมื่อนำ 5 phr ร่วมกับ เทอร์บิรี บิวทิว ไฮโดรเจน เปอโรออกไซด์ (*t*-butyl hydroperoxide, HPO) 0.1 phr เป็นเชนเชิ่ทเชอร์ ไดย์มี KOH เป็นสารเพิ่มความคงตัวของน้ำยางธรรมชาติ และพบว่าการเติมไฮโดรเจน เปอโรออกไซด์ก่อนที่จะเติมน้ำ BA นั้นทำให้น้ำยางมีสีบริภูพมากกว่าการใช้น้ำ BA เพียงอย่างเดียว ปริมาณรังสีที่ใช้ประมาณ 8 kGy โดยที่แผ่นฟลัมยางมีค่าความหนาแรงดึงประมาณ 29 MPa (Parinya and Makuuchi, 1990 : 305)

### 3. สารป้องกันออกซิเดชัน (Antioxidant)

ยางธรรมชาติหรือสารสังเคราะห์พอลิเมอร์ ที่ใช้งาน ซึ่งเป็นผลเนื่องมาจากการแวดล้อม แสง และสารเคมี การเสื่อมสภาพทำให้โมเลกุลยางเกิดการแตกหักของสายโซ่และการ erosive และการดูดซึบออกซิเดชัน ผลเหล่านี้กระแทกถังสำหรับโมเลกุลของพอลิเมอร์ ปริมาณเจล สี และความหนืด เป็นต้น (Jame, 1972 : 1)

#### 3.1 ปฏิกิริยาการเกิดสารป้องกันออกซิเดชันในยาง

เป็นปฏิกิริยาแบบอัตโนมัติ (autoxidation) นี้คือผลผลิตจากสารป้องกันออกซิเดชันเอง จะเป็นตัวเร่งให้เกิดปฏิกิริยาออกซิเดชันได้เร็วขึ้นด้วย กลไกปฏิกิริยาออกซิเดชันของพอลิเมอร์เป็นดังนี้ (Bolland, 1947; Frank, 1950 and Bateman, 1954)



จากปฏิกิริยาดังกล่าว แสง (โดยเฉพาะช่วงคลื่นอุตตราไวโอเลต) และความร้อน จะเป็นตัวเร่งให้ปฏิกิริยาเริ่มต้นเป็นไปได้รวดเร็วขึ้น ส่วนโมเลกุลของโลหะจะเป็นตัวเร่งปฏิกิริยาการสลายตัวของ HPO ให้เกิดอนุมูลอิสระ ซึ่งจะเกิดปฏิกิริยาต่อไปได้อีก

ปฏิกิริยาการสลายตัวของ HPO ด้วยเกลือโลหะ เช่น โซเดียมไฮดรอกซิล

คงน้ำ



โดยทั่วไปเรามักต้องการลดการอكسิเดชันของยางให้น้อยที่สุดเท่าที่จะเป็นไปได้ ซึ่งการกระทำเช่นนี้มี 2 วิธีการคือ

(1) ทำลายไม่ให้เกิดปฏิกิริยาลูกโซ่ สารเคมีที่ใช้เรียก สารป้องกันออกซิเดชัน โดยการทำให้สายโซ่แตกหัก (chain-breaking antioxidant)

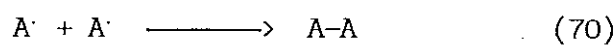
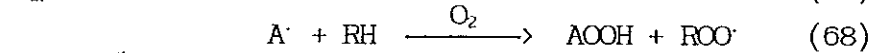
(2) ป้องกันไม่ให้เกิดอนุผลอิสระชนิดป้องกัน (preventive antioxidant)

สารประเทานิลายตัว เช่น สารสลายตัว HPO สารจับอนุผลอิสระ (chelating agent) สารกันแสงอุตุราไวโอลেต เป็นต้น

ถ้าสารป้องกันอออกซิเดชัน มีสูตรร่ายเป็น AH

และ ยางมีสูตรร่ายเป็น RH

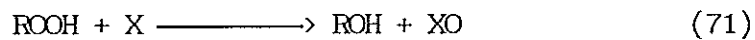
ปฏิกิริยาที่สารป้องกันอออกซิเดชันทำให้เกิดปฏิกิริยาลูกโซ่ในการอออกซิเดชันของยาง ยุติลงได้ดังนี้



ปฏิกิริยาที่ (66) แสดงถึงปฏิกิริยาที่ AH เป็นตัวกระตุ้นให้เกิดการอออกซิเดชันได้ ส่วนปฏิกิริยาที่ (67) แสดงถึงปฏิกิริยาที่ AH ทำปฏิกิริยากับ ROO<sup>·</sup> เร็วกว่าปฏิกิริยาที่ (58) และถ้าปฏิกิริยาที่ (68) ดำเนินไปอย่างช้า ๆ แล้วตัว AH อาจจะเป็นตัวต้านการอออกซิเดชันได้ ส่วนปฏิกิริยาที่ (69) และ (70) แสดงถึงปฏิกิริยาที่ทำให้ออนุผลอิสระหมดไป นั่นคือปฏิกิริยาลูกโซ่ในการอออกซิเดชันโดยไม่ได้ด้วย สารป้องกันอออกซิเดชันนนอาจจะไม่ทำปฏิกิริยาแบบใดแบบหนึ่ง หรือทักษะที่ทำให้การอออกซิเดชันของยางช้าลงได้

สารป้องกันอออกซิเดชันที่เป็นปกป้องไม่ทำให้เกิดอนุผลอิสระนั้น นักเป็นสารที่สลายสารเปอร์ออกไซด์ สารพวงน้ำได้แก่ ไดลอริล เบตา ไทร็อกซิโลเนต (di lauryl-

$\alpha$ -thiodipropionate, DLTP) และ ไตรโนมิล เทนิฟอสไฟต์ (trinonyl phenyl-phosphite, TNPP) เป็นต้น (Brydson, 1978:263) กลไกปฏิกริยาของสารเหล่านี้ คาดว่าเป็นดังนี้



โดยที่ X แทนสารป้องกันออกซิเดชันที่สลายสาร HPO

#### วัตถุประสงค์

1. หาชนิดและอัตราส่วนของสารป้องกันออกซิเดชันที่เหมาะสม เติมลงในน้ำยางชรรมชาติ ทัวลคานีซ์ด้วยรังสีแกมมา
2. เพื่อกำกยาดสมบูรณ์หลังบ่มเร่งของแผ่นพิล์มที่เตรียมจากน้ำยางวัวลคานีซ์ด้วยรังสีก่อนและ หลังเติมสารป้องกันออกซิเดชัน
3. เพื่อกำกยาการผลิตเป็นผลิตภัณฑ์เบบี้ร์ระดับห้องปฏิบัติการ จากน้ำยางวัวลคานีซ์ด้วยรังสี ที่เติมสารป้องกันออกซิเดชันในระดับความเข้มข้นเหมาะสม

## บทที่ 2

### วิธีการวิจัย

วัสดุ

1. นำยางพาราคัมปันเนียส์ จากแหล่งต่าง ๆ ที่ใช้คือ
  - บริษัทจะนะนำยางขึ้น จำกัด
  - บริษัทพาราเท็กซ์ จำกัด
  - บริษัทเสริมหันด์ จำกัด

#### 2. สารป้องกันออกซิเดชัน

แอนต์ออกซิเดนต์ 2246	(Antioxidant 2246)	บริษัท Anchor
วิงสเตย์ แอล	(Wingstay L)	บริษัท Goodyear
วัลคาโนอก เคบี	(Vulcanox KB)	บริษัท Bayer
เพอร์มาแน็กซ์ ดับบลิวエสพี	(Permanax WSP)	บริษัท Vulnax
/nonox ดับบลิวอีสแอล	(Nonox WSL)	บริษัท ICI
วัลคาโนอก เอ็มบีส่องทับเบิ่นจี	(Vulcanox MB <sub>2</sub> /Mg)	บริษัท Bayer
/nonflex ที เอ็นพี	(Nonflex TNP)	บริษัท Seiko

สมบัติและสตรوخองสารป้องกันออกซิเดชันแต่ละชนิด จะแสดงไว้ในภาคผนวก ฯ

#### 3. เช่นชีไทเชอร์

นอร์มอล บิวทิล อีไครเลต ( <i>n</i> -butyl acrylate, <i>n</i> -BA) Technical Grade	บริษัท Formosa Plastic	ไต้หวัน
เทอชิวารี บิวทิล ไฮโดรperอออกไซด์ ( <i>tert.-butyl hydroperoxide</i> , HPO)	A.R Grade	บริษัท Nihon Yoshi ญี่ปุ่น

#### 4. สารเคมีนั้น ๆ

โพแทสเซียมไฮดรอกไซด์ (KOH)	A.R Grade	บริษัท Merck เบอร์มันนี
แอมโมเนียมไฮดรอกไซด์ (NH <sub>4</sub> OH)	A.R Grade	บริษัท Merck เบอร์มันนี
เบนซิน (C <sub>6</sub> H <sub>6</sub> )	A.R Grade	บริษัท Merck เบอร์มันนี
เคซีน (casein)	A.R Grade	บริษัท Fluka สวิสเซอร์แลนด์
กรดโอลิอิก (CH <sub>3</sub> (CH <sub>2</sub> ) <sub>7</sub> CH=CH(CH <sub>2</sub> ) <sub>7</sub> COOH)	A.R Grade	บริษัท Bayer อังกฤษ
เบนโทไนต์ (bentonite)	Technical Grade	ประเทศไทย
วัลคาสแตป แอลอาร์ (Vulcastab LR)	Technical Grade	บริษัท Vulnax

## อุปกรณ์

1. เครื่องฉายรังสี Carrier Type JS-8900 บริษัท Nordian Int. ความแรงรังสี 395 kCi (1990) อัตราการให้รังสี 0.89 kGy/hr ที่ระยะ 40 cm จากแผ่นโลหะของแหล่งกำเนิด (source plaque) (ภาพประกอบ 15)
2. เครื่องฉายรังสี Gamma Beam-650 บริษัท AECL ความแรงรังสี 10.06 kCi (1992) อัตราการให้รังสี 3.5 kGy/hr ที่ระยะ 32 cm จากแผ่นโลหะของแหล่งกำเนิด (ภาพประกอบ 16)
3. เครื่องทดสอบความหนาแรงดึง ยี่ห้อ Lloyd รุ่น 1000 S ประเทศไทย อังกฤษ (ภาพประกอบ 17)
4. nylon thin film FWT-60-00 บริษัท ฟาร์เวลล์ เทคโนโลยี ประเทศไทยและอเมริกา
5. ถังเหล็กกล้าไร้สนิม ขนาด 10 ลิตร พร้อมอุปกรณ์การกวนสำหรับตรวจวัดน้ำยางเพื่อจ่ายรังสี
6. เครื่องตัดแผ่นพิมพ์ยาง (ภาพประกอบ 18)
7. เครื่องกวนน้ำยางที่มีร้อนความเร็วอบได้
8. ตู้อบไฟฟ้า 300 °C Tabai Espac corp.
9. ตู้อบไฟฟ้าชนิด Geer oven (ภาพประกอบ 19)
10. แบบพิมพ์มือสำหรับจุ่มน้ำรูปเป็นถุงมือใช้ทางการแพทย์ (ภาพประกอบ 20)
11. เครื่องวัดความหนืด (Viscometer) รุ่น DV-II บริษัท Brookfield (ภาพประกอบ 21)
12. เครื่องวัดความเสถียรของน้ำยางที่ความเร็วอบ 14,000 รอบ/นาที บริษัท Klaxon (ภาพประกอบ 22)
13. เครื่องวัดการคงตัวของยางหลังจากถูกยัด (ภาพประกอบ 23)

## วิธีคำนวณการ

1. ทดสอบสมบัติน้ำยางขึ้นตามมาตรฐาน ISO-1979 (E) ก่อนและหลังการฉายรังสี ตามหลักการทดสอบดังนี้
  - ปริมาณของแข็งทั้งหมด (total solid content, TSC)
  - ปริมาณเนื้อยางแห้ง (dry rubber content, DRC)
  - แอมโมเนียม (ammonia, NH<sub>3</sub>)
  - เวลาเสถียรภาพเชิงกล (mechanical stability time, MST)
  - ความเป็นกรด-ด่าง (pH)
  - กรดไขมันระเหยได้ (volatile fatty acid, VFA)

ความหนืด (viscosity)

โพแทสเซียมไฮดรอกไซด์ (KOH)

2. การเตรียมน้ำยางเข้าจราจรรังสี

เตรียมน้ำยาง 2 ชุด ชุดแรกใช้ *n*-BA เป็นเอนซิไทเชอร์เพียงอย่างเดียว ชุดที่สองใช้ *n*-BA ร่วมกับ HPO ดังนี้

ชุดที่ 1

น้ำหนักแห้ง

60% น้ำยางขัน	100
10% KOH	0.2
<i>n</i> -BA	5

ชุดที่ 2

น้ำหนักแห้ง

60% น้ำยางขัน	100
10% KOH	0.2
HPO	0.1
<i>n</i> -BA	5

ทำการเจือจางส่วนผสมทั้งหมดให้ได้น้ำยางขัน 50% ด้วยสารละลายน้ำยาง 1% NH<sub>3</sub> เตรียมน้ำยางตามสูตรประมาณ 5 เท่า ในเบี้กเกอร์ขนาด 1 ลิตร โดยการเจือจางน้ำยางด้วย NH<sub>3</sub> ก่อน เติม KOH และ HPO ทำการกวนด้วยเครื่องกวนน้ำยางเป็นเวลา 2 ชั่วโมง ทั้งไว้ค้างคืนท่อลมหายใจห้องเป็นเวลา 15 ชั่วโมง สำหรับชุดที่ 2 ในขั้นตอนการเติมน้ำยาง ให้หยดดอย่างช้าๆ ทีละหยด เพื่อมองกันไม่ให้น้ำยางหลัด ในการเติมน้ำยาง *n*-BA จะทำให้น้ำยางมีเสถียรภาพพิเศษ (Parinya, A., 1990: 307) จากนั้นนำไปอบรังสีแกมมาให้ได้รับปริมาณรังสี 0, 5, 7.5, 10, 12.5 และ 15 kGy ตามลำดับโดยมือตราชาระบารังสีประมาณ 3.5 kGy/hr น้ำยางจะยังคงสภาพที่ได้ นำมาทำเป็นแผ่นฟิล์มบางโดยเทลงบนกระดาษขนาด 6 x 6 นิ้ว ที่มีขอบสูง 2 mm ใช้น้ำยางประมาณ 20 g ทั้งไว้ให้แห้งจนไม่ท่อลมหายใจห้อง ลอกแผ่นฟิล์มบางออก และนำไปแพช์ในน้ำกลัน ทั้งไว้ค้างคืน จากนั้นล้างน้ำกลันออกครั้งก่อนนำไปทำกแห้งท่อลมหายใจห้อง และอบอุ่นที่ 70 °C เป็น

### เวลา 1 ชั่วโมง

3. นำแผ่นพิล์มยางที่ได้รับปริมาณรังสีต่าง ๆ มาทดสอบสมบัติทางกายภาพของแผ่นพิล์มยาง สมบัติทางกายภาพของแผ่นพิล์มที่ใช้เป็นหลักในการพิจารณาคือ โนดูลัส ความหนา แรงดึง ความยาวยืดเมื่อขาด การคืนตัวของยางหลังจากถูกยืด (permanent tension set) และ ความหนาแน่นครอสลิงค์ (crosslink density) การทดสอบสมบัติทางกายภาพของยาง ทำได้โดยตัดแผ่นยางเป็นรูปด้านเบลตามขนาดมาตรฐานของ ISO 37-1799 (E) หรือ ASTM D412-80

3.1 โนดูลัส หาได้จากแรงจูดหนึ่งหรือมากกว่าจูดหนึ่งที่ยกยางออกไปปุณณจุนน์ นิยมมาจากการบันทึกค่ากราฟ แรงคีน-แรงเครียด (stress-strain) ซึ่งมักใช้ความกว้าง 300% หรือ 600% ในการพิจารณา

$$\text{โนดูลัส} = \frac{E_m}{A} \quad (72)$$

$E_m$  คือ แรงดึงเมื่อยางยืดได้ความยาวตามต้องการ หน่วยเป็นนิวตัน

$A$  คือ พื้นที่หน้าตัดเริ่มแรก หน่วยเป็นตารางมิลลิเมตร

3.2 ความหนาแรงดึง คำนวณจากการแบ่งแรงที่ได้ ณ จุดที่ยางขาดด้วยพื้นที่หน้าตัดของยางเริ่มแรก

$$\text{ความหนาแรงดึง} = \frac{F}{A} \quad (73)$$

$F$  คือ แรงดึงสูงสุด ณ จุดที่ยางขาด หน่วยเป็นนิวตัน

$A$  คือ พื้นที่หน้าตัดเริ่มแรก (ในส่วนที่แคบ) หน่วยเป็นตารางมิลลิเมตร

หน่วย SI มักใช้ความหนาแรงดึงในหน่วย เมกะพาสคัล (MPa)

โดยที่  $1 \text{ MPa} = 10^6 \text{ N/mm}^2$

3.3 ความยาวยืดเมื่อขาด คือเปอร์เซ็นต์ของความยาวที่ลดลงจากยางขาดเมื่อเทียบกับความยาวเดิม

$$\text{ความยาวยืดเมื่อขาด} = \frac{L - L_0}{L_0} \times 100\% \quad (74)$$

$L$  คือ ความยาวระหว่างพิกัด ณ จุดที่ยางขาด

$L_0$  คือ ความยาวเริ่มแรกของพิกัด

3.4 การคืนตัวของยางหลังจากถูกยืด ใช้วิธีตามมาตรฐาน ASTM D412 โดยตัดชิ้นยางทดสอบแล้วทำเครื่องหมายให้ระยะห่างกัน 2.5 cm และวัดความยาวที่ยืดออกด้วยความเร็วที่คงที่ จะทำให้ยางยืดได้ถึงระยะกำหนดภายใน 15 วินาที ปล่อยให้ยางยืดระดับมันเป็นเวลา 10 นาที เมื่อครบ 10 นาที ให้วัดระยะห่างระหว่างพิกัด

$$\text{การคืนตัวของยางหลังจากถูกยืด} = \frac{L - L_0}{L_0} \times 100\% \quad (75)$$

$L$  คือ ความยาวระหว่างพิกัดที่ถูกยืด

$L_0$  คือ ความยาวเริ่มแรกของพิกัด

3.5 ความหนาแน่นครอสลิงค์ คำนวนได้จากการบวณโดยปริมาตร (volume swelling ratio,  $Q$ ) โดยตัดชิ้นยางเป็นวงกลมเส้นผ่าศูนย์กลาง 1 cm ซึ่งนำหันก้นของชิ้นยางแล้วนำไปแช่ในน้ำซึ่นนาน 3 วัน นำชิ้นยางวางขึ้นลงบนกระดาษกรองจนแห้ง นำไปน้ำไปซ้ำน้ำหนักอีกครั้ง

$$Q = V_2/V_1 = 1 + (d_r/d_s)(W_2/W_1) - d_r/d_s \quad (76)$$

$V_1$  คือ ปริมาตรของชิ้นยางก่อนแช่ในน้ำซึ่น

$V_2$  คือ ปริมาตรของชิ้นยางหลังแช่ในน้ำซึ่น

$W_1$  คือ น้ำหนักของชิ้นยางก่อนแช่ในน้ำซึ่น

$W_2$  คือ น้ำหนักของชิ้นยางหลังแช่ในน้ำซึ่น

$d_r$  คือ ความหนาแน่นของชิ้นยางมีค่า  $0.93 \text{ g/cm}^3$

$d_s$  คือ ความหนาแน่นของเบนซินมีค่า  $0.8787 \text{ g/cm}^3$

นำผลของค่า  $Q$  มาแทนลงในสูตร (77)

$$\text{ความหนาแน่นครอสลิงค์} (u_0) = K \times Q^{-5/3} \quad (77)$$

$K$  คือ ค่าคงที่สำหรับเบนซิน-ยางธรรมชาติ  $= 4.71 \times 10^{20}$

$Q$  คือ อัตราส่วนการบวณโดยปริมาตร

#### 4. การหาเงื่อนไขการวัดค่าให้ชิ้นยางธรรมชาติด้วยรังสี

4.1 การทดลองเพื่อศึกษา ค่า pH กับ เวลาการเก็บอย่างไง

นำชิ้นยางที่ถ่ายรังสีในปริมาณรังสีที่เหมาะสมแล้วมาวัดค่า pH ที่ระยะเวลาเก็บอย่างไงคือ 0, 6, 14, 21, 35, 56 และ 84 วัน

4.2 การทดลองเพื่อศึกษา ค่าความหนืด กับ เวลาการเก็บอย่างน้ำยา  
นำน้ำยาที่ถ่ายรังสีในปริมาณรังสีที่เหมาะสมสมแล้วมาวัดค่าความหนืดที่ระยะการเก็บ  
น้ำยา เช่นเดียวกับในข้อ 4.1

4.3 การทดลองหาชนิดและปริมาณต่าง ๆ ของสารป้องกันออกซิเดชันลงในน้ำยาที่  
ถ่ายรังสีที่เหมาะสมแล้ว เพื่อกราฟแสดงความสัมพันธ์ระหว่างความหนาแนงดึงกับปริมาณ  
รังสี ในข้อ 2 เพื่อหาปริมาณรังสีที่เหมาะสมที่ให้ค่าความหนาแนงดึงสูงสุด สำหรับการวิจัย  
ในครั้งนี้ จะแบ่งสตรuktur เติมสารป้องกันออกซิเดชันชนิดต่าง ๆ และปริมาณต่าง ๆ ลงใน  
น้ำยาธรรมชาติทั่วไปในชุดยารังสีที่เหมาะสมแล้ว

ปริมาณความเข้มข้นของสารป้องกันออกซิเดชัน 0, 0.5, 1.0 และ 1.5 phr  
โดยใช้ชนิดต่าง ๆ ดังนี้

- |                          |                                  |
|--------------------------|----------------------------------|
| 1. แอนติออกซิเดนต์ 2246  | 2. วิงสเต แอล                    |
| 3. วัลคาน็อก เคมี        | 4. เพอร์มานาเน็กซ์ ดับบลิวเอสพี  |
| 5. นอนน็อก ดับบลิวเอสแอล | 6. วัลคาน็อก เอ็นบีส่องทับเอ็นจี |
| 7. นอนแฟล็กซ์ ที เอ็นพี  |                                  |

4.4 การทดลองเพื่อเบรี่ยนเทียนความหนาแนงดึง กับเวลาที่ใช้ล้างแผ่นฟิล์ม  
นำน้ำยาที่เติมสารป้องกันออกซิเดชันชนิดต่าง ๆ และปริมาณความเข้มข้นต่าง ๆ  
เมื่อเตรียมเป็นแผ่นฟิล์มบางเรียบร้อยแล้ว นำมาล้างด้วยน้ำยาที่ระบุไว้ต่อไปนี้ ที่อุณหภูมิ 70 °C นาน 1 ชั่วโมง แล้วทดสอบสมบัติทาง  
กายภาพของแผ่นฟิล์มน้ำยา

5. การเตรียมน้ำยาล้างวัลคาน็อกซ์ด้วยรังสีเพื่อขึ้นรูปเป็นถุงมือใช้ทางการแพทย์  
(medical examination glove)

เจือน้ำยาที่จากแหล่งผลิตที่ให้คุณสมบัติของแผ่นน้ำยาดี มาเจือจากด้วย 1% NH<sub>3</sub>  
เพื่อให้มีปริมาณเนื้อยางแห้ง 50% เติม 10% KOH โดยการวนด้ายในห้องตลอดเวลา จาก  
นั้นเติม HPO 0.1 phr เป็นเวลา 2 ชั่วโมง ในถังขนาด 20 ลิตร ทึ่งไว้ค้าง  
คืนแล้วจึงเติม n-BA 5 phr วนต่อประมาณ 1 ชั่วโมง นำไปใส่ถังสแตนเลส แล้ว  
ถ่ายรังสีที่อัตราให้รังสี 0.89 kGy/hr จนได้ปริมาณรังสีตามต้องการ จากนั้นเติมสารป้องกัน  
ออกซิเดชันที่เหมาะสมในข้อ 3.4.3 แล้วแบ่งน้ำยาออกเป็น 3 ชุดดังนี้

ชุดที่ 1 ชุดควบคุม (control) คือน้ำยาที่ถ่ายรังสีแล้วไม่เติมสารป้องกัน  
ออกซิเดชันใด ๆ

ชุดที่ 2 เติม นอนน็อก ดับบลิวเอสแอล ที่ความเข้มข้น 0.1, 0.3 และ 0.5  
phr

ชุดที่ 3 เติม วัลคาน็อก เคมี ที่ความเข้มข้น 0.1, 0.3 และ 0.5 phr  
ในแต่ละชุดทำการวน 1 ชั่วโมง เพื่อเตรียมการขึ้นรูปแบบถุง

สารจับตัว (coagulant) ที่ใช้ในแบกพิมพ์ ใช้สัดส่วนผสมดังนี้

	phr
แคลเซียมไนเตรต	10
น้ำ	50
แอลกอฮอล์	40

6. ทีนตอนและวิธีการจ่อมีอย่างทางการแพทย์ในระดับห้องปฏิบัติการดังนี้

6.1 ล้างแบกพิมพ์ด้วยสารละลาย 10% KOH และล้างออกด้วยน้ำให้สะอาดทันที

6.2 จุ่มแบกพิมพ์ลงใน 10% สารช่วยจับตัว ยกหันอย่างช้าๆ ภายในระยะเวลา 10 วินาที หมุนแบกพิมพ์ไปมาในระบบที่หมานกวน 5 รอบ วางแบกพิมพ์เพื่อให้สารจับตัวแห้งพอหมาดใช้เวลาประมาณ 10 นาที ในระหว่างที่วางทิ้งไว้ห้ามล้มเพลสบอร์ดที่มีสารช่วยจับตัวแล้ว

6.3 จุ่มแบกพิมพ์ลงในถังน้ำยาในหัวข้อ 5 เช่นเดียวกับทีนตอนการจ่อมีสารช่วยจับตัว แต่หมุนแบกพิมพ์ไปมาจนกว่าน้ำยาจะเกะแบกพิมพ์สม่ำเสมอแล้วทำการม้วนขอน

6.4 ล้างด้วยน้ำอุ่น 50 °C เป็นเวลา 3 นาที ทำให้พิมพ์แห้งและอบท่ออบกวน 70 °C เป็นเวลา 1 ชั่วโมง

6.5 ตอกถุงมืออย่างหลังจากพิมพ์แห้งคงรูปแล้วจะร้อน

6.6 นำมาทดสอบตามมาตรฐาน ASTM D3578

7. วิธีการเตรียมสารป้องกันออกซิเดชัน

เนื่องจากสารป้องกันออกซิเดชันส่วนใหญ่ไม่สามารถละลายได้ จึงเตรียมให้อยู่ในรูปการกระจาย (dispersion) หรือ อิมลชัน (emulsion) ได้ดังนี้

7.1 สารป้องกันออกซิเดชันชนิด แอนต์ออกซิเดนซ์ 2246 วิงสเต แอล วัลคานอฟ เคบี และ วัลคานอฟ เอ็มบีส่องทันເວັນຈີ เตรียมอยู่ในรูปการกระจาย 25% เนื่องจากเป็นสารป้องกันออกซิเดชันที่อยู่ในรูปของแข็ง

น้ำหนักแห้ง, g      น้ำหนักเปียก, g

สารป้องกันออกซิเดชัน	25.0	-
วัลคานอฟ แอลอาร์	1.0	-
15% แอมโนเนียมคาชีเนต	0.25	1.67
น้ำ	-	72.33

วิธีการเตรียม 15% แอมโมเนียมคาซีเนต (ammonium caseinate)

	น้ำหนักแห้ง, g	น้ำหนักเปียก, g
คาซีน	15	—
น้ำ	—	77.5
25% NH <sub>3</sub>	—	7.5

ผสมคาซีนลงในน้ำอุ่นอ่อนหมก 60–70 °C จากนั้นเติม 25% NH<sub>3</sub> พร้อมกับการวนคายในห้องอบแห้ง สำหรับการเตรียมสารบื้องกันออกซิเดชันที่อยู่ในกลุ่มการกระจาย ให้เติมสารตามสูตรลงในหม้ออบผสม (ball mill) ทำการบดเป็นเวลา 48 ชั่วโมง ที่ความเร็วรอบของหม้ออบผสม ดังสมการ (78)

$$\text{RPM ของหม้ออบ} = 0.75 \times \frac{42.5}{D} \quad (78)$$

D คือ เส้นผ่าศูนย์กลางภายในของหม้ออบผสม ในหน่วย เมตร

7.2 สารบื้องกันออกซิเดชันชนิด นอนเน็อก ดับบลิวเอสแอล เพอร์มาเน็กซ์ ดับบลิวเอสพี และ นอนแฟล็กซ์ ที อีนพี เตรียมอยู่ในรูปอิมลัชัน 50% เนื่องจากเป็นสารบื้องกันออกซิเดชันที่อยู่ในรูปเม็ดก้อน

	น้ำหนักแห้ง, g	น้ำหนักเปียก, g
<u>ส่วนผสม 1</u>		
นอนแฟล็กซ์ ที อีนพี	—	100
กรดโอลิอิก	5	—
<u>ส่วนผสม 2</u>		
15% แอมโมเนียมคาซีเนต	3	20
เบนโทไนต์	—	5
น้ำ	—	70

	น้ำหนักแห้ง, g	น้ำหนักเปียก, g
<u>ส่วนผสม 1</u>		
นอนเน็อก ดับบลิวเอสแอล หรือ เพอร์มาเน็กซ์ ดับบลิวเอสพี	—	100
กรดโอลิอิก	5	—

ส่วนผสม 2

25% NH <sub>3</sub>	5	-
น้ำ	-	90

อันส่วนผสม 1 ที่อยู่หกมิประมาณ 70 °C เทส่วนผสม 2 ลงไปพร้อมกับการด้วยไบพ็อดอย่างแรง เพื่อให้ส่วนผสมทงสองเป็นเนื้อเดียวกัน

## บทที่ ๓

### ผล

1. ผลการทดสอบสมบัติน้ำยางาทึ่ก่อนและหลังการฉายรังสีปริมาณ 8 kGy จากบริษัทผลิตน้ำยางาทึ่น 3 บริษัท ดังแสดงไว้ในตาราง 4
2. ผลการเตรียมน้ำยางารูปแบบตัวอักษรในชุดด้วยรังสีปริมาณต่าง ๆ
  - 2.1 ผลการทดลองใช้ *n*-BA 5 phr เป็นเช่นชีไทด์โซร์ โดยมี KOH เป็นสารเพิ่มความเสถียร ได้ค่าความทนแรงดึงของแผ่นฟิล์มน้ำยางาทึ่กในชุดด้วยรังสีกับปริมาณรังสีขนาดต่าง ๆ กันจาก 0-15 kGy และภาพประกอบ 3
  - 2.2 ผลการทดลองใช้ *n*-BA 5 phr ร่วมกับ HPO 0.1 phr เป็นเช่นชีไทด์โซร์ ได้สมบัติของแผ่นฟิล์มน้ำยางาทึ่กอย่างดีในชุดด้วยรังสีปริมาณต่าง ๆ และภาพประกอบ 5
3. ผลการหาเงื่อนไขการรักษาในน้ำยางารูปแบบตัวอักษร
  - 3.1 ผลการทดลองเพื่อศึกษาค่า pH และความหนืดกับเวลาการเก็บอยู่น้ำยางาทึ่นได้จากน้ำยางาทึ่กปริมาณ 8 kGy จากบริษัทเสริมพันธ์ จำกัดดังแสดงในตาราง 5 และภาพประกอบ 4
  - 3.2 ผลการทดลองเพื่อศึกษาสมบัติทางกายภาพของแผ่นฟิล์มน้ำยางาทึ่กหลังจากเก็บอยู่น้ำยางาทึ่นเวลา 0, 7, 15, 30, 45, 60 และ 85 วัน จากแหล่งผลิตน้ำยางาทึ่น 3 บริษัท ดังแสดงในตาราง 7 และภาพประกอบ 5
  - 3.3 ผลการทดลองหาชนิด และความเข้มข้นของสารป้องกันออกซิเดชันเข้มข้น 0, 0.5, 1.0 และ 1.5 phr เติมลงในน้ำยางารูปแบบตัวอักษรในชุดด้วยรังสีในปริมาณรังสี 8 kGy ทำการล้างแผ่นฟิล์มน้ำยางาทึ่กแล้วนำไปอบในอุณหภูมิ 100 °C นาน 22 ชั่วโมง เพื่อแสดงค่าความทนแรงดึง กับเวลาที่ใช้ล้างแผ่นฟิล์ม
  - 3.6 ผลการทดลองเพื่อศึกษาสมบัติทางกายภาพของแผ่นฟิล์มน้ำยางาทึ่นที่เติมสารป้องกันออกซิเดชัน ชนิด แอนต์ออกซิเดนต์ 2246 เพอร์มาเน็กซ์ ดับบลิวเอสพี วิงสเต แอล วัลคาน็อก เคบี นอนแฟลิกซ์ ที เอ็นพี นำอน็อก ดับบลิวเอสแอล และ วัลคาน็อก เอ็มบล่องทัน เอ็มจี ในน้ำยางาทึ่กปริมาณรังสี แกมน้ำ และล้างแผ่นฟิล์มน้ำยางาทึ่กแล้วนำไปอบเป็นเวลา 1 ชั่วโมงที่อุณหภูมิ 100 °C ดังแสดงในตาราง 15
4. ผลการหาเงื่อนไขการหันรูปสู่มืออย่างทางการแพทย์
  - 4.1 ผลการทดลองโดยการเลือกชนิดของสารป้องกันออกซิเดชันที่ให้สมบัติทางกายภาพของแผ่นฟิล์มน้ำยางาทึ่กสูงมา 2 ชนิด คือ วัลคาน็อก เคบี และ นำอน็อก

ดับเบิลวีเอสแอล โดยใช้ความเข้มข้น 4 ระดับคือ 0, 0.1, 0.3 และ 0.5 phr แล้วล้างแผ่นพิมพ์บางด้วยน้ำกลั่นท่ออุณหภูมิห้องเป็นเวลา 1 ชั่วโมง แสดงดังตาราง 16

- 4.2 ผลการทดลองสมบัติทางกายภาพของถุงมือยางทางการแพทย์ที่เติมสารป้องกันออกซิเดชันชนิด วัลคานีอิก เคบี และอนเนอฟ ดับเบิลวีเอสแอล ทำการล้างด้วยน้ำอุ่นอุณหภูมิ  $50^{\circ}\text{C}$  เป็นเวลา 3 นาที แสดงดังตาราง 17
- 4.3 ผลการทดลองสมบัติทางกายภาพของแผ่นพิมพ์บางที่เติมสารป้องกันออกซิเดชันชนิด วัลคานีอิก เคบี เข้มข้น 0.5 phr ทำการล้างแผ่นพิมพ์บางด้วยน้ำอุ่น  $50^{\circ}\text{C}$  ที่ระยะเวลาต่าง ๆ กันคือ 0, 1, 3, 5, 10 และ 15 นาที แสดงดังตาราง

ตาราง 4 ผลการทดสอบคุณภาพของน้ำเสียตามมาตรฐาน ISO 2004-1979(E) ก่อนฉายรังสี และหลังฉายรังสี ปริมาณ 8 kGy จากบีบีพีเอ็นดูอาร์บีเอช

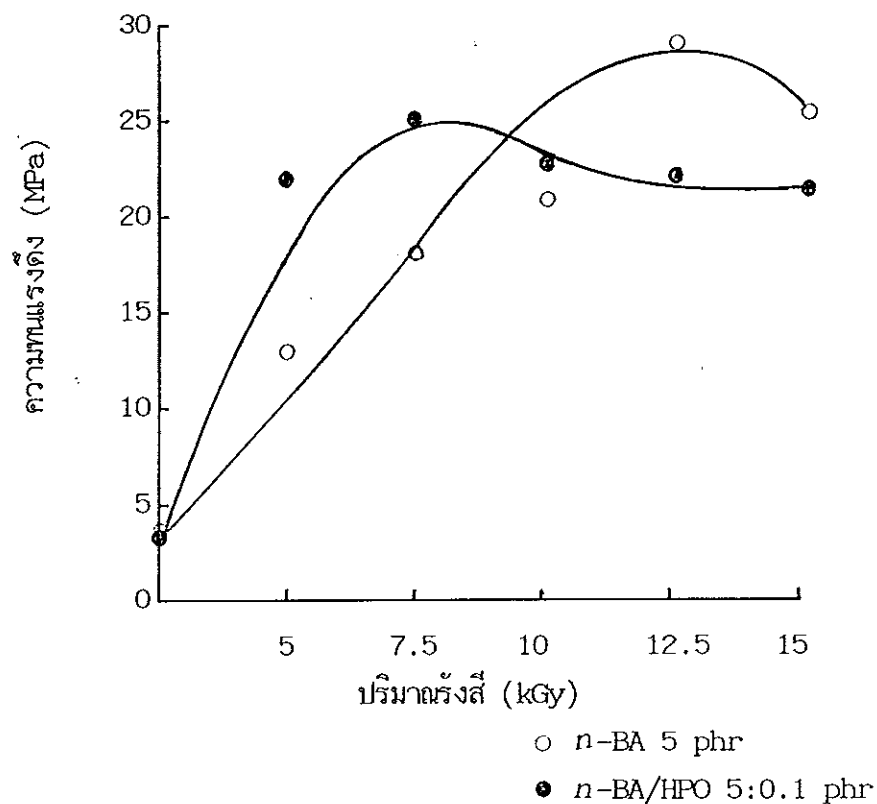
3 บรรทัด

เงื่อนไข		TSC (%)	DRC (%)	NH <sub>3</sub> (%)	MST (sec)	VFA	pH	KOH	Viscosity (cps)
ก่อนฉายรังสี	บ. จันทน์บีบีเอช จำกัด	61.57	59.73	0.70	980	0.0139	10.74	0.71	67.8
	บ. พาราเท็กซ์ จำกัด	61.72	60.19	0.80	1286	0.0695	10.73	0.54	98.7
	บ. เศรีเมฆนว จำกัด	62.15	60.75	0.58	540	0.0145	10.38	0.51	70.1
หลังฉายรังสี*	บ. จันทน์บีบีเอช จำกัด	54.53	52.66	0.60	1422	0.0586	9.98	1.08	28.5
	บ. พาราเท็กซ์ จำกัด	53.05	51.20	0.57	2275	0.0519	10.36	1.08	27.9
	บ. เศรีเมฆนว จำกัด	53.05	50.88	0.38	1210	0.0592	10.12	1.17	26.4

\* เจือจางให้ DRC 50% ด้วยสารตัวละลายน 1% NH<sub>3</sub>

ตาราง 5 ค่าความหนาแรงดึงของแผ่นฟิล์มยาง ในหน่วย เมกกะพาสคัล (MPa) โดยใช้ *n*-BA 5 phr และ *n*-BA 5 phr ร่วมกับ HPO 0.1 phr

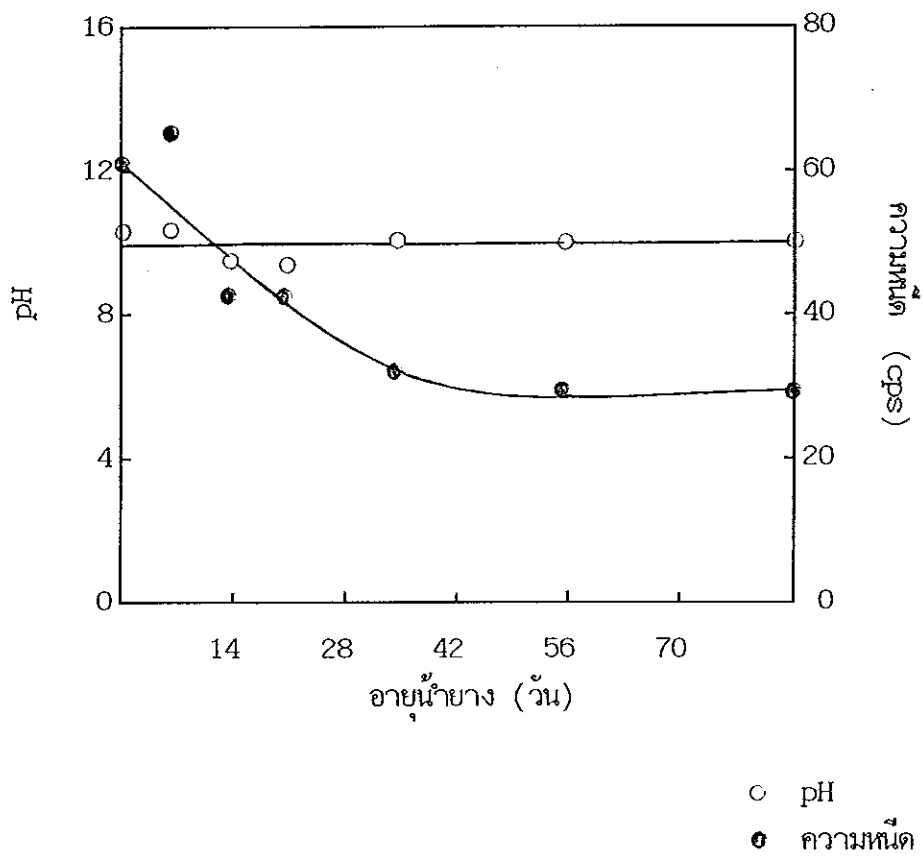
เบร์โนวี่ ปริมาณ (kGy)	0	5	7.5	10	12.5	15
<i>n</i> -BA 5 phr	3.81	13.06	18.00	21.17	29.17	25.31
<i>n</i> -BA 5 phr/ HPO 0.1 phr	3.60	22.37	25.02	22.74	21.68	21.47



ภาพประกอบ 3 แสดงความสัมพันธ์ระหว่างความต้านทาน (MPa) ของแผ่นพีวีเอที่เตรียมจากน้ำยาบ่มที่คลายรังสีด้วยปริมาณต่าง ๆ

ตาราง 6 ความสัมพันธ์ระหว่าง ค่า pH และความหนืด กับเวลาการเก็บอาบน้ำย่างที่ระยะเวลาต่าง ๆ กัน จากน้ำย่างฉายรังสี ปริมาณ 8 kGy จากบริษัทเสริมพัฟฟ์ จำกัด

อายุน้ำย่าง (วัน)	pH	ความหนืด
0	10.12	61.2
6	10.16	60.5
14	9.34	41.2
21	10.00	41.4
35	9.93	32.7
56	9.87	28.7
84	9.90	27.6



ภาพประกอบ 4 ความสัมพันธ์ระหว่างการเก็บอายุน้ำยางกับ ค่า pH และ ความหนืด จากบริษัท เสริมพันธ์ จำกัด

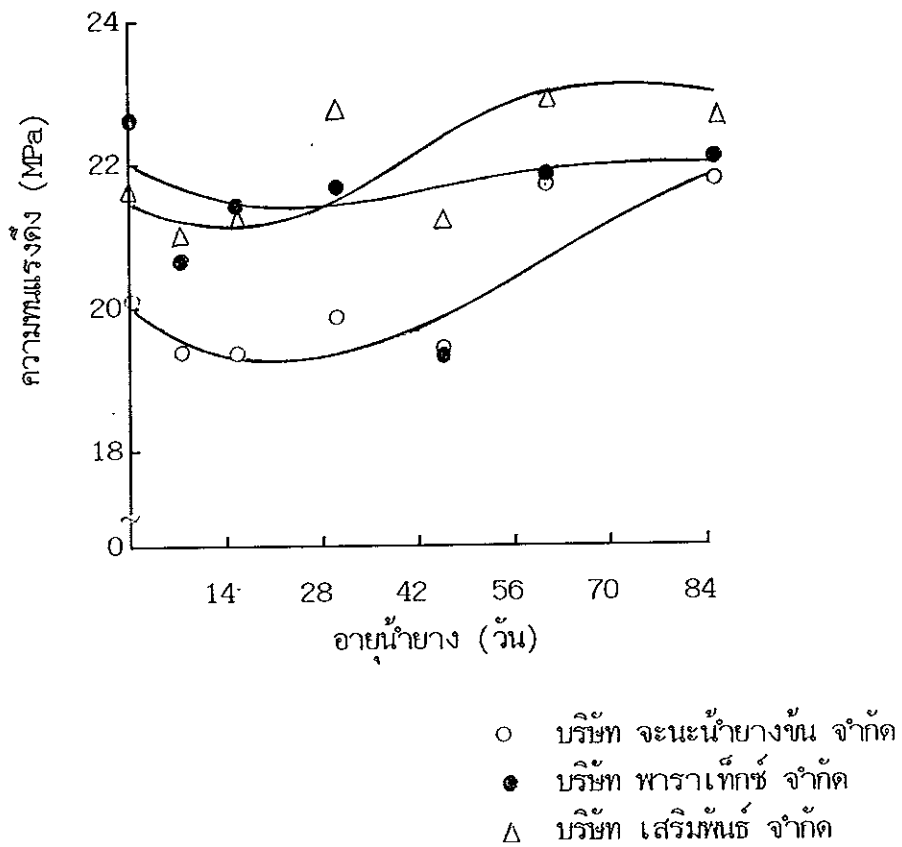
ตาราง 7 ผลการทดสอบสมบัติทางกายภาพของแผ่นพิมพ์ยางหลังจากการเก็บอุบัติภัย (storage time) ที่ระยะเวลาต่าง ๆ กัน จากแหล่งผลิตน้ำยางขัน 3 บริษัท

อายุน้ำยาง (วัน)	นิ่มดูลัส 300%			นิ่มดูลัส 600%			ความหนาแนงคง (MPa)			ความยาวยืดเมื่อขาด (%)		
	A	B	C	A	B	C	A	B	C	A	B	C
0	1.04	1.27	0.95	3.12	4.54	4.27	20.12	22.67	21.58	900	875	900
7	1.33	1.02	0.84	3.12	4.95	4.06	19.37	20.70	21.00	850	850	925
15	1.05	0.98	0.63	3.22	4.60	2.08	19.36	21.41	21.26	850	838	961
30	0.95	0.94	0.64	3.65	3.43	2.14	19.86	21.66	22.73	863	850	934
45	0.81	0.96	0.68	3.26	4.46	2.56	19.46	19.40	21.19	850	825	966
60	0.94	0.95	0.64	3.88	3.88	2.17	21.63	21.87	22.84	875	850	966
85	0.75	0.84	0.57	3.30	3.30	1.95	21.78	22.13	22.73	900	900	934

A บริษัท จะนะน้ำยางขัน จำกัด

B บริษัท พาราเท็กซ์ จำกัด

C บริษัท เสริมพันธ์ จำกัด



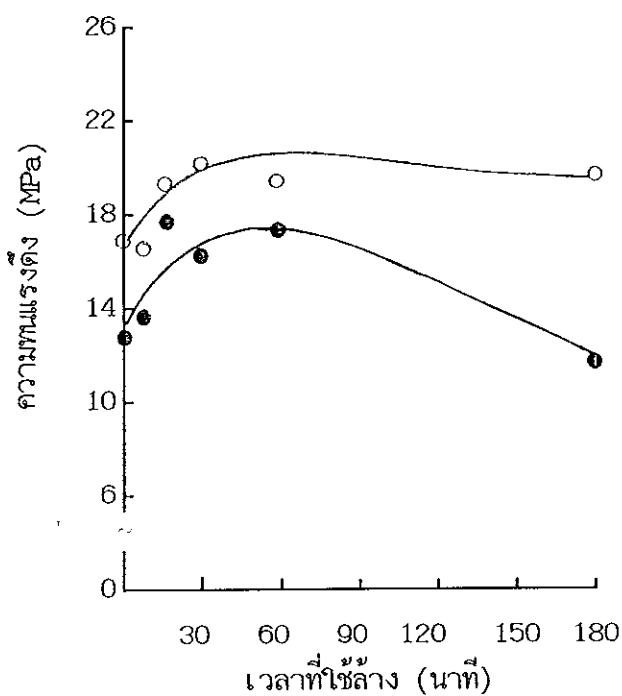
ภาพประกอบ 5 แสดงสมบัติความหน้างรังดึงของแผ่นฟิล์มยางจากการฉบับรังสีที่ระยะเวลาต่าง ๆ กัน

ตาราง 8 ผลการทดสอบสมบัติทางกายภาพของแผ่นพิมพ์ยางที่เติมสารป้องกันออกซิเดชัน ชนิด แอนต์ออกซิไดน์ 2246 เข้มข้น 0, 0.5, 1.0 และ 1.5 phr ทำการล้างด้วยน้ำกลืนที่เวลาต่าง ๆ กัน

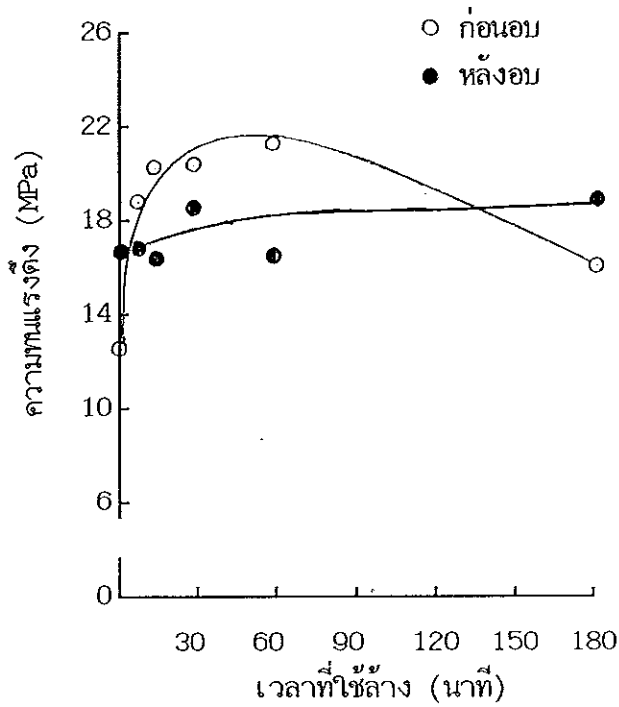
ความเข้มข้น (phr)	เวลาที่ใช้ล้าง (นาที)	นิ่มดูลัส 300%		นิ่มดูลัส 600%		ความหนาแนงดึง (MPa)		ความยืดเมื่อขาด (%)	
		ก่อนอบ	หลังอบ	ก่อนอบ	หลังอบ	ก่อนอบ	หลังอบ	ก่อนอบ	หลังอบ
0	0	0.56	0.59	1.64	2.24	16.76	12.82	962	878
	1	0.60	0.70	2.48	2.46	16.48	17.71	871	877
	3	0.61	0.68	3.27	2.78	17.32	13.54	860	872
	5	0.61	0.69	2.91	2.94	16.86	13.51	877	936
	15	0.69	0.73	2.72	2.59	19.35	17.47	886	955
	30	0.81	0.89	4.71	3.89	20.00	16.40	867	785
	60	0.81	0.80	4.51	3.09	19.38	17.38	854	867
	180	0.77	1.02	4.09	4.24	19.73	11.62	865	768
0.5	0	0.55	0.54	1.89	1.59	12.55	16.69	869	972
	1	0.55	0.61	1.27	1.19	14.30	14.47	931	967
	3	0.74	0.64	3.01	1.77	20.24	16.50	880	1016
	5	0.60	0.58	1.68	1.48	18.84	16.94	926	1012
	15	0.61	0.63	2.15	1.02	20.32	16.18	877	1006
	30	0.65	0.72	2.13	2.50	20.32	18.52	909	983
	60	0.76	0.67	2.68	1.99	21.28	16.44	894	965
	180	0.53	0.55	1.59	1.41	16.17	18.79	941	963

ตาราง 8 ต่อ

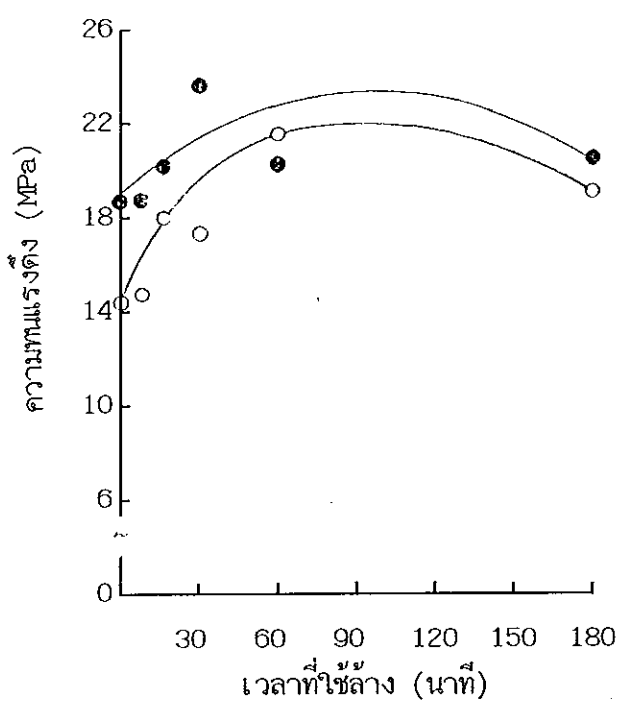
ความเข้มข้น (phr)	เวลาที่ใช้ล้าง (นาที)	โมดูลัส 300%		โมดูลัส 600%		ความหนาแนงดึง (MPa)		ความยาวยืดเมื่อขาด (%)	
		ก่อนอบ	หลังอบ	ก่อนอบ	หลังอบ	ก่อนอบ	หลังอบ	ก่อนอบ	หลังอบ
1.0	0	0.69	0.73	1.99	2.43	14.29	18.69	886	1003
	1	0.56	0.67	1.53	2.55	14.59	15.84	909	955
	3	0.84	0.60	3.85	1.79	14.52	15.90	779	959
	5	0.55	0.54	1.51	1.57	14.95	18.63	903	985
	15	0.61	0.59	1.73	1.63	18.07	20.44	932	1036
	30	0.67	0.69	2.49	1.96	17.37	23.72	873	1011
	60	0.86	0.69	4.00	2.27	21.54	20.13	863	975
	180	0.83	0.70	3.06	1.97	19.16	20.86	879	1041
1.5	0	0.53	0.69	1.53	2.47	14.56	16.38	916	915
	1	0.55	0.53	1.60	1.24	16.79	14.90	927	948
	3	0.56	0.53	1.20	1.19	10.30	15.11	830	1012
	5	0.79	0.58	2.70	2.27	19.60	20.93	882	904
	15	0.55	0.60	1.56	1.60	15.48	20.50	921	998
	30	0.71	0.68	2.46	2.00	18.99	21.21	897	997
	60	0.86	0.76	3.86	2.59	23.48	17.93	905	965
	180	0.61	0.65	2.80	1.73	17.42	19.55	846	970



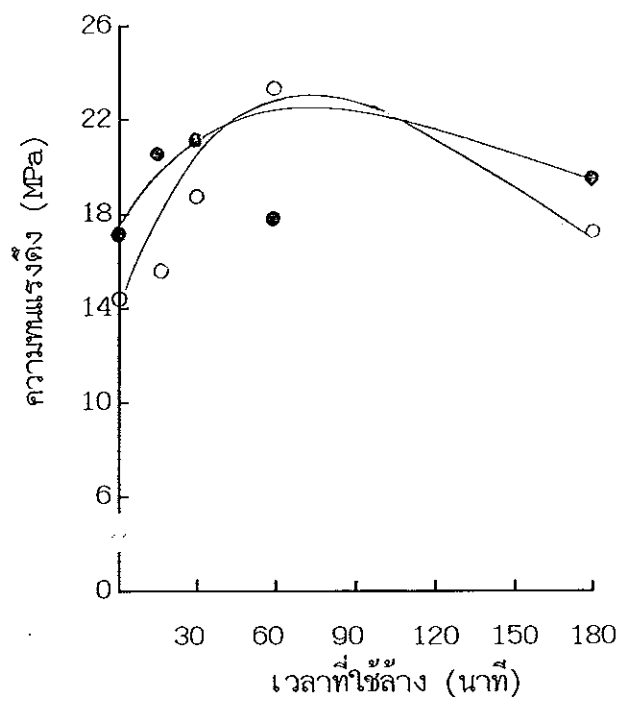
(a) 0 phr



(b) 0.5 phr



(c) 1.0 phr



(d) 1.5 phr

ภาคประกอบ 6 ความสัมพันธ์ระหว่างเวลาที่ใช้ล้างแผ่นพิมพ์กับความแรงดึง เตรียมจากน้ำยาหัวละลายในเซ็ตวาร์ปสี ด้วยการเติมสารป้องกันออกซิเดชันนิก แอนต์ออกซิแดนซ์ 2246 ความเข้มข้นต่ำ ๆ กัน

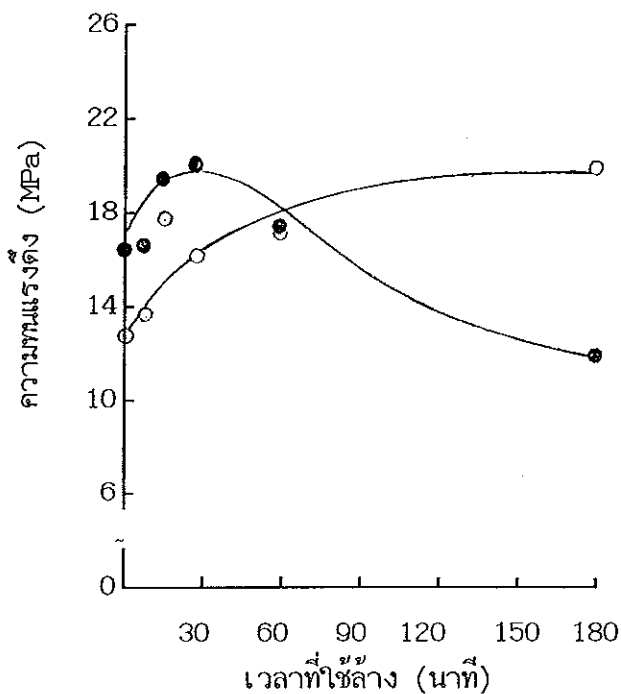
ตาราง 9

ผลการทดสอบสมบัติทางกายภาพของพลาสติกที่ต้มสีรับอุ่นและการอ่านเดือน ชนิด เอฟอร์มาโนนิก ด้วยวิเคราะห์ ไขมัน 0, 0.5, 1.0 และ 1.5 phr ทำการถังความดันน้ำหนัก เวลา 7 วัน

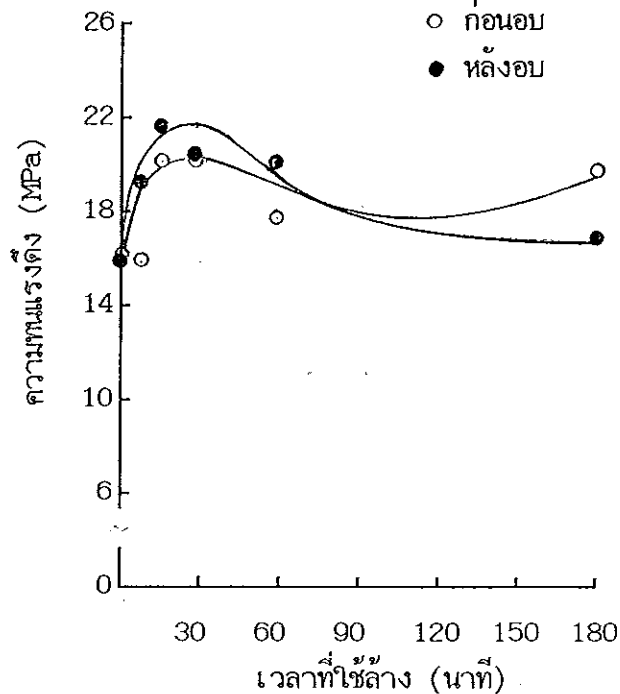
ความเข้มข้น (phr)	เวลาที่ใช้ (นาที)	โมดูลัส 300%			โมดูลัส 600%			ความยืดหยุ่นและแรงดึง (MPa)			ความยืดหยุ่นและแรงดึง (%)		
		ก่อนอบ	หลังอบ	ก่อนอบ	หลังอบ	ก่อนอบ	หลังอบ	ก่อนอบ	หลังอบ	ก่อนอบ	หลังอบ	ก่อนอบ	
0	0	0.48	0.48	1.19	1.04	12.89	16.76	992	992	1128	1128	100	
	1	0.49	0.47	1.31	0.86	15.71	16.48	968	968	1079	1079	98	
	3	0.49	0.50	1.07	0.99	13.54	17.32	1006	1006	1068	1068	96	
	5	0.47	0.52	0.98	1.36	13.51	16.86	1026	1026	1083	1083	94	
	15	0.55	0.50	1.88	1.56	17.47	19.35	980	980	1055	1055	92	
	30	0.53	0.64	1.29	1.75	16.40	20.00	1000	1000	1012	1012	90	
	60	0.55	0.58	1.67	1.43	17.23	17.38	1031	1031	961	961	88	
	180	0.67	0.58	1.99	1.39	19.73	11.62	965	965	943	943	86	
	0.5	0	0.58	0.55	1.89	1.70	16.11	15.73	1079	1079	951	951	84
		1	0.52	0.54	1.19	1.31	15.96	18.35	1051	1051	1021	1021	82
		3	0.49	0.51	1.20	1.32	13.49	17.01	1014	1014	968	968	80
		5	0.49	0.56	1.10	1.73	15.56	19.18	1015	1015	991	991	78
		15	0.70	0.64	1.11	1.75	20.15	21.54	1039	1039	936	936	76
		30	0.67	0.61	1.53	1.68	20.43	20.84	1047	1047	933	933	74
		60	0.60	0.56	1.73	1.48	17.79	19.95	1041	1041	955	955	72
		180	0.70	0.60	1.85	1.40	19.61	16.84	1509	1509	998	998	70

ตาราง ๙ ต่อ

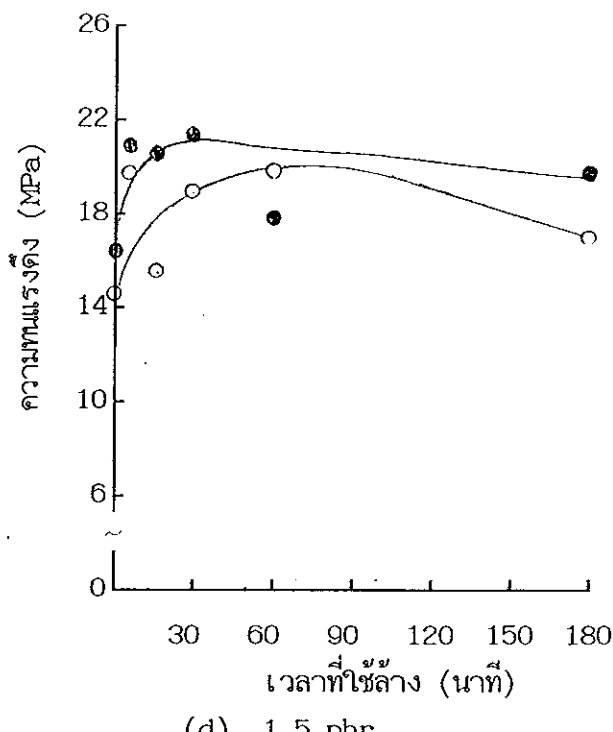
ความเข้มข้น (phr)	เวลาที่ใช้ล้าง (นาที)	โนมูลัส 300%		โนมูลัส 600%		ความหนาแนงดึง (MPa)		ความยาวดึงเมื่อขาด (%)	
		ก่อนอบ	หลังอบ	ก่อนอบ	หลังอบ	ก่อนอบ	หลังอบ	ก่อนอบ	หลังอบ
1.0	0	0.69	0.73	1.99	2.43	14.29	18.69	886	1003
	1	0.56	0.67	1.53	2.55	14.59	15.84	909	955
	3	0.84	0.60	3.85	1.79	14.52	15.90	779	959
	5	0.55	0.54	1.51	1.57	14.95	18.63	903	985
	15	0.61	0.59	1.73	1.63	18.07	20.44	932	1036
	30	0.67	0.69	2.49	1.96	17.37	23.72	873	1011
	60	0.86	0.69	4.00	2.27	21.54	20.13	863	975
	180	0.83	0.70	3.06	1.97	19.16	20.86	879	1041
1.5	0	0.53	0.69	1.53	2.47	14.56	16.38	916	915
	1	0.55	0.53	1.60	1.24	16.79	14.90	927	948
	3	0.56	0.53	1.20	1.19	10.30	15.11	830	1012
	5	0.79	0.58	2.70	2.27	19.60	20.93	882	904
	15	0.55	0.60	1.56	1.60	15.48	20.50	921	998
	30	0.71	0.68	2.46	2.00	18.99	21.21	897	997
	60	0.86	0.76	3.86	2.59	19.86	17.93	905	965
	180	0.61	0.65	2.80	1.73	17.42	19.55	846	970



(a) 0 phr



(b) 0.5 phr



(c) 1.0 phr

(d) 1.5 phr

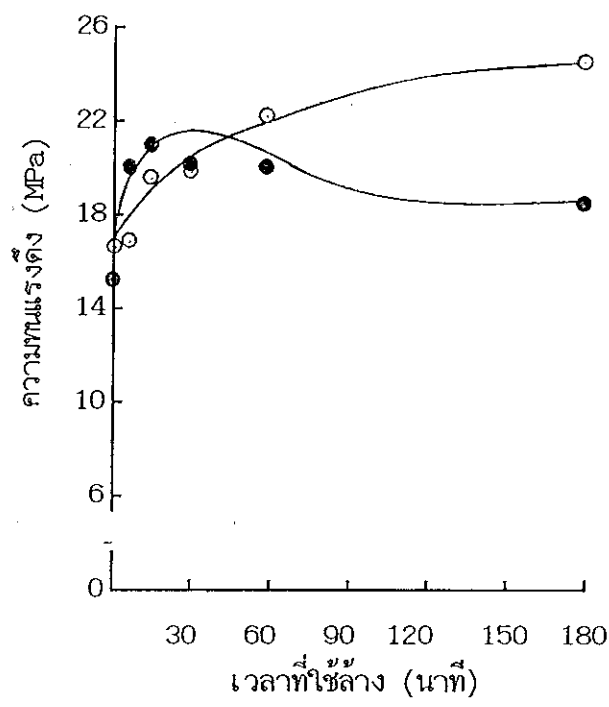
ภาพประกอบ 7 ความสัมพันธ์ระหว่างเวลาที่ใช้ล้างแผ่นฟิล์มบางกับความหนาเร่งดึง เครื่องจากน้ำยาหัวละลายในชุดรังสี ด้วยการเติมสารป้องกันออกซิเดชันชนิด เทอร์มาเนกซ์ ดับบลิวเอสพี ความเข้มข้นต่าง ๆ กัน

ตาราง 10 ผลการทดสอบคุณภาพของผังหินยางที่ต้มสารป้องกันออกซิเดชัน ชนิด วิงเต้และเข็ม 0, 0.5, 1.0 และ 1.5 phr ที่การถูกดูบ้ำในกาลังไฟ เวลา 7 วัน

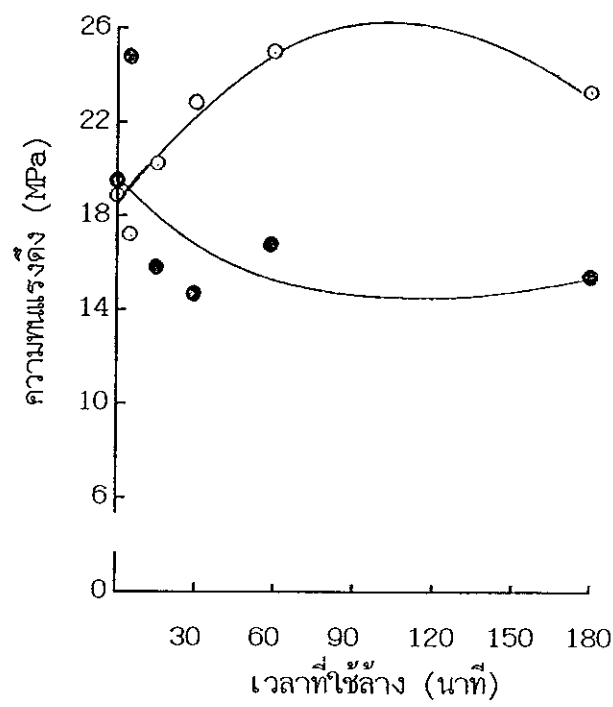
ความเข้มข้น (phr)	เวลาที่ทดสอบ (นาที)	ไมโครส์ 300%		ไมโครส์ 600%		ความหนาแน่นของ (MPa)	ความบางของเดเมอชาด (%)
		ก่อนอบ	หลังอบ	ก่อนอบ	หลังอบ		
0	0	0.53	0.71	1.59	1.75	16.61	15.08
	1	0.56	0.63	1.73	2.04	17.44	18.47
	3	0.57	0.84	2.05	2.12	16.39	15.80
	5	0.54	0.62	1.35	2.15	17.30	20.23
	15	0.56	0.75	2.03	2.76	19.62	21.04
	30	0.71	0.74	2.46	2.78	19.94	20.23
	60	0.74	0.74	2.64	2.72	22.43	20.07
	180	0.71	0.60	2.90	2.63	24.50	18.46
							936
							854
0.5	0	0.60	0.60	1.71	2.11	18.87	19.39
	1	0.61	0.56	1.91	2.19	19.22	14.05
	3	0.68	0.56	2.68	1.76	19.67	18.86
	5	0.57	0.72	1.76	3.27	17.42	24.62
	15	0.86	0.71	3.82	2.71	20.18	15.74
	30	0.85	0.78	3.75	3.35	22.71	14.59
	60	0.79	0.67	3.29	2.68	24.92	16.77
	180	0.83	0.73	4.46	2.75	23.29	15.47
							983
							895

ตาราง 10 ต่อ

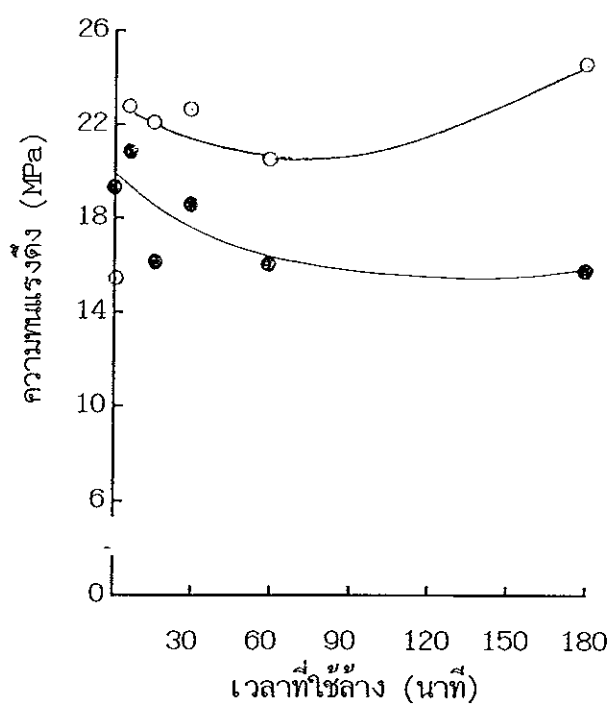
ความเข้มข้น (phr)	เวลาที่ใช้ถัง (นาที)	นิมคูลัส 300%		นิมคูลัส 600%		ความหนาแนงดึง (MPa)		ความยาวดเมื่อขาด (%)	
		ก่อนอบ	หลังอบ	ก่อนอบ	หลังอบ	ก่อนอบ	หลังอบ	ก่อนอบ	หลังอบ
1.0	0	0.50	0.58	1.44	2.20	15.36	19.10	957	1028
	1	0.65	0.70	2.63	2.69	20.94	20.26	890	974
	3	0.54	0.61	2.10	2.58	18.91	21.63	916	1214
	5	0.77	0.65	3.46	2.27	22.71	20.79	901	946
	15	0.80	0.68	3.36	2.52	22.06	16.15	900	885
	30	0.88	0.73	3.83	2.92	22.84	18.57	878	896
	60	0.71	0.76	3.19	3.04	20.56	16.05	891	874
	180	0.83	0.75	3.95	3.41	24.69	15.57	900	848
1.5	0	0.58	0.59	2.01	2.12	19.03	19.91	928	946
	1	0.73	0.63	3.15	2.06	22.62	19.46	900	959
	3	0.77	0.59	2.98	2.09	20.95	20.42	1243	957
	5	0.70	0.71	2.86	3.12	21.02	17.81	899	884
	15	0.75	0.69	2.50	2.41	22.89	20.19	912	945
	30	0.86	0.76	3.85	3.52	24.88	15.15	894	844
	60	0.78	0.69	3.78	2.80	22.34	15.14	1084	873
	180	0.83	0.61	3.06	2.10	18.37	15.88	846	921



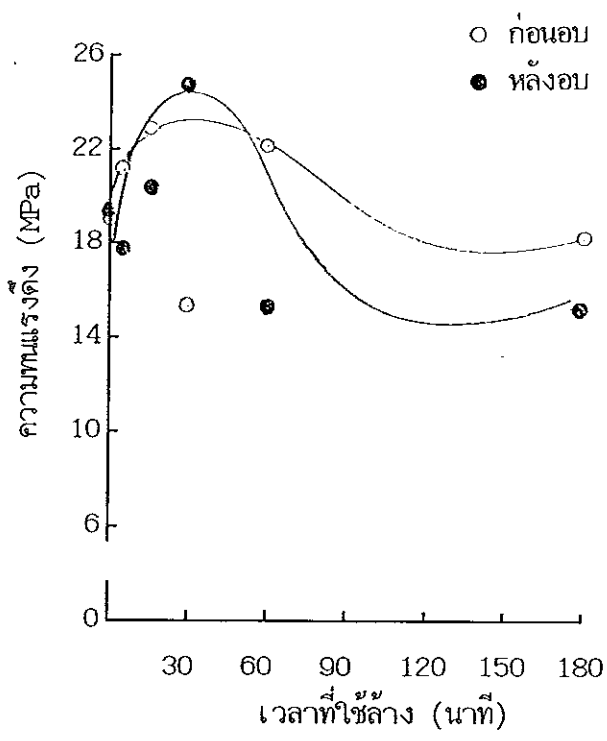
(a) 0 phr



(b) 0.5 phr



(c) 1.0 phr



(d) 1.5 phr

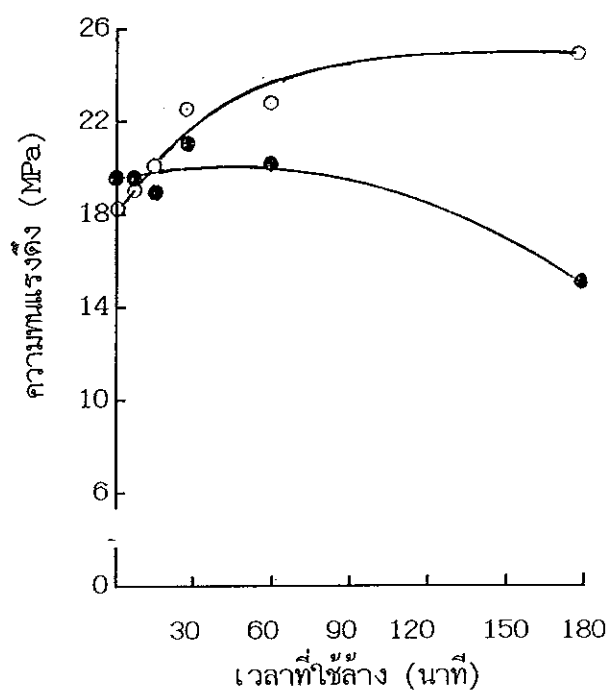
ภาพประกอบ 8 ความสัมพันธ์ระหว่างเวลาที่ใช้ล้างแผ่นเกลิมยางกับความทนแรงดึง เตรียมจากน้ำบางวัลภาไนซ์ด้วยรังสี ด้วยการเติมสารป้องกันออกซิเดชันชนิด วิงสเต แลล ความเข้มข้นต่าง ๆ กัน

ตาราง 11 ผลการทดสอบสมบัติทางกายภาพของแผ่นพิมพ์ยางที่เติมสารป้องกันออกซิเดชัน ชนิด นตอนแพล็กซ์ ทีอี็พี เจ้มชัน 0, 0.5, 1.0 และ 1.5 phr ทำการล้างด้วยน้ำกลันที่เวลาต่าง ๆ กัน

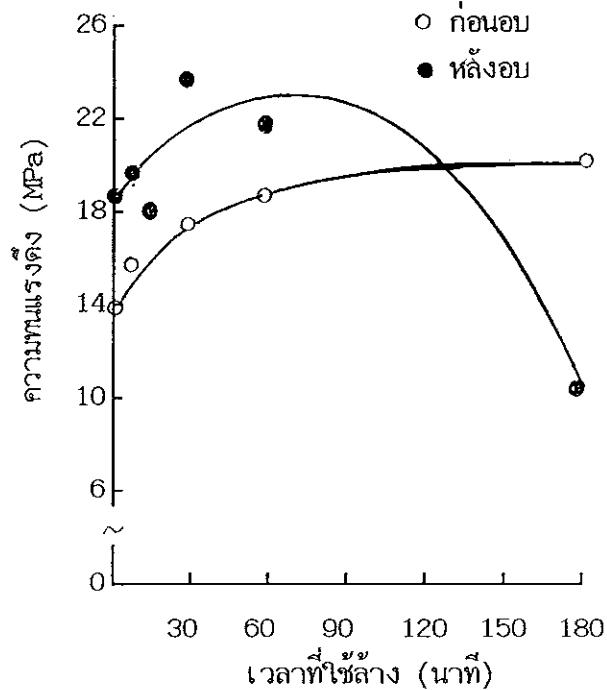
ความเจ้มชัน (phr)	เวลาที่ใช้ล้าง (นาที)	โนดูลัส 300%		โนดูลัส 600%		ความหนาแรงดึง (MPa)		ความยืดเมื่อขาด (%)	
		ก่อนอบ	หลังอบ	ก่อนอบ	หลังอบ	ก่อนอบ	หลังอบ	ก่อนอบ	หลังอบ
0	0	0.49	0.48	1.08	1.09	18.03	19.73	1025	1154
	1	0.51	0.47	1.27	0.93	16.16	19.92	1008	1142
	3	0.49	0.45	1.19	0.93	18.11	17.73	999	1109
	5	0.53	0.51	1.23	1.16	19.00	19.71	1000	1142
	15	0.51	0.50	1.23	1.13	20.22	18.98	1027	1079
	30	0.60	0.51	1.85	1.11	22.55	21.14	997	1105
	60	0.66	0.53	2.50	1.25	22.84	20.07	966	1119
	180	0.71	0.60	2.90	1.55	24.50	14.97	936	1024
0.5	0	0.50	0.51	1.32	1.50	13.98	18.54	1017	978
	1	0.51	0.57	1.25	1.71	12.14	16.51	981	998
	3	0.55	0.56	1.64	1.73	17.46	22.60	963	1051
	5	0.50	0.50	1.14	1.29	15.70	19.62	1014	1077
	15	0.55	0.61	1.57	2.11	17.97	17.98	980	962
	30	0.53	0.53	1.39	1.42	17.47	23.77	981	1131
	60	0.61	0.62	1.83	1.95	18.53	21.61	982	1037
	180	0.65	0.61	2.38	1.90	20.23	10.03	942	882

ตาราง 11 | ต่อ

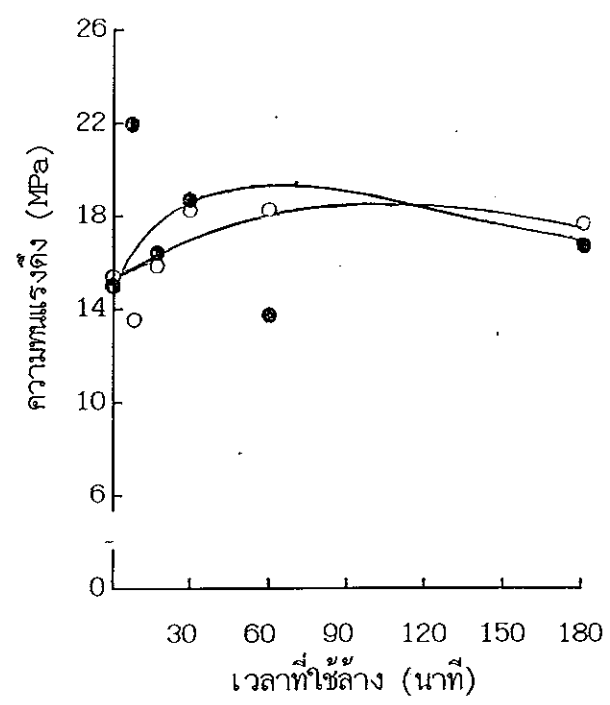
ความเข้มข้น (phr)	เวลาที่ใช้คลัง (นาที)	นิมคูลส์ 300%		นิมคูลส์ 600%		ความหน้างรังดึง (MPa)		ความยาวคงเดิม (%)	
		ก่อนอบ	หลังอบ	ก่อนอบ	หลังอบ	ก่อนอบ	หลังอบ	ก่อนอบ	หลังอบ
1.0	0	0.48	0.51	1.12	1.19	15.08	14.26	985	990
	1	0.49	0.55	1.17	1.75	13.93	17.24	982	983
	3	0.51	0.62	1.44	1.90	13.46	22.22	962	1009
	5	0.52	0.51	1.42	1.49	13.77	21.97	957	1033
	15	0.53	0.55	1.47	1.89	15.71	16.17	982	963
	30	0.59	0.54	1.99	1.75	18.04	18.74	916	1026
	60	0.57	0.67	1.67	2.16	18.15	13.49	975	861
	180	0.60	0.65	2.03	2.08	17.71	16.50	931	907
1.5	0	0.51	0.52	1.25	1.32	12.14	17.92	981	1009
	1	0.51	0.54	1.28	1.54	13.38	18.52	946	1033
	3	0.51	0.61	1.27	2.29	15.87	17.89	1035	924
	5	0.52	0.56	1.61	1.77	14.77	17.24	948	1030
	15	0.58	0.57	2.43	1.73	15.83	18.83	930	969
	30	0.59	0.50	1.99	1.27	17.79	18.40	943	1048
	60	0.51	0.64	1.31	2.30	15.54	19.35	985	1052
	180	0.64	0.56	2.48	1.65	16.11	19.07	900	993



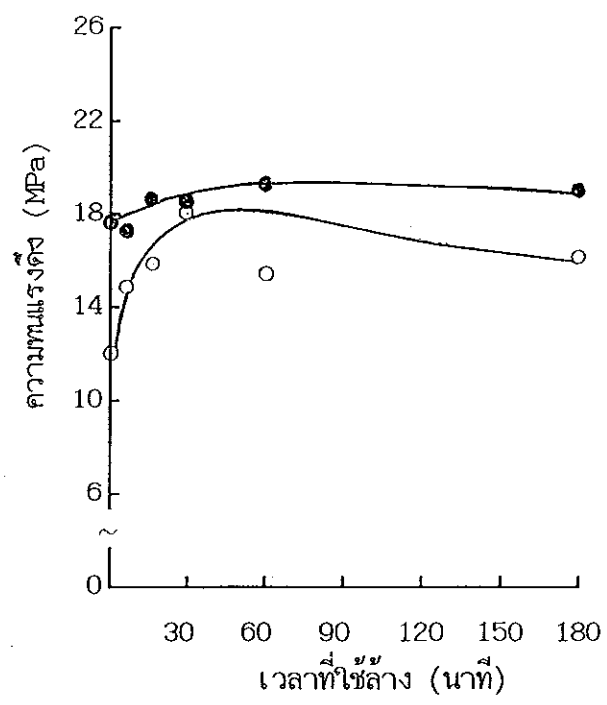
(a) 0 phr



(b) 0.5 phr



(c) 1.0 phr



(d) 1.5 phr

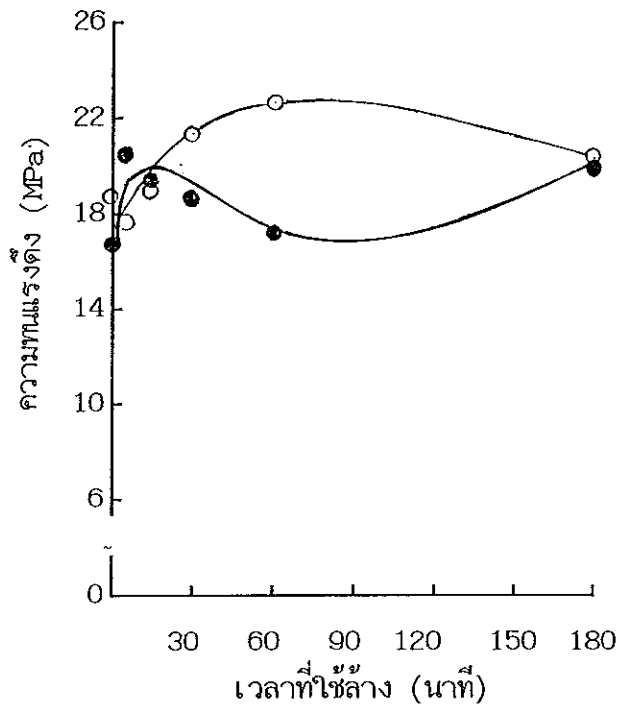
ภาพประกอบ 9 ความสัมพันธ์ระหว่างเวลาที่ใช้ล้างแผ่นฟิล์มยางกับความทนแรงดึง เปรียบเทียบกับ น้ำยาหงายน้ำซึ่ด้วยรังสี ด้วยการเติมสารป้องกันออกซิเดชันชนิด อนแทลิกซ์ ที อีนพี ความเข้มข้นต่าง ๆ กัน

ตาราง 12 ผลการทดสอบสมบัติทางกายภาพของแผ่นพิมพ์ยางที่เติมสารป้องกันออกซิเดชัน ชนิด นอนน็อก ดับบลิวเอสแอล เข้มข้น 0, 0.5, 1.0 และ 1.5 phr ทำการล้างด้วยน้ำกลืนที่เวลาต่าง ๆ กัน

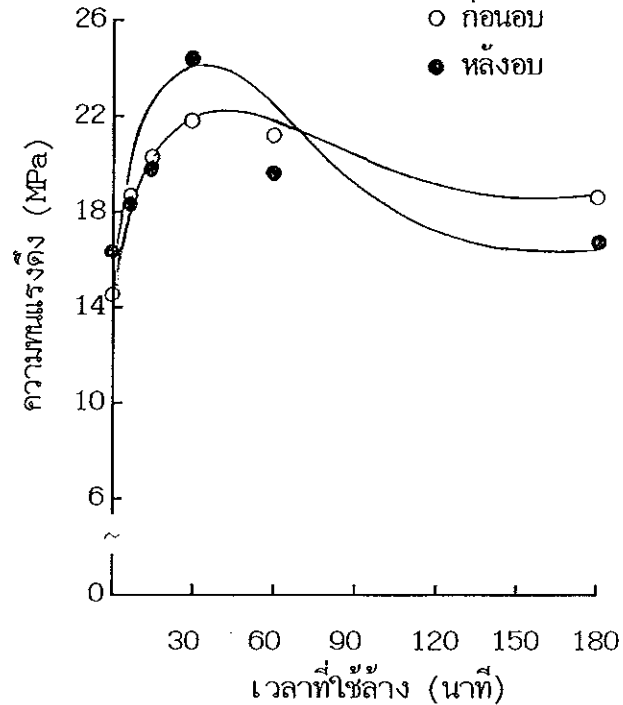
ความเข้มข้น (phr)	เวลาที่ใช้ล้าง (นาที)	นิ่งดูดลักษณะ 300%		นิ่งดูดลักษณะ 600%		ความหนาแนง (MPa)		ความยืดเมื่อขาด (%)	
		ก่อนอบ	หลังอบ	ก่อนอบ	หลังอบ	ก่อนอบ	หลังอบ	ก่อนอบ	หลังอบ
0	0	0.51	0.49	1.26	1.15	18.74	16.82	1051	1064
	1	0.50	0.50	1.33	1.10	19.21	17.78	1036	1039
	3	0.54	0.49	1.57	1.19	16.78	19.45	959	1176
	5	0.51	0.51	1.58	1.24	17.61	20.63	966	1096
	15	0.51	0.49	1.41	1.08	19.25	19.67	933	1028
	30	0.56	0.63	1.75	1.92	21.43	18.60	1020	973
	60	0.64	0.58	2.65	1.51	22.73	17.44	934	1085
	180	0.57	0.63	1.95	1.75	20.41	19.83	952	1087
0.5	0	0.54	0.50	1.54	1.14	14.63	16.48	952	1079
	1	0.49	0.54	1.07	1.45	17.13	17.00	1002	1051
	3	0.52	0.46	1.69	1.50	18.25	20.56	979	1064
	5	0.52	0.52	1.35	1.43	18.76	18.34	1024	997
	15	0.52	0.49	1.22	1.12	20.21	19.85	1032	1082
	30	0.55	0.64	1.30	2.11	21.89	24.47	967	1055
	60	0.55	0.66	1.70	2.22	21.14	19.67	993	952
	180	0.62	0.68	2.20	2.50	18.78	16.87	955	853

ตาราง 12 ต่อ

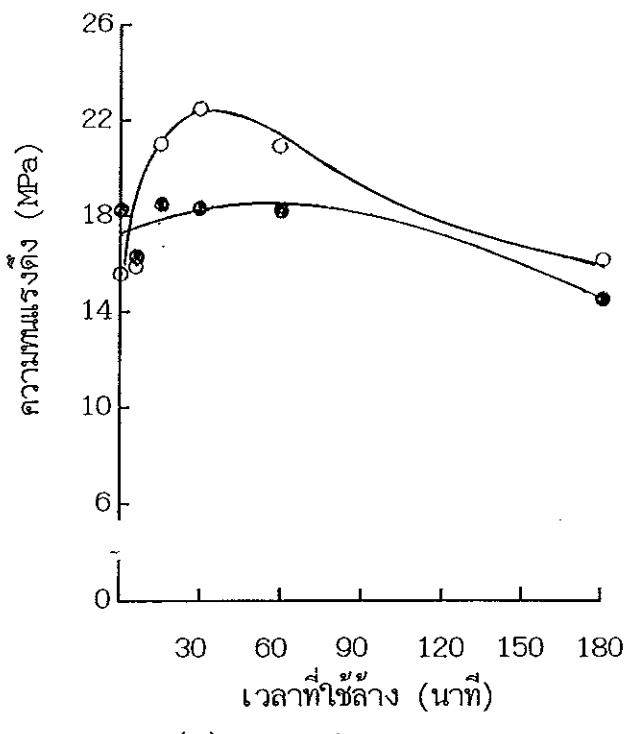
ความเข้มข้น (phr)	เวลาที่ใช้คลัง (นาที)	โนมูลัส 300%		โนมูลัส 600%		ความหนาแนงดึง (MPa)		ความยาวดีเมื่อขาด (%)	
		ก่อนอบ	หลังอบ	ก่อนอบ	หลังอบ	ก่อนอบ	หลังอบ	ก่อนอบ	หลังอบ
1.0	0	0.49	0.48	1.22	1.10	15.76	18.25	988	1056
	1	0.46	0.50	0.93	1.39	17.21	18.18	1077	1056
	3	0.51	0.50	1.41	1.37	20.66	19.63	982	1043
	5	0.51	0.51	1.25	1.48	16.19	16.91	1041	977
	15	0.55	0.52	1.82	1.30	21.22	18.73	931	1029
	30	0.51	0.55	1.19	1.53	22.46	18.46	1029	1043
	60	0.56	0.64	1.71	2.29	21.03	18.29	1018	971
	180	0.64	0.68	2.73	1.96	17.16	14.63	915	859
1.5	0	0.49	0.50	1.18	1.23	14.45	19.25	974	1067
	1	0.48	0.52	1.27	1.46	15.48	19.95	974	1026
	3	0.53	0.48	1.33	1.15	17.09	19.42	995	1076
	5	0.51	0.52	1.29	1.48	18.35	19.85	971	1024
	15	0.54	0.53	1.81	1.43	22.47	23.32	950	1088
	30	0.55	0.52	1.51	1.25	22.40	23.14	1024	1080
	60	0.59	0.57	1.84	1.69	23.32	19.54	967	1016
	180	0.63	0.58	1.98	1.64	19.08	16.61	989	934



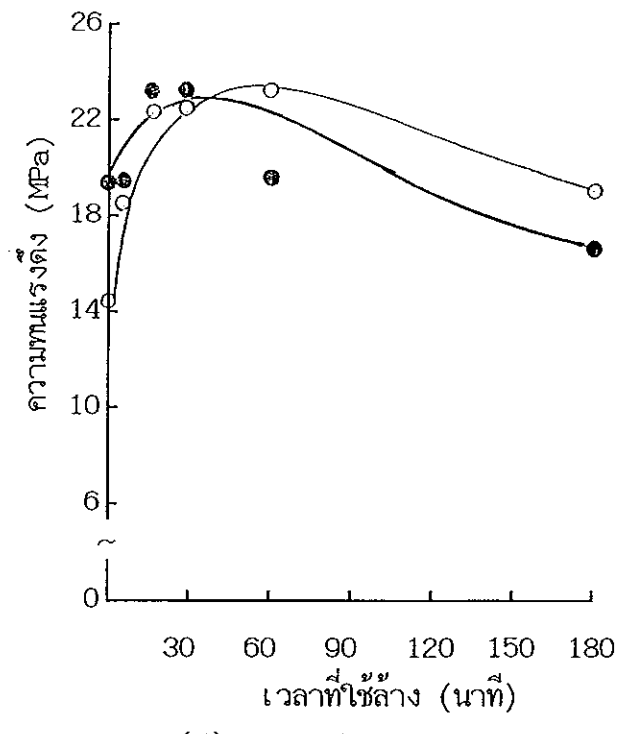
(a) 0 phr



(b) 0.5 phr



(c) 1.0 phr



(d) 1.5 phr

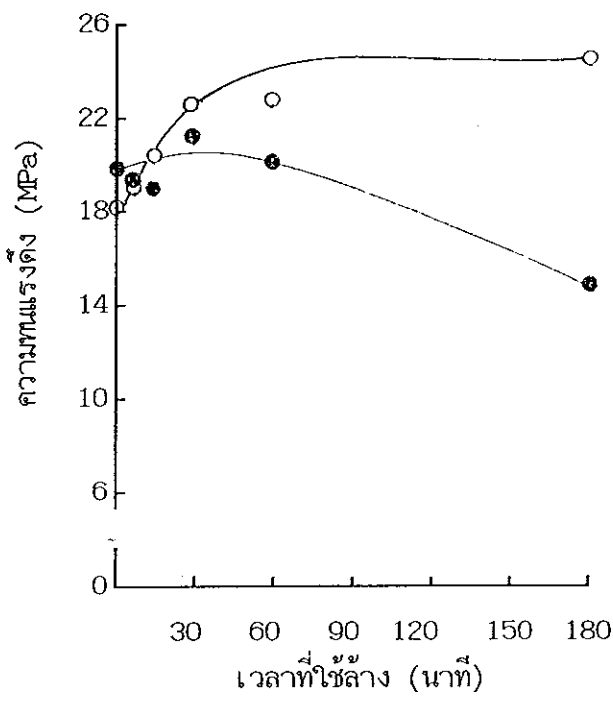
ภาพประกอบ 10 ความสัมพันธ์ระหว่างเวลาที่ใช้ล้างแผ่นก้อนย้อมบานกับความแรงดึง เตรียมจากน้ำยาางวัลค่าในชุดวาร์ปสี ด้วยการเติมสารบอ้งกันออกซิเดชันชนิด นอนนีอก ดับบลิวเอสแอล ความเข้มข้นต่าง ๆ กัน

ตาราง 13 ผลการทดสอบสมบัติของแผ่นพีล์มที่เติมสารป้องกันออกซิเดชันชนิด วัลคานิค เคเม่ เจ็มชัน 0, 0.5, 1.0 และ 1.5 phr ทำการล้างด้วยน้ำกลันที่เวลาต่าง ๆ กัน

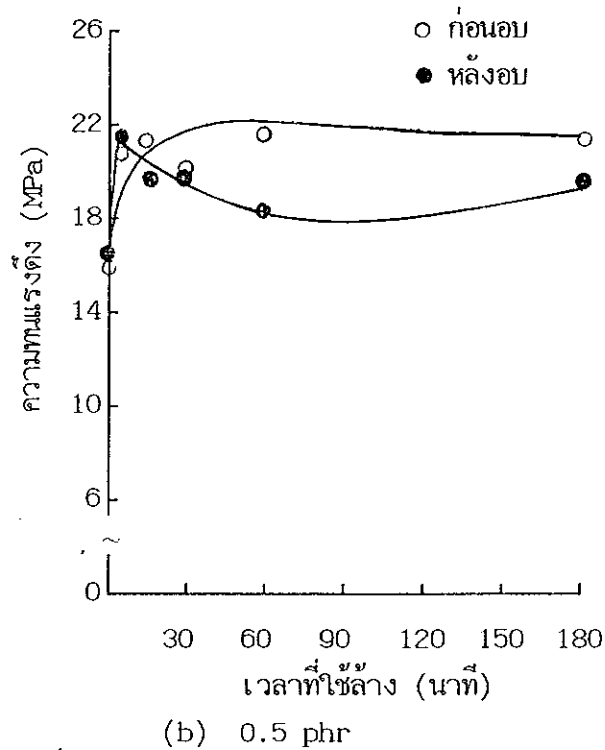
ความเจ้มชัน (phr)	เวลาที่ใช้ล้าง นาที	โนมูลัส 300%		โนมูลัส 600%		ความหนาแรงดึง (MPa)		ความยาวยืดเมื่อขาด (%)	
		ก่อนอบ	หลังอบ	ก่อนอบ	หลังอบ	ก่อนอบ	หลังอบ	ก่อนอบ	หลังอบ
0	0	0.49	0.48	1.08	1.09	18.03	19.73	1025	1154
	1	0.51	0.47	1.27	0.93	16.16	19.92	1008	1142
	3	0.49	0.45	1.19	0.93	18.11	17.73	999	1169
	5	0.53	0.51	1.23	1.16	19.00	19.71	1000	1142
	15	0.51	0.50	1.23	1.13	20.33	18.98	1027	1079
	30	0.60	0.51	1.85	1.11	22.55	21.14	997	1105
	60	0.66	0.53	2.50	1.23	22.84	20.07	966	1119
	180	0.71	0.60	2.90	1.55	24.50	14.97	936	1024
0.5	0	0.52	0.49	1.52	1.01	16.18	16.91	966	1085
	1	0.50	0.53	1.13	1.58	19.29	18.94	987	1009
	3	0.52	0.58	1.38	1.85	19.32	21.15	970	932
	5	0.54	0.56	1.77	1.71	20.87	21.93	965	1031
	15	0.56	0.57	1.58	1.89	20.71	19.75	960	972
	30	0.57	0.55	1.99	1.64	19.94	19.78	965	1004
	60	0.67	0.56	2.56	1.63	21.47	18.33	935	908
	180	0.62	0.63	1.83	1.87	20.76	19.65	938	990

ตาราง 13 ต่อ

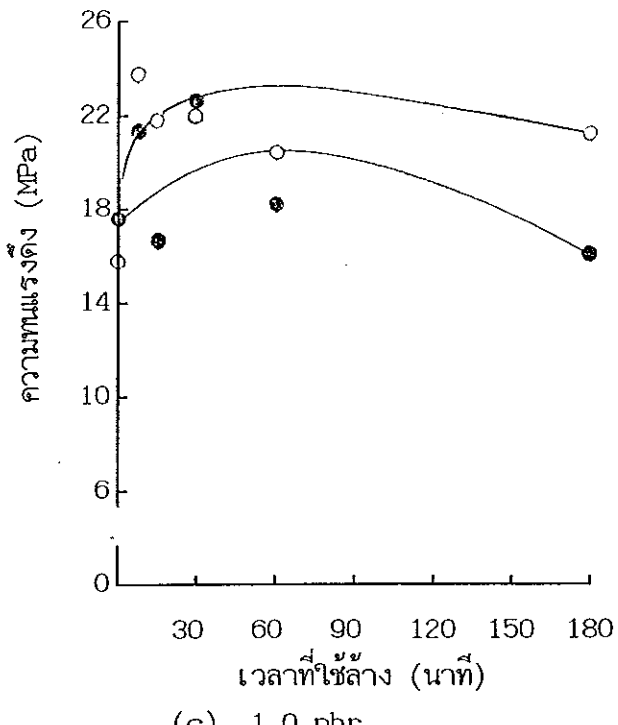
ความเข้มข้น (phr)	เวลาที่ใช้ล้างนาฬิกา	โนมูลัส 300%		โนมูลัส 600%		ความหนาแนงดึง (MPa)		ความบาวยืดเมื่อขาด (%)	
		ก่อนอบ	หลังอบ	ก่อนอบ	หลังอบ	ก่อนอบ	หลังอบ	ก่อนอบ	หลังอบ
1.0	0	0.48	0.49	1.07	1.16	15.94	17.65	1024	1049
	1	0.53	0.53	1.39	1.32	18.16	18.74	1030	1090
	3	0.49	0.51	1.15	1.50	18.75	19.53	1005	1051
	5	0.60	0.57	2.18	1.92	23.63	21.35	941	1022
	15	0.55	0.54	1.59	1.63	21.69	16.76	994	949
	30	0.59	0.60	1.82	1.76	21.95	22.88	965	1064
	60	0.62	0.57	2.23	1.79	20.59	18.14	979	937
	180	0.62	0.63	2.11	1.88	21.24	16.05	971	1024
1.5	0	0.50	0.50	1.11	1.51	16.61	17.98	978	1009
	1	0.46	0.48	1.06	1.24	19.96	18.60	1045	971
	3	0.51	0.53	1.41	1.50	19.72	19.87	982	1010
	5	0.55	0.58	1.41	1.94	21.55	20.88	1015	1011
	15	0.54	0.50	1.43	1.35	21.63	19.95	984	1045
	30	0.61	0.62	2.04	2.19	23.66	18.95	936	898
	60	0.64	0.59	2.43	1.88	24.07	20.55	962	1028
	180	0.60	0.56	1.91	1.47	22.41	20.52	966	1057



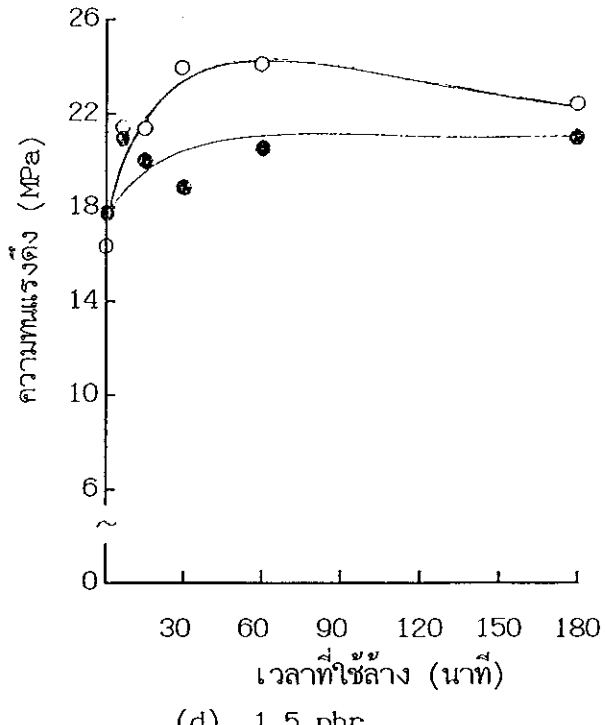
(a) 0 phr



(b) 0.5 phr



(c) 1.0 phr



(d) 1.5 phr

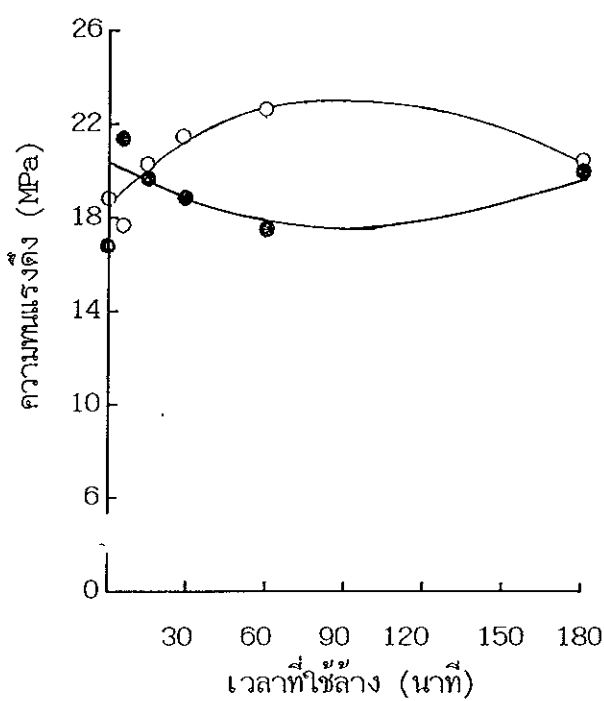
ภาพประกอบ 11 ความสัมพันธ์ระหว่างเวลาที่ใช้ล้างแผ่นพิมพ์กับความหนาแน่น ไดร์ฟจากน้ำยาหัวใจในชุดยรังสี ด้วยการเติมสารป้องกันออกซิเดชันชนิด วัลคานิค เกมี ความเข้มข้นต่าง ๆ กัน

ตาราง 14 ผลการทดสอบสมบัติของแผ่นพิล์มที่เติมสารป้องกันออกซิเดชันชนิด วัลคานอิก เอ็มบีส่องทับເเอມจี เข้มข้น 0, 0.5, 1.0 และ 1.5 phr ทำการล้างด้วยน้ำก่อนที่เวลาต่าง ๆ กัน

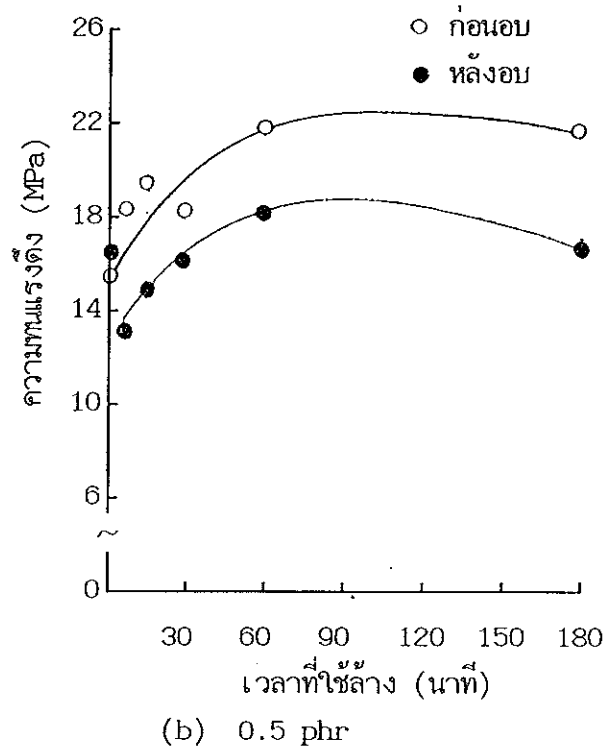
ความเข้มข้น (phr)	เวลาที่ใช้ล้าง นาที	โนมูลัส 300%		โนมูลัส 600%		ความหนาแนงดึง (MPa)		ความยืดเมื่อขาด (%)	
		ก่อนอบ	หลังอบ	ก่อนอบ	หลังอบ	ก่อนอบ	หลังอบ	ก่อนอบ	หลังอบ
0	0	0.51	0.49	1.26	1.15	18.74	16.82	1051	1064
	1	0.50	0.50	1.33	1.10	19.21	17.78	1036	1039
	3	0.54	0.49	1.57	1.19	16.78	19.45	959	1176
	5	0.51	0.51	1.58	1.24	17.61	20.63	966	1096
	15	0.51	0.49	1.41	1.08	19.25	19.67	993	1028
	30	0.56	0.63	1.75	1.92	21.43	18.60	1020	973
	60	0.64	0.58	2.65	1.51	22.73	17.44	934	1085
	180	0.57	0.63	1.95	1.75	20.41	19.83	952	1087
0.5	0	0.49	0.49	1.11	1.12	15.52	16.47	1036	957
	1	0.49	0.49	1.41	1.30	15.16	15.20	976	1128
	3	0.55	0.52	1.64	1.31	18.14	16.48	984	1017
	5	0.47	0.48	0.94	0.99	18.27	13.20	1075	1000
	15	0.57	0.46	2.38	1.11	19.49	14.90	931	1021
	30	0.55	0.49	1.62	1.38	18.31	15.88	951	918
	60	0.64	0.54	1.76	1.19	21.96	18.26	1019	911
	180	0.74	0.52	2.08	1.19	21.77	16.54	987	994

ตาราง 14 ต่อ

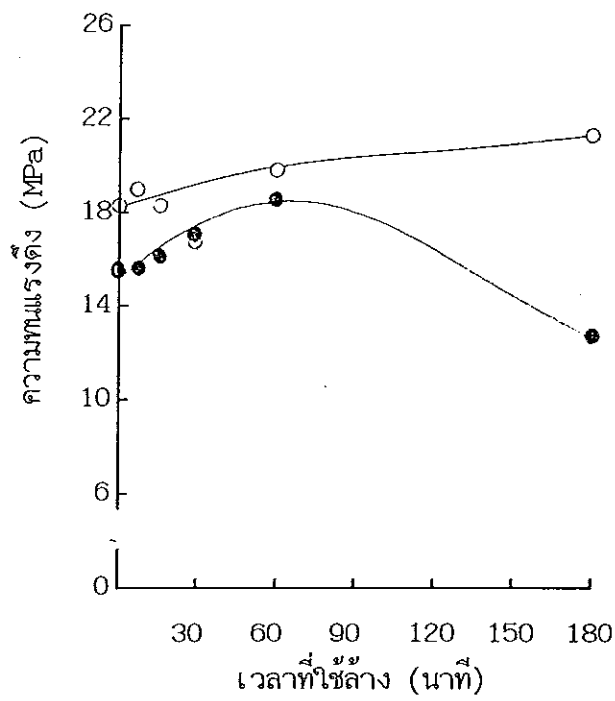
ความเข้มข้น (phr)	เวลาที่ใช้лага นาที	โนมูลัส 300%		โนมูลัส 600%		ความหนาแนงดึง (MPa)		ความยาวยืดเมื่อขาด (%)	
		ก่อนอบ	หลังอบ	ก่อนอบ	หลังอบ	ก่อนอบ	หลังอบ	ก่อนอบ	หลังอบ
1.0	0	0.53	0.51	1.46	1.29	18.44	16.82	1018	1053
	1	0.52	0.53	1.14	1.00	17.40	13.00	992	1000
	3	0.62	0.52	2.73	1.24	21.55	17.33	951	1030
	5	0.54	0.49	1.53	1.04	19.19	15.59	994	1057
	15	0.55	0.59	1.64	1.62	18.14	16.26	984	966
	30	0.51	0.46	1.70	1.23	17.41	17.91	961	1087
	60	0.61	0.64	2.34	1.76	19.77	18.52	957	975
	180	0.60	0.50	1.70	1.09	21.81	12.58	1017	951
1.5	0	0.55	0.57	1.83	2.11	16.32	15.48	946	1029
	1	0.49	0.53	1.25	1.51	16.40	16.41	1077	1035
	3	0.50	0.54	1.05	1.37	17.44	15.44	1046	1019
	5	0.55	0.64	1.42	1.94	19.41	20.00	1031	1012
	15	0.71	0.54	3.49	2.62	23.16	17.90	934	982
	30	0.56	0.49	1.87	1.23	18.23	16.17	988	868
	60	0.69	0.58	3.03	2.02	23.42	20.10	965	961
	180	0.73	0.62	2.70	1.80	21.10	13.58	945	911



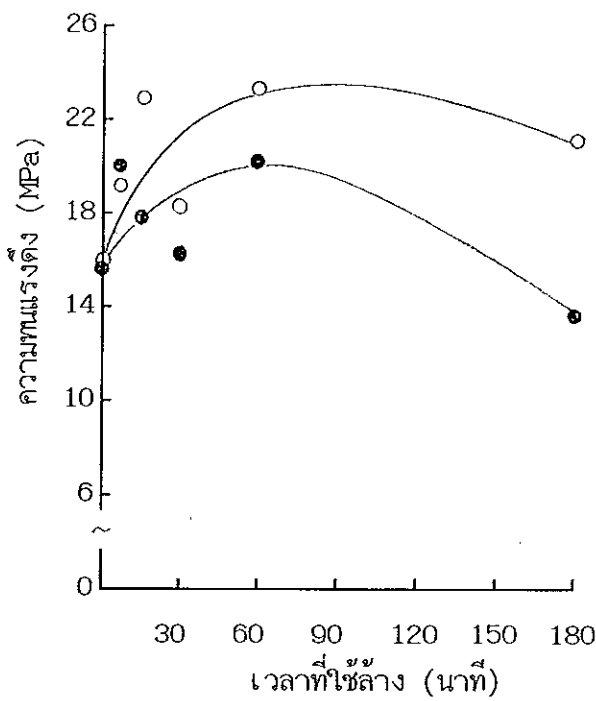
(a) 0 phr



(b) 0.5 phr



(c) 1.0 phr



(d) 1.5 phr

ภาพประกอบ 12 ความสัมพันธ์ระหว่างเวลาที่ใช้ล้างแผ่นพิมพ์กับความแรงตึง เตรียมจาก นำยางวัลคานอชด้ายรังสี ด้วยการเติมสารป้องกันออกซิเดชันชนิด วัลคานอ็อก เอ้มีส่องทับเบื้องจี ความเข้มข้นต่าง ๆ กัน

ตาราง 15 สมบัติทางกายภาพของแผ่นพิมพ์ยางที่เติมสารป้องกันออกซิเดชันความเข้มข้น 0.5 phr ลงในน้ำยาางวัลค่าในชุดวัสดุรังสี ที่มีอายุการเก็บ 45 วัน ทำการล้างแผ่นพิมพ์ยางด้วยน้ำกลืนก่ออุณหภูมิห้อง เป็นเวลา 1 ชั่วโมง

น้ำยาางวัลค่ารังสี	โมดูลัส 600%		ความหนาแรงดึง (MPa)		ความยาวปิดเมื่อขาด (%)		การคืนตัวหลังจากถูกยืด (%)
	ก่อนอบ	หลังอบ	ก่อนอบ	หลังอบ	ก่อนอบ	หลังอบ	
ไม่เติมสารป้องกันออกซิเดชัน	3.63	1.63	27.24	11.93	950	950	8.9
แอนติออกซิเดนต์ 2246	2.57	1.99	24.58	16.90	950	950	9.1
เพอร์โนเน็กซ์ ดับบลิวเออลีวิงสเตต แอล	2.71	1.95	24.74	16.18	975	950	7.8
นอนแพล็กซ์ ทีอีอีพี+	2.77	1.70	27.55	13.39	975	1000	9.1
นอนเน็อก ดับบลิวเอสแอล+	2.77	1.72	24.95	19.59	975	1000	9.6
วัลคานเน็อก เคบี	2.66	1.88	24.34	16.23	975	950	7.5
วัลคานเน็อก เอ็มบล่องทับเบิร์นจี	3.50	2.04	25.06	16.04	925	925	8.5
วัลคานเน็อก เอ็มบล่องทับเบิร์นจี	2.93	1.54	26.43	13.04	975	990	8.3

\* เลือกใช้ในการหั่นรูปเป็นถุงมือทางทางการแพทย์

ตาราง 16 สมบัติทางกายภาพของแผ่นพีล์มยางที่เติมสารป้องกันออกซิเดชันที่เหมาะสมที่สุด ทำการล้างด้วยน้ำกลันที่อุณหภูมิห้องเป็นเวลา 1 ชั่วโมง

เงื่อนไข	โนมูลัส 600%		ความหนาแน่น (MPa)		ความยืดเมื่อขาด (%)		ความหนาแน่น ครอสลิงค์ $\times 10^{20}$
	ก่อนอบ	หลังอบ	ก่อนอบ	หลังอบ	ก่อนอบ	หลังอบ	
ไม่เติมสารป้องกันออกซิเดชัน	1.83	1.23	26.72	14.10	1091	1123	5.06
วัลคาโน๊อก เกบี (phr)	0.1	1.76	1.42	26.71	14.01	1083	1077
	0.3	2.20	1.25	27.03	10.01	1013	849
	0.5	1.53	1.61	24.76	14.88	1028	952
นอนเน็อก ดับบลิว เอสแอล (phr)	0.1	1.72	1.29	26.58	9.48	1042	920
	0.3	1.80	1.70	24.90	13.07	1085	1048
	0.5	2.03	1.43	26.66	19.47	1067	1027

ตาราง 17 สมบัติทางกายภาพของถุงมือยางทางการแพทย์ที่เพิ่มสารป้องกันออกซิเดชันที่เหมาะสมที่สุด เจ็มชัน 0.5 phr ทำการล้างด้วยน้ำอุ่น 50 °C เป็นเวลา 3 นาที

เงื่อนไข	ความหนาแรงดึง (MPa)		ความยาวยืดเมื่อขาด (%)		ความหนาแน่นครอสลิงค์ $\times 10^{20}$	การคืนตัวของยางหลังจากถูกยืดที่ 300%
	ก่อนอบ	หลังอบ	ก่อนอบ	หลังอบ		
ไม่เพิ่มสารป้องกันออกซิเดชัน	21.67	เหลว	990	เหลว	5.05	8.17
วัลคานิออก เคบี	21.29	20.22	950	1025	5.07	8.17
นอนนิออก ดับบลิวเอสแอล	19.52	20.19	965	1050	5.04	8.50

ตาราง 18 สมบัติทางกายภาพของแผ่นพิมพ์ยางที่เติมสารป้องกันออกซิเดชันชนิด วัลคานอิก เคบี เจ็มสัน 0.5 phr ทำการล้างด้วยน้ำอุ่น 50 °C เป็นเวลาต่าง ๆ กัน

เวลาที่ใช้คลัง (นาที)	นิมดูลัส 600%		ความหนาแนงคง (MPa)		ความยาวดเมื่อขาด (%)		การคืนตัวของยางหลังจากถูกยืดที่ 300%
	ก่อนอบ	หลังอบ	ก่อนอบ	หลังอบ	ก่อนอบ	หลังอบ	
0	2.23	1.43	20.01	17.85	975	1000	9.67
1	2.16	1.46	22.27	17.77	1000	1050	8.33
3	1.92	1.39	21.18	17.53	1000	1050	8.77
5	2.10	1.32	20.52	17.27	975	1050	8.66
7	2.36	1.55	20.43	17.04	975	1040	8.50
10	2.22	1.43	21.51	17.76	1000	1050	8.17
15	2.22	1.62	21.25	18.05	975	1000	8.17

## บทที่ 4

### บทวิจารณ์

#### 1. ผลจากการทดสอบสมบัติน้ำยางขันก่อนและหลังการฉายรังสี

จากการทดลองตาราง 4 ก่อนทำการฉายรังสีได้ทำการเจือจางน้ำยางด้วยสารละลายน้ำ 1% NH<sub>3</sub> เพื่อให้มีความเข้มข้นเพื่อเหมาะสม ปริมาณ DRC ที่ทำการทดสอบจากบริษัทผลิตน้ำยางขัน 3 แหล่ง มีค่าระหว่าง 50 - 52% ปริมาณ NH<sub>3</sub> และ pH ก่อนและหลังการฉายรังสีไม่แสดงความแตกต่างอย่างเด่นชัด ค่า VFA และ KOH เพิ่มขึ้นหลังจากการฉายรังสี ส่วนค่า MST เพิ่มขึ้นหลังจากการฉายรังสีประมาณ 2 เท่า แสดงถึงการเปลี่ยนแปลงที่ดี แต่ค่าความหนืดหลังจากการเจือจางด้วยแอมโมนเนียมมีค่าลดลง แสดงถึงการเปลี่ยนแปลงที่ดีที่สุดเท่ากัน

#### 2. ผลจากการ เครื่ยมน้ำยางธรรมชาติวัลค่าในช่วงรังสี

2.1 ผลการทดลองใช้ n-BA 5 phr เป็นเชนเชิ่โรต์ตามตาราง 5 และภาพประกอบ 3 ปริมาณรังสีที่ใช้ในการวัลค่าในช่วงน้ำยางธรรมชาติมีค่าจาก 0 - 15 kGy สมนับติทางกายภาพของฟิล์มยางคือ ค่าความหนาแรงดึงสูงสุดเพิ่มขึ้นจนถึงปริมาณรังสีที่ 12.5 kGy มีค่าเท่ากับ 29.12 MPa เมื่อเพิ่มปริมาณรังสีถึง 15 kGy ค่าความหนาแรงดึงสูงสุดที่ได้ลดลง

2.2 ผลการทดลองใช้ g-BA ร่วมกับ HPO ในสัดส่วน 5 : 0.1 phr ตามตาราง 5 และภาพประกอบ 3 ปริมาณรังสีที่ใช้ในการวัลค่าในช่วงน้ำยางธรรมชาติประมาณ 8 kGy ที่ให้ค่าความหนาแรงดึงสูงสุดมีค่าเท่ากับ 25 MPa ซึ่งใช้ปริมาณรังสีน้อยกว่าการใช้ n-BA เพียงอย่างเดียว ถือว่าเป็นปริมาณรังสีที่เหมาะสมที่สุดเมื่อใช้ n-BA ร่วมกับ HPO ที่ทำหน้าที่เป็นเชนเชิ่โรต์ และสอดคล้องกับงานวิจัยของ Parinya, A., 1990 : 305

#### 3. ผลการหาเงื่อนไขการวัลค่าในช่วงน้ำยางธรรมด้วยรังสี

3.1 การศึกษาค่า pH และความหนืดของน้ำยางหลังจากการฉายรังสี และทำการเก็บอายุน้ำยางเป็นเวลาจาก 0 - 84 วัน ดังแสดงในตาราง 6 และภาพประกอบ 4 พบว่า ความหนืดของน้ำยางในช่วง 0 - 6 วัน มีค่าประมาณ 61 cps หลังจากทั้งน้ำยางตั้งแต่ 30 วันขึ้นไป ค่าความหนืดลดลงเหลือประมาณ 30 cps แสดงถึงเสถียรภาพของน้ำยางหลังจากการเก็บอายุของน้ำยางไว้ได้นาน ส่วนค่า pH นั้นไม่เปลี่ยนแปลง

3.2 การศึกษาสมบัติทางกายภาพของแผ่นฟิล์มยาง หลังจากเก็บอายุน้ำยางในช่วง 0-85 วัน ตามตาราง 7 และภาพประกอบ 5 พบว่า ค่า โนดูลัส 300% และ 600% ลดลงเมื่อเก็บอายุน้ำยางทั่วโลกในช่วงรังสีนานนี้ ส่วนค่าความหนาแรงดึงไม่เปลี่ยนแปลงมากนัก คืออยู่ในช่วง 20 - 22 MPa และความบางบีดเมื่อขาดให้ผลในลักษณะเช่นเดียวกัน

### คือค่าที่ได้ไม่แสดงความแตกต่างกัน

3.3 ตามผลการทดลองในตาราง 8-14 และภาพประกอบ 6-12 จากการเติมสารป้องกันออกซิเดชันชนิดต่าง ๆ ในปริมาณ 0-1.5 phr ค่าโนดลัส 300% และ 600% มีค่าเพิ่มขึ้นเมื่อทำการล้างด้วยน้ำกลั่นเทียบจะเวลา 0-60 นาที ให้ผลการวิจัยสอดคล้องกับ Wahab (1990:216) แสดงว่าการล้างแผ่นฟิล์มยางเป็นการกำจัดสารพากไซโคโรลิก ซึ่งสามารถละลายนำไปได้ท่ออยู่ในน้ำยางออกไประบุนเป็นผลทำให้ความหนาแรงดึงดูดของยางเพิ่มขึ้นเข่นเดียวกัน

แผ่นฟิล์มยางที่เติมสารป้องกันออกซิเดชันชนิดแอนต์ออกซิเดนต์ออกซิเดนต์ 2246 เข้มข้น 1.0 และ 1.5 phr ใช้เวลาการล้างด้วยน้ำกลั่นที่เหมาะสมที่สุดอยู่ในระยะเวลา 60 นาที ให้ค่าความหนาแรงดึงดูดก่อนและหลังการอบสูงกว่าแผ่นฟิล์มยางที่ไม่เติมสารป้องกันออกซิเดชัน และผลที่ได้ผ่านมาตรฐานถุงมือยาง (ASTM D3578)

ผลการเติมสารป้องกันออกซิเดชันชนิด เဟอร์มาเน็กซ์ ดับบลิวเอสพี เข้มข้น 0.5, 1.0 และ 1.5 phr เมื่อใช้ระยะเวลาล้างแผ่นฟิล์มยางนานเท่านั้น ทำให้ความหนาแรงดึงดูดสูงขึ้นจากการอบแผ่นฟิล์มยางที่อุณหภูมิ  $100^{\circ}\text{C}$  นาน 22 ชั่วโมง ความหนาแรงดึงดูดจากการรับมือร่องที่ได้สูงกว่าก่อนอบ แสดงว่าสารป้องกันออกซิเดชันชนิดนี้มีประสิทธิภาพในการทนความร้อนได้ดี

จากการเติม วิงสเต แอล เข้มข้น 0.5, 1.0 และ 1.5 phr ใช้เวลาการล้างแผ่นฟิล์มยาง 60, 5-30 และ 5-15 นาที ตามลำดับ ที่ทำให้ความหนาแรงดึงดูดก่อนและหลังการอบอยู่ในค่าที่เหมาะสมเมื่อเปรียบเทียบกับไม่เติมสารป้องกันออกซิเดชัน เวลาการล้างที่เหมาะสมอยู่ที่ 60 นาทีเท่านั้นไป ดังนั้นการเติมสารป้องกันออกซิเดชันชนิดนี้ เมื่อใช้ความเข้มข้นมากขึ้น เวลาในการล้างลดลง

การเติมสารป้องกันออกซิเดชันชนิด นอนแฟล็กซ์ ทีอี็อนพี ให้ความหนาแรงดึงดูดมีค่าต่ำกว่าแผ่นฟิล์มยางที่ไม่เติมสารป้องกันออกซิเดชัน ผลที่ได้ไม่ผ่านเกณฑ์มาตรฐานถุงมือยาง

แผ่นฟิล์มยางที่เติม นอนเน็อก ดับบลิวเอสแอล ในระดับความเข้มข้น 1.0 และ 1.5 phr เวลาการล้างที่สูงขึ้นอยู่ที่ 15-60 นาที ได้ความหนาแรงดึงดูดก่อนและหลังอบผ่านเกณฑ์มาตรฐานถุงมือยาง แต่เมื่อใช้เวลาล้างนานเท่านั้น ความหนาแรงดึงดูดที่ได้ลดลง ส่วนที่ระดับ 0.5 phr ต้องใช้เวลาการล้างอยู่ในช่วง 30-60 นาที จึงจะทำให้ความหนาแรงดึงดูดที่เหมาะสม

ความหนาแรงดึงดูดของฟิล์มยางจากการเติม วัลคานีอิก เคบี ที่ระดับความเข้มข้น 0.5 phr ให้ค่าผ่านเกณฑ์มาตรฐานถุงมือยางเมื่อทำการล้าง ที่ระยะเวลา 60 นาที ส่วนความเข้มข้น 1.0 และ 1.5 phr จะใช้เวลาการล้างน้อยลง จึงทำให้ความหนาแรงดึงดูดในค่าที่เหมาะสม

ผลการเติม วัลคานีอิก เอ็มบีส่องทับเอ็มจี เข้มข้น 0.5 phr ความหนาแรงดึงดูดที่เหมาะสมใช้เวลาล้าง 60-180 นาที เมื่อเพิ่มความเข้มข้นมากขึ้นคือ 1.0 และ 1.5 phr ใช้เวลาการล้างที่เหมาะสมคือ 3 และ 15 นาที ตามลำดับ แสดงว่าการเพิ่มความ

เจ้มสีของสารป้องกันออกซิเดชัน ใช้เวลาการล้างน้อยลง จึงทำให้ความทนแรงดีงดงามในค่าที่เหมาะสม

สารป้องกันออกซิเดชันชนิด แอนเต้ออชิแคนเซอร์ 2246 และวัลคานออก เอ็นบีส่องทับเอ็นจี ให้ประสิทธิภาพเป็นสารป้องกันออกซิเดชันที่ดี แต่แผ่นฟิล์มบางหลังจากโดนความร้อนหรือทึบไว้เป็นเวลานานสีของแผ่นฟิล์มบางจะเปลี่ยนแปลง กล่าวคือแอนเต้ออชิแคนเซอร์ 2246 มีสีเขียว วัลคานออก เอ็นบีส่องทับเอ็นจี และ เพอร์มาเน็กซ์ ดับบลิว เอสพี ให้สีขาวเท่านั้น ส่วนสารป้องกันออกซิเดชันชนิด วัลคานออก เคบี และ โนน็อก ดับบลิว เอสแอล จะไม่เปลี่ยนสีของแผ่นฟิล์มบาง จึงเลือกใช้ในการหุ้นรูปเป็นถุงมือยางหุ้น การแพทย์ต่อไป

3.4 ผลการทดลองตาราง 15 จากการใช้สารป้องกันออกซิเดชันชนิดต่างๆ กันในระดับความเย็นที่ 0.5 phr ผลการล้างแผ่นฟิล์มบางของน้ำยาหุ้นวัลคานอินช์ด้วยรั่งสีอย่าง 45 วัน ที่ระยะเวลา 1 ชั่วโมง ปรากฏว่าสมบัติความทนแรงดีงดหลังน้ำรีงหุ้นของแผ่นฟิล์มที่ไม่เติมสารป้องกันออกซิเดชัน มีค่า 11.93 MPa ซึ่งมีค่าต่ำกว่าแผ่นฟิล์มที่เติมสารป้องกันออกซิเดชัน แสดงว่าการเติมสารป้องกันออกซิเดชันเป็นการช่วยให้สมบัติทางกายภาพของแผ่นฟิล์ม เช่น โนดูลัส ความทนแรงดีงด ด้านส่วนกรณีการคืนตัวของยางหลังจากถูกยืด มีค่าไม่แสดงความแตกต่างกัน

#### 4. ผลการหาเงื่อนไขการหุ้นรูปเป็นถุงมือยางหุ้นการแพทย์

4.1 ตาราง 16 เป็นการศึกษาสมบัติทางกายภาพของแผ่นฟิล์มบาง ในการเลือกใช้สารป้องกันออกซิเดชันที่เหมาะสม พนักค่าความทนแรงดีงดเมื่อใช้ วัลคานออก เคบี และ โนน็อก ดับบลิว เอสแอล ในระดับความเย็นที่ 0.1, 0.3 และ 0.5 phr มีค่าที่ไม่แสดงความแตกต่างอย่างเด่นชัด ส่วนค่าความทนแรงดีงดหลังน้ำรีงหุ้นจากล้างด้วยน้ำกลั่นที่อุณหภูมิห้องเป็นเวลา 1 ชั่วโมง เมื่อใช้โนน็อก ดับบลิว เอสแอล 0.5 phr เท่านั้น ที่ให้ค่าความทนแรงดีงดหลังน้ำรีงเกินมาตรฐาน คือเท่ากับ 19.47 MPa ส่วนความหนาแน่นครอสลิงค์ของแผ่นฟิล์มบางชนิดที่เติมและไม่เติมสารป้องกันออกซิเดชัน มีค่าที่ใกล้เคียงกันแสดงถึงการครอสลิงค์ของโนนเลกุลบาง ซึ่งไม่มีความสัมพันธ์กับการเติมสารป้องกันออกซิเดชัน

4.2 ตาราง 17 จากการหุ้นรูปเป็นถุงมือยางหุ้นการแพทย์ และใช้เงื่อนไขการล้างด้วยน้ำอุ่น 50 °C เป็นเวลา 3 นาที (เงื่อนไขใกล้เคียงกับการผลิตถุงมือยางในระดับอุตสาหกรรม) พนักค่าความทนแรงดีงดเมื่อใช้สารป้องกันออกซิเดชัน เมื่อนำไปอบที่อุณหภูมิ 100 °C เป็นเวลา 22 ชั่วโมง ถุงมือยางเหลว แต่เมื่อเติม วัลคานออก เคบี และ โนน็อก ดับบลิว เอสแอล ให้ค่าความทนแรงดีงดหลังน้ำรีงมีค่าใกล้เคียงกัน คือประมาณ 20 MPa จากการศึกษาการคืนตัวของยางหลังจากถูกยืด และความหนาแน่นครอสลิงค์ ของถุงมือยางชนิดที่เติมและไม่เติมสารป้องกันออกซิเดชัน ไม่แสดงความแตกต่างเช่นกัน

4.3 ตาราง 18 เพื่อเป็นการลดระยะเวลาการล้างจึงศึกษาสมบัติแผ่นฟิล์มบางจาก การเติม วัลคานออก เคบี ด้วยการล้างด้วยน้ำอุ่น 50 °C ที่ระยะเวลาต่าง ๆ กัน พบ

ว่าการล้างนานกว่า 1 นาที น้ำไปให้สมบูรณ์ความพันแวงคงที่ และการคืนเตาของยางหลังจากถูกยืด มีค่าน้อยกว่าไม่ล้างน้ำเลยแสดงถึงเสถียรภาพของแผ่นฟิล์มยางที่ดีกว่า

## บทที่ ๕

### บทสรุป

#### 1. การ เทคโนโลยีน้ำยาห้องวัลภาไนซ์ด้วยรังสี

การวัลภาไนซ์น้ำยาห้องชุมชนติดด้วยรังสีโดยใช้ n-BA 5 phr เป็น เช่นชีไทเซอร์ และมี KOH เป็นสารเพิ่มความเสถียร ใช้ปริมาณรังสีในการวัลภาไนซ์ 12.5 kGy ได้ค่าความหนาแรงดึง 29.12 MPa และเมื่อใช้ n-BA ร่วมกับ HPO 5 : 0.1 phr โดยมี KOH เป็นสารเพิ่มความเสถียรเข่นกัน ใช้ปริมาณรังสีในการวัลภาไนซ์ต่ำลง คือ 8 kGy โดยค่าความหนาแรงดึงสูงสุด 25.02 MPa ซึ่งถือว่าเป็นปริมาณรังสีที่เหมาะสมสำหรับใช้ในระดับอุตสาหกรรมที่จะช่วยลดต้นทุนการผลิตลงได้ ทั้งนี้กลไกของปฏิกริยาการวัลภาไนซ์ด้วยเปลือรอกใช้ดึงไม่เป็นที่เข้าใจนัก แต่อาจเนื่องจากรังสีช่วยให้ HPO เกิดการแตกตัวเป็นอนุนุลได้เร็วกว่าการใช้ n-BA เพียงอย่างเดียว และทำให้โนเลกอลยางชุมชนติดเกิดการครอบคลุมได้เร็วขึ้นเข่นกัน จึงทำให้ปริมาณรังสีที่ใช้ในการวัลภาไนซ์ต่ำลง

ผลจากการเก็บอย่างน้ำยาห้องหลังจากวัลภาไนซ์ด้วยรังสีแล้ว น้ำยาหามีความหนืดลดลง pH ค่อนข้างคงที่ ความหนาแรงดึงของแผ่นพื้นที่ล้มบางไม่เปลี่ยนแปลงมากนักในช่วง 0 - 45 วัน แต่หลังจาก 56 วัน หรือประมาณ 2 เดือนขึ้นไป ค่าความหนาแรงดึงมีแนวโน้มสูงขึ้น ส្មับได้ค่อนข้างแน่ตัวว่า น้ำยาหามีเสถียรภาพเพียงพอ ดังนั้นน้ำยาหามีความต้านทานต่อการทำลายที่ทนทานไม่ควรใช้ในห้องที่ เนื่องจากผลกระทบทางด้านเรื่องอายุการเก็บ ทำให้ความหนืดของน้ำยาห้องลดลง หรือน้ำยาหามีที่ได้จากการฉาบด้วยรังสีด้วยส่วนตัวนี้ควรเก็บน้ำยาหามีไว้ออย่างน้อย 6 วัน

จากการนิคของสารป้องกันออกซิเดชันชนิด แอนต์ออกซิเดนซ์ 2246 วัลภาไนซ์ออก เคบี วัลภาไนซ์ออก เอ็มบีส่องทับเย้มซี นอนนีออก ดับเบลิวเออสแอล เพอร์มาเน็กซ์ คัมบลิเวอสพี วิงสเตต แอล และ นอนแฟล็กซ์ ที อีนพี ที่เติมลงในน้ำยาห้องหลังจากการวัลภาไนซ์ด้วยรังสีแล้ว ส្មับได้ว่าสารป้องกันออกซิเดชันดังกล่าว ทำให้ค่าความหนาแรงดึงหลังป่นเร่งสูงขึ้น และค่าความหนาแรงดึงขึ้นกันชนิด ความเข้มข้นของสารป้องกันออกซิเดชัน และเวลาที่ใช้ลงแผ่นพื้นที่ล้ม

#### 2. การขันรูป เป็นพลิกกัฟฟ์แบบจม่ำจากน้ำยาห้องวัลภาไนซ์ด้วยรังสี

จากการเลือกสารป้องกันออกซิเดชันที่เหมาะสมสมทศุคค์ วัลภาไนซ์ออก เคบี มาทดลองนี้ รูปเป็นตุ้มมีทางการแพทย์ค่าความหนาแรงดึง และความยาวยืดเนื้อขาดได้ตามมาตรฐาน ASTM D3578 ถุงมือที่ได้ลักษณะอ่อนนุ่มน้ำสัมผัส มีสีเหลืองอ่อนคล้ายสีชุมชนติดของยาง ดังนั้นน้ำยาห้องจากการทำวิจัยในครั้งนี้สามารถนำไปใช้พลิกกัฟฟ์หันน์ ๆ ได้เช่น ลูกปืน จกหลอกสำหรับเด็ก ถุงยางอนามัย ห่อสำหรับสานเข้าไปในอวัยวะภายในร่างกาย เป็นต้น เนื่องจากปราศจากสารตกค้างในโทรศามีน เมื่อเปรียบเทียบกับกระบวนการวัลภาไนซ์ด้วยกัมมังส์ และ n-BA ที่เป็นโนโนฟังก์ชันจะถูกกำจัดออกจากพลิกกัฟฟ์ทำได้ง่ายโดยใช้

ความร้อนช่วย ในขั้นตอนการทำให้ยางคงรูป เพราะมีความต้านทานสูงพอ

แผ่นพิลามยางที่เต้มวัลภาชนะออก เคี้ยว ทำการล้างน้ำอ่อนอุ่นห่วง 50 °C เพื่อเป็นการประยัดเวลาในระหว่างขั้นตอนการผลิต เมื่อเบรเยนเทบิกนกการล้างน้ำห่อห่วงห่วงนาน 1 ชั่วโมง สามารถสรุปได้ว่าถุงมือยางพอลิไวนิลได้แน่ ควรล้างด้วยน้ำอ่อนน้อยกว่า 1 นาที เพื่อให้ได้สมบัติความทนแรงดึงสูงสุด ทั้งนี้อาจเนื่องมาจากมีการซัลฟ์ลาร์ส่วนที่ไม่ใช่ยางออกไป

## บรรณานุกรม

กรมวิชาการเกษตร, สถาบันวิจัยยาง. กระทรวงเกษตรและสหกรณ์. 1993. สูตรยาง  
ประเทศไทย. กรุงเทพฯ.

จินดารัมย์ ชาเจริญพันธ์. 2535. "เครื่องเร่งลำอิเล็กทรอน", ใน ข่าวพืช. 2  
(มี.ค - เม.ช 2535) 1-3.

ชัยกริต ศรีอุปัมณ์. 2532. รายงานวิจัยและพัฒนาเรื่องการพัฒนาเทคโนโลยีการผลิต  
ผลิตภัณฑ์จากน้ำยางธรรมชาติวัสดุในชีวะรังสี. ระยะที่ 2 กิ่งห้องทดลอง.  
กรุงเทพฯ : จุฬาลงกรณ์มหาวิทยาลัย.

มนติชัย ช้อนสุข. 2534. "เคมีรังสี", ใน ผลงานนิวเคลียร์และการใช้ประโยชน์.  
4.5-4.6. สำนักงานเพลิงงานป่ามาถุเพื่อสันติ กระทรวงวิทยาศาสตร์เทคโนโลยี  
และการเพลิงงาน.

วรากรณ์ ใจไชยกล. 2525. น้ำยาง. เอกสารทางวิชาการเลขที่ 109. ศูนย์วิจัยยาง  
หาดใหญ่, 1.

วันชัย ธรรมวนิช, ชาญชัย อัศวินิกุลชัย และ สุนทร จองคำ. 2535. "การใช้  
ประโยชน์จากน้ำก้นกำเนิดนิวตรอนแบบไอโซไฟบ", ใน ข่าวพืช. 5 (ก.ย-ต.ค  
2535), 1-3.

ค้าหัววิทยาศาสตร์ ฉบับราชบัณฑิยสถาน. 2529. โรงพิมพ์ครุสภากาดพร้าว กรุงเทพฯ.

สมพันธ์ วงศ์นาวา. 2535. การเรืองแสงรังสีเชิงแบบกระบวนการเบื้องต้น. ภาควิชาเคมี คณะวิทยาศาสตร์ มหาวิทยาลัยสงขลานครินทร์ สังฆlab.

ASTM D412-87. 1882. Standard Test methods for Rubber Properties  
in Tension.

ASTM D573-88. 1982. Standard Test Method for Rubber Deterioration  
in an Air Oven.

ASTM D3578-77. 1982. Standard Specification for Rubber Examination

Gloves.

Brydson, J.A. 1988. Rubber Chemistry. Applied Science Publisher. Ltd. London. 263.

Chapiro, A. 1969. "Radiation Induced Reactions" In Encyclopedia of Polymer Science and Technology, 11, 702. Norbert, M.B., U.S.A. John Wiley & Sons, Inc.

Chapiro, Adolphe. 1987. Historical Outline of Radiation Effects, In Polymers for High Technology Electronics and Photonics, 65. Bowden, M.J., Turner, S.R. Washington, DC, U.S.A.

Chyagrit, S., Makuuchi, K. and Ishigaki, I. 1990. "Radiation Vulcanisation Mechanism of Liquid Isoprene with 2-Ethylhexyl Acrylate", In Proceedings of the International Symposium on Radiation Vucanisation of Natural Rubber Latex, 36-349. S. MACHI. s.l. : JAERI.

Gorton, A.D.T., Mc Sweeney, G.P. and Tidd, B.K. 1987. "Formulating Rubber to Meet Regulatory Nitrosamine Limits". NR Tecnol. 18(1), 1.

ICRP Publication 60. Annuals of the ICRP, 1990. Recommendations of the International Comission on Radiological Protection. Pergamon Press. Oxford. 1991.

ISO 2004-1979(E). Rubber Latex, Natural, Centrifuged or Creamed, Ammonia-Preserved Types-Specification.

James DD' Ianni. 1972. Stabilization of Synthetic Rubbers and Latices. Annual Meeting of the International Institue of Synthetic Rubber Producres at the 13<sup>th</sup>, June 19-22. Munich, Germany.

Laizer, et al. 1969. Proc. Symp. Large Radiation Sources for Industrial Processes, Munich. IAEA. Vienna.

Makuuchi, K. 1991. "Radiation Vulcanization of Natural Rubber Latex", In International Atomic Energy Agency Regional Training Course on RVNRL, 1-11.

Makuuchi, K. and Devendra, R. 1986. IAEA Expert Advisory Group Meeting on RVNRL. Takasaki, Japan.

Makuuchi, K. and Hagiwara, M. 1984. "Radiation Vulcanisation of Natural Rubber Latex with Polyfunctional Monomer II", Radiat. phys. Chem. 24(2), 2031.

Makuuchi, K. and Markovic, V. 1991. "Radiation Processing of Natural Rubber Latex", IAEA Bulletin. 25.

Ma'zam MD Said, Pendel, T.D. and Blackley, D.C. 1990. "Peroxide Prevulcanisation of Natural Rubber Latex", J. nat. Rubb. Res. 5(1), 27.

Minoura, Y. and Asoa, M. 1961. "Studies on the Gamma Ray Irradiation of Natural Rubber Latex", J. Appl. Polym. Sci. 5, 401.

Nakamura, A., Isaraski, Y., Tsuchiya, T. and Kaniwa. M.A. 1989. Radiation Vulcanization NRL is not Cytotoxic, paper presented at an International Symposium on Radiation Vulcanization of NRL, Tokyo and Takasaki, July 1989.

Parinya, A. and Makuuchi, K. 1990. "Selection of Hydroperoxides as Co-sensitizer for n-Butyl Acrylate". In Proceedings of the International Symposium on Radiation Vulcanisation of Natural Rubber Latex, 305-318. S. MACHI. s.l. : JAERI.

Razzak, M.T. 1991. RTC on Radiation Vulcanisation of Natural Rubber Latex. CAIR - BATAN, Jakarta - Indonesia. June 26 - July 10, 1991.

Sabarina, Sundardi, F. and Kuncoro. 1990. "Radiation Vulcanisation of Natural Rubber Latex Using a Combination of Monofunctional Acrylic Monomer and  $\text{CCl}_4$ ", J. Radiat. Phys. Chem. 36(6), 815-818.

Sumarno, K. and Sundardi, F. 1977. "Studies on the Preparation and Uses of Cobalt-60 Gamma-Ray Irradiation Natural Latex", J. Appl. Polm. Sci. 21, 3077.

Sumbogo, Sundardi and Utama. 1990. "Effect of Antioxidant on the Aging Property of Rubber Film Prepared from Radiation Vulcanised Natural Rubber Latex", In Proceedings of the International Symposium on Radiation Vulcanisation of Natural Rubber Latex, 234. S. MACHI. s.l. : JAERI.

Thomas, E.V. 1989. "Effect of Non Rubber Solids and Stabilising Agents on Radiation Vulcanisation of Natural Rubber Latex", In Proceedings of the International Symposium on Radiation Vulcanisation of Natural Rubber Latex, 178. S. MACHI. s.l.: JAERI.

Wahab, S.B., Sulaiman, S.B., Makuuchi, K. and Devendra, R. 1990. "Stabilization of Radiation Vulcanized Natural Rubber Latex Film", In Proceedings of the International Symposium on Radiation Vulcanisation of Natural Rubber Latex. 245. S. MACHI. s.l. : JAERI.

Zhonghai, C. and Makuuchi, K. 1990. "n-Butyl Acrylate as a Sensitizer for Radiation Vulcanisation of Natural Rubber Latex", In Proceedings of the International Symposium on Radiation Vulcanisation of Natural Rubber Latex. 326. S. MACHI. s.l. : JAERI.

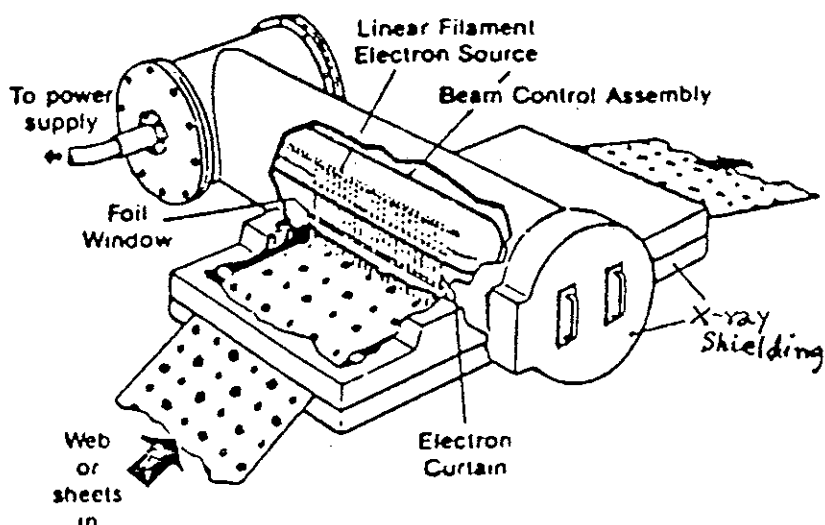
ภาคพนวก ก

## เครื่องเร่งลำอิเล็กตรอน

เครื่องเร่งลำอิเล็กตรอนแบบที่นิยมใช้ในงานวิจัยและพัฒนา ในกระบวนการผลิตทางอุตสาหกรรม มี 2 แบบ คือแบบกระแสตรง เรียกว่า DC-accelerator และแบบแนวตรง เรียกว่า linear accelerator หรือเรียกสั้น ๆ ว่า LINAC ทั้งสองแบบมีความต่างกันตรงทั้งงานของลำอิเล็กตรอนที่ผลิตได้

### 1. แบบกระแสแสงตรง

ถูกออกแบบให้ผลิตลำอิเล็กตรอนที่มีพลังงานกลางและต่ำระหว่าง 0.1-5 MeV สำหรับ DC-accelerator ที่ให้พลังงานต่ำระหว่าง 0.1-0.5 MeV จะประกอบด้วยเครื่องกำนั้งรังสีในตัว (selfshielded) เนื่องจากรังสีออกช้าเกิดขึ้นขณะเดินเครื่องมีพลังงานต่ำทำให้เครื่องมีขนาดเล็ก สามารถติดตั้งได้สะดวกทักษะแห่งในโรงงาน บริเวณที่ส่องลำแสงจะถูกออกแบบเป็น 2 แบบ เพื่อความเหมาะสมสมกับการใช้งาน ได้แก่แบบม่านลำแสง (curtain type) ดังแสดงในภาพประกอบ 13



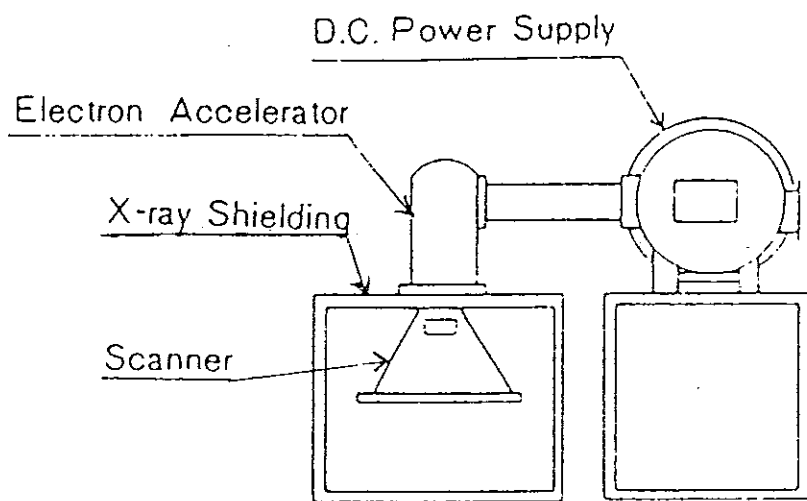
ภาพประกอบ 13 เครื่องเร่งลำอิเล็กตรอนแบบม่านลำแสง

ที่มา : จินดารุมย์ ชวacheริญพันธ์. 2535:2.

เครื่องเร่งลำอิเล็กตรอนระดับพลังงานต่ำนี้ เหมาะสมสำหรับใช้งานพิวิชั่นวัสดุเนื่องจากสามารถหล่อหลอมต่ำมาก เพียงไม่เกิน 3 mm. เท่านั้น ตัวอย่างเช่นการอบเคลือบพิวัสดุและการพิมพ์เป็นต้น

แบบกระแสตรงที่ให้พลังงานปานกลางระหว่าง 0.5-5 MeV ส่วนใหญ่จะเป็นแบบภาชนะ ดังแสดงในภาพประกอบ 14 ตัวเครื่องมีขนาดใหญ่ และต้องมีห้องกำนั้งรังสีซึ่งผนังทำด้วยคอนกรีตหนา เนื่องจากขณะเดินเครื่องจะมีลำอิเล็กตรอนลั้งงานสูงบางส่วน ไป

ผลกระทบโดยหนักที่อยู่ในบริเวณห้องจ่ายรังสี ทำให้เกิดรังสีเอกซ์ซึ่งเป็นอันตรายต่อสิ่งมีชีวิต เครื่องระดับพัฒนาปานกลางนี้เหมาะสมสำหรับใช้งานปัจจุบันมากทั้งสุด เช่นการทำครอสลิงค์ ของพลาสติก จำนวนหุ้มสายไฟ การวัดความกว้าง หรือการกราฟิกของน้ำยาบาง เป็นต้น



ภาพประกอบ 14 เครื่องเร่งลำอิเล็กตรอนแบบภาชนะ

ที่มา : จินดานมย์ ชวachee รุ่นที่ 2535:2.

## 2. แบบแนวทาง

เป็นเครื่องเร่งลำอิเล็กตรอนที่ให้อิเล็กตรอนหลังงานสูงในระดับ 5-10 MeV สามารถใช้ได้กับงานผลิต เวชภัณฑ์ปลอดเชื้อท่องใช้อำนน้ำจดทะลุงสูง และงานวิจัยนิวเคลียร์ฟิสิกส์ เช่น การศึกษาการเปลี่ยนแปลงลักษณะของอัญมณี เป็นต้น แบบแนวทางนี้ไม่ยอมใช้ในอุตสาหกรรม เพราะค่าใช้จ่ายสูง เนื่องจากค่าใช้จ่ายหลักของเครื่องเร่งลำอิเล็กตรอนนักกับหลังงาน ของ ลำอิเล็กตรอนที่เครื่องผลิตได้ ถ้าเครื่องผลิตอิเล็กตรอนหลังงานสูงราคา ก็สูงตาม

**ภาคพนวก ๘**

## ชนิดของสารป้องกันออกซิเดชันที่อยู่ในการทำวิจัย

### 1. แอนต์ออกซิแดนซ์ 2246

เป็นสารป้องกันออกซิเดชันที่อยู่ในกลุ่ม พีโนลอลดีไซด์ คอบาเดนแซท (phenol-aldehyde condensate) สารป้องกันออกซิเดชันชนิดนี้มีลักษณะ เป็นผงสีขาว จนถึงครีมและเทา น้ำหนัก ในเมล็ด 340.51 จุดหลอมเหลว 120 °C ความถ่วงจำเพาะ 1.08 มีความทนทานต่อความร้อน ทนทานต่อการหักอ ป้องกันการออกซิเดช์ ไม่เปลี่ยนสีของยาง แต่ถ้า痒 เป็นสีขาวแล้วการนำไปถูกแสงแดดนาน ๆ จะทำให้ยางเปลี่ยนสีเป็นสีชมพูได้

### 2. เพอร์มานเคนกซ์ ดับบลิวเออลพี

อยู่ในกลุ่มเข่นเดียวกับสารป้องกันออกซิเดชันชนิด แอนต์ออกซิแดนซ์ 2246 มีลักษณะ เป็นผงละ เอี่ยดสีขาว ความถ่วงจำเพาะ 1.77 จุดหลอมเหลว 130 °C ไม่ละลายในน้ำ ละลายน้ำได้ในแอลกอฮอล์ คลอโรฟอร์ม และบิโตร (petro)

### 3. วิงสเตต แอล

เป็นสารป้องกันออกซิเดชันที่อยู่ในกลุ่ม พอลิเมอริก ชินเดอร์ส พีโนล (polymeric hindered phenol) มีลักษณะ เป็นผงสีขาว ความถ่วงจำเพาะ 1.10 เปอร์เซ็นต์การระเหย ที่อุณหภูมิ 120 °C เป็นเวลา 30 นาที เท่ากับ 3 ปริมาณการใช้ 0.5-2.0 phr

### 4. นตอนแฟล็กซ์ ที เอ็นพี

เป็นสารป้องกันออกซิเดชันที่อยู่ในรูป พอสไไฟต์ (phosphite) มีลักษณะ เป็นของเหลว หนืดสีค่อนข้างเหลือง ความหนืดที่ 25 °C เท่ากับ 10,000 cps

### 5. นตอนน็อก ดับบลิวเอสแอล

เป็นสารป้องกันออกซิเดชันที่อยู่ในกลุ่ม ชันสติต้า พีโนล (substituted phenol) มี ลักษณะ เป็นของเหลวหนืดที่ไม่มีสี ความถ่วงจำเพาะ 1.0 ไม่ละลายน้ำ ละลายได้ในเบนซิน คลอโรฟอร์ม และแอลกอฮอล์ ความสามารถในการละลายได้ในยางมากกว่า 2%

### 6. วัลคานน็อก เคบี

อยู่ในกลุ่มเข่นเดียวกับ นตอนน็อก ดับบลิวเอสแอล มีลักษณะ เป็นผงสีเหลืองอ่อน ไม่ทำให้

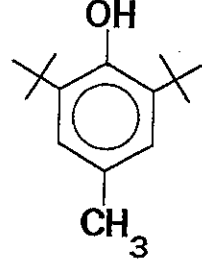
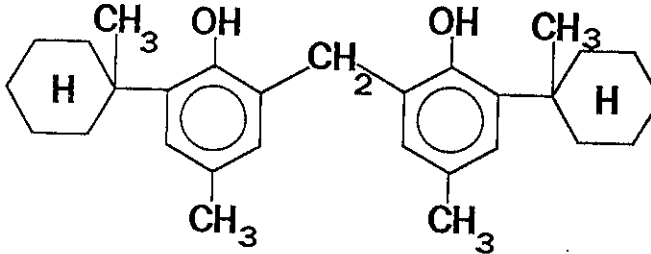
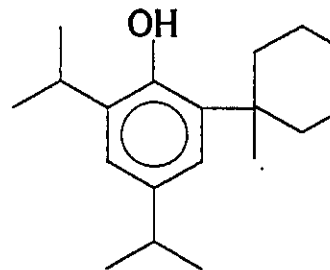
ผลิตภัณฑ์ทั่วไป จุดหลอมเหลว  $69^{\circ}\text{C}$  ความถ่วงจำเพาะ  $1.05$  ละลายน้ำได้ในเบนซิน  
ทุโอลีน แอลกอฮอล์ อะซีโตน ไม่ละลายน้ำ

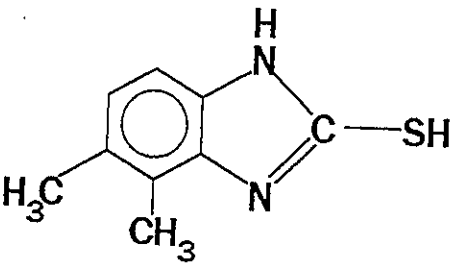
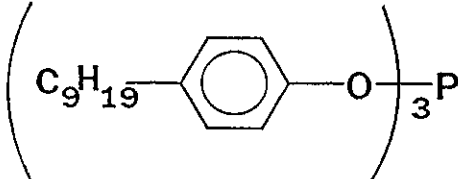
#### 7. วัสดุที่ออก เอ็มบีส่องทันเห็นจี

เป็นสารป้องกันออกซิเดชันที่อยู่ในกลุ่มอิมิดาซิล (Imidazyl) มีลักษณะ เป็นผงสีขาว  
มีสมบัติที่ทำให้บางตกลงเล็กน้อย

ตาราง 19 แสดงชนิดของสารป้องกันออกซิเดชันที่ใช้ในการทำวิจัย

ชื่อทางการค้า	บริษัทผู้ผลิต	สูตรทางเคมี	สูตรโครงสร้าง
Antioxidant 2246 Vulcanox BKF Antage W-400 Antigen MDP Sundant 2246 Nocrac NS-6	Anchor Bayer Kawaguchi Sumitomo Sanshinchem Oouchi	2,2-methylene-bis-(4-methyl-6-tert-butyl phenol) หรือ 2,2-methylene-bis-(6-t-butyl-4-cresol)	
Wingstay L	Goodyear	Butylated reaction product of p-cresol and dicyclopentadiene	

ชื่อทางการค้า	บริษัทผู้ผลิต	สูตรทางเคมี	สูตรโครงสร้าง
Vulcanox KB Ionol BHT Permanax BHT Antage BHT	Bayer Shell Monsanto Vulnax Kawaguchi	2,6-di-tert-butyl-p-cresol หรือ 2,6-di-tert-butyl-4-methyl phenol	
Permanax WSP Nonox WSP	Vulnax ICI	2,2-dihydroxy-3,3-di-( $\alpha$ -methyl cyclohexyl)-5,5-dimethyl-diphenyl methane	
Nonox WSL	ICI	2-(1-methylcyclohexyl)-4,6-dimethyl phenol	

ชื่อทางการค้า	บริษัทผู้ผลิต	สูตรทางเคมี	สูตรโครงสร้าง
Vulcanox MB <sub>2</sub> /Mg	Bayer	4 and 5-methyl mercaptobenzimidazol	
Nonflex TNP Nocrac TNP	seiko Oouchi	tris-(nonylated phenyl phosphite)	

ภาคพนวก ๓

ตาราง 20 ค่าความหนาแรงดึงของแผ่นพิล์มเมื่อใช้ *n*-BA 5 phr ร่วมกับ HPO ในระดับความเข้มข้นต่าง ๆ กัน ทำการฉายรังสีในปริมาณ 4, 8 และ 12 kGy

ความเข้มข้นของไฮโดรperօรօกไซด์ (HPO)	4 kGy	8 kGy	12 kGy
—	14.1	19.7	21.1
HPO 0.05 phr	14.9	23.4	26.3
0.10 phr	16.4	26.4	26.8
0.15 phr	24.2	24.0	25.0

ที่มา : Prinya. A., 1990 : 311.

ตาราง 21 สัมบัติทางกายภาพของถุงมือทางการแพทย์ชนิดถุงมือตรวจโรค (examination glove) เกณฑ์ทองทางทางกายภาพ

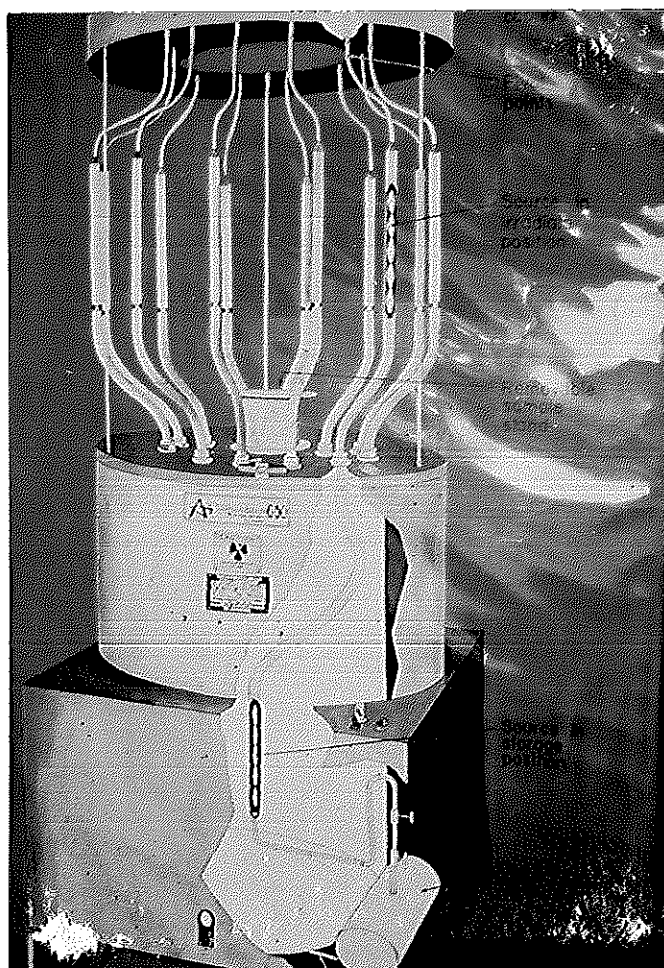
ก่อนอบ	หลังนึ่งเร่ง
ความหนาแรงดึง ความยาวยืดเมื่อขาด	ความหนาแรงดึง ความยาวยืดเมื่อขาด
21 MPa 700%	16 MPa 500% (min)

ที่มา : ASTM D3578-77. 1982.

## ภาคผนวก ๕



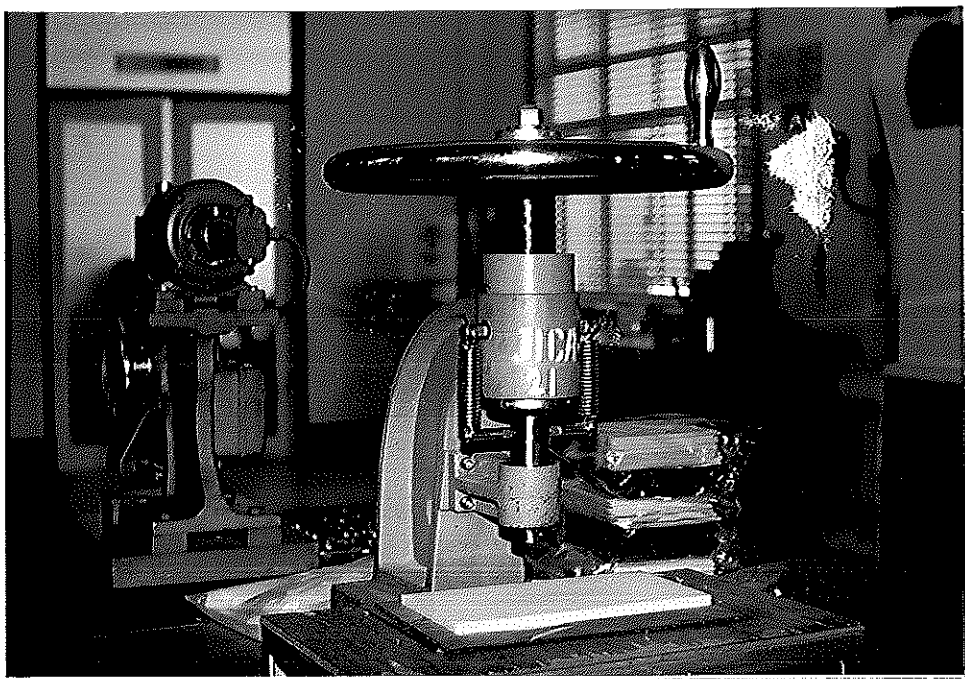
ภาพประกอบ 15 เครื่องฉาบรังสี Carrier Type JS-8900 บริษัท Nordian



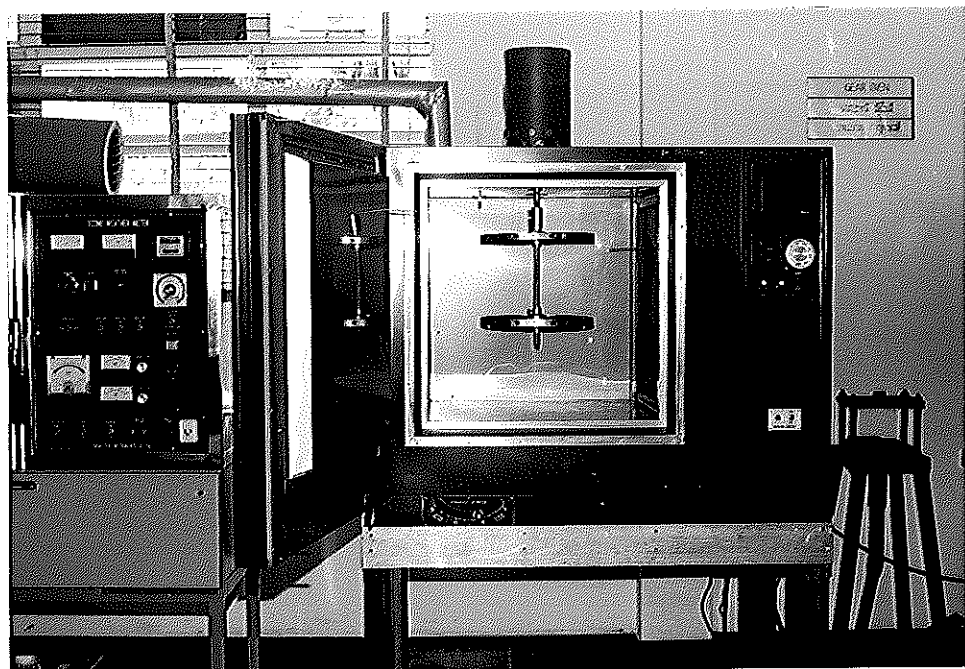
ภาพประกอบ 16 เครื่องฉายรังสี Gamma Beam-650 บริษัท AECL



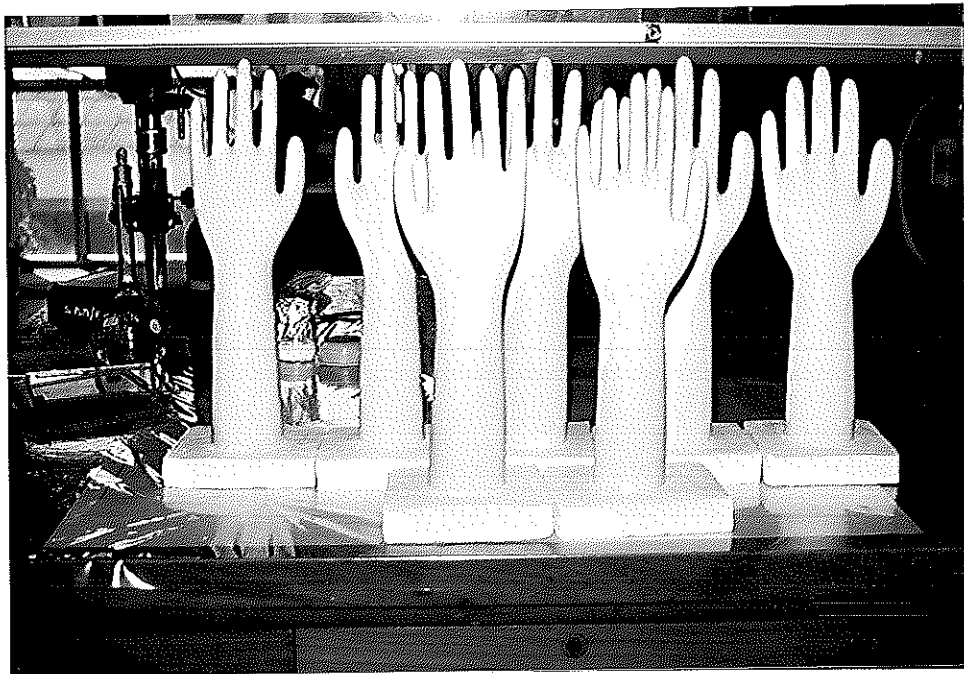
ภาพประกอบ 17 เครื่องทดสอบความหนาแรงดึง ยี่ห้อ Lloyd รุ่น 1000 S



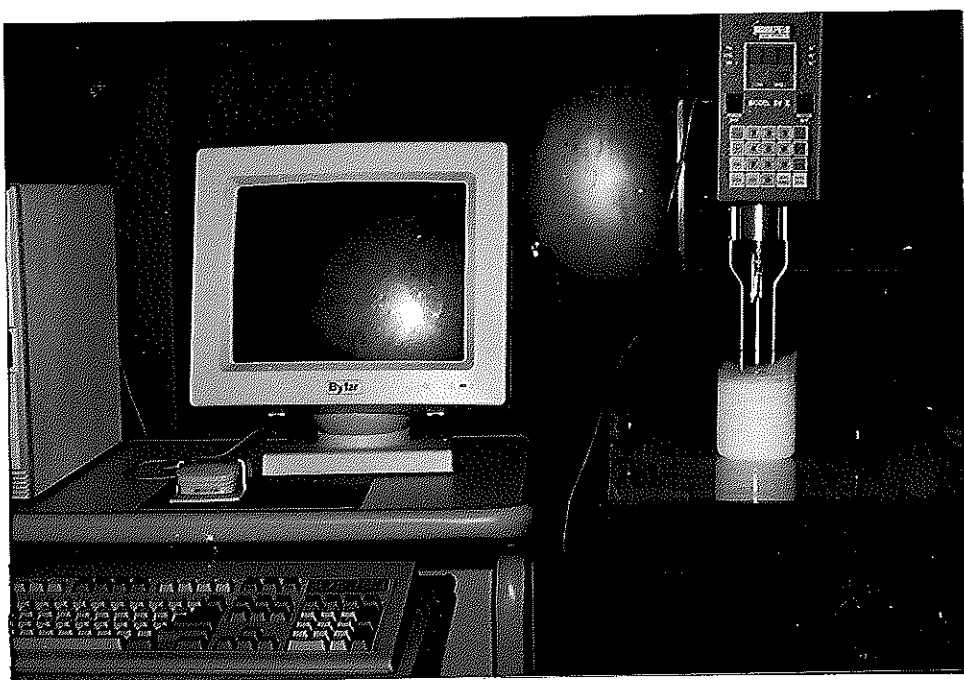
ภาพประกอบ 18 เครื่องตัดแผ่นเกลี่มยาง



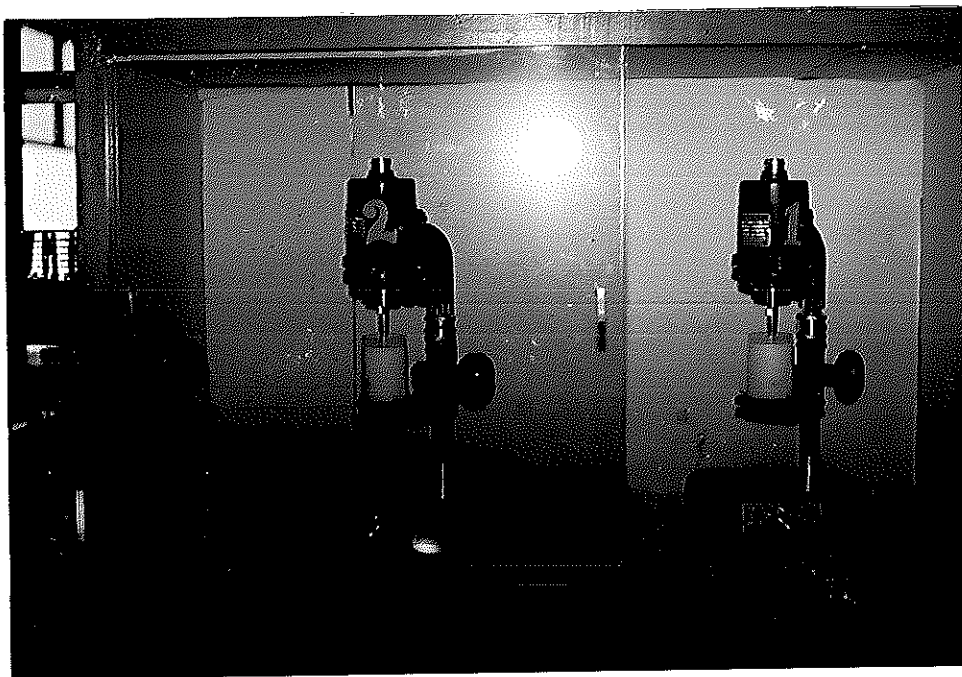
ภาพประกอบ 19 ตู้อบไไฟฟ์ชานนิค Geer Oven บีทอ Tabai



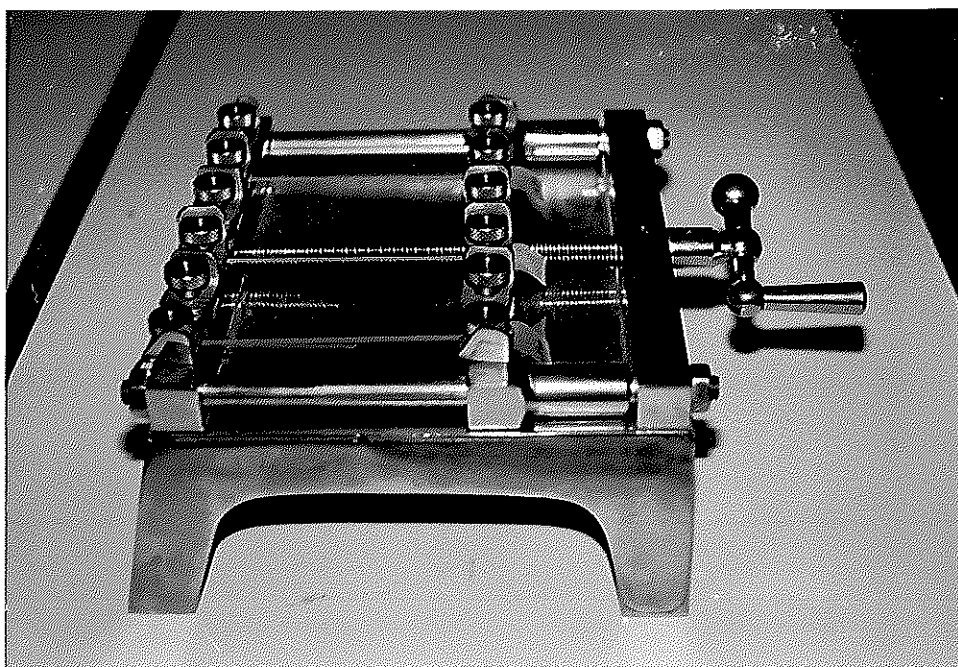
ภาพประกอบ 20 แบบพิมพ์มือสำหรับถ่ายมือบางทางการแพทย์



ภาพประกอบ 21 เครื่องวัดความหนืด รุ่น DV-II



ภาพประกอบ 22 เครื่องวัดความเสถียรของน้ำยาง



ภาพประกอบ 23 เครื่องวัดการคงทัวของยางหลังจากถูกยืด

## ประวัติผู้เขียน

ชื่อ นางสาวนรีดาเปรม จรรยา  
วัน เดือน ปี เกิด 31 ธันวาคม 2506

วุฒิการศึกษา  
วุฒิ ชื่อสถานบัน ปีที่สำเร็จการศึกษา<sup>\*</sup>  
วิทยาศาสตร์บัณฑิต มหาวิทยาลัยรามคำแหง พ.ศ. 2528

ทุนการศึกษา (ที่ได้รับระหว่างการศึกษา)  
ทุนผู้ช่วยสอน ประจำปีการศึกษา 2535

ตำแหน่งและสถานที่ทำงาน

ตำแหน่งนักวิทยาศาสตร์ 5 สังกัดคณียวิจัยบางสังขลา  
กรมวิชาการเกษตร กระทรวงเกษตรและสหกรณ์